



รายงานฉบับสมบูรณ์

โครงการพัฒนาระบบ SBR แบบสำเร็จรูป[®]
เพื่อการบำบัดน้ำเสียจากอุตสาหกรรมอาหาร

โดย รศ.ดร.นพดล เจียมสวัสดิ์ และ คณะ

พฤษภาคม 2552

ສະລຸງາເລຂທີ RDG4530018

รายงานວິຈัยຈົບສນູຮັບ

ໂຄຮກກາຣັບມາຮຽນ
ໂຄຮກກາຣັບມາຮຽນ
ໂຄຮກກາຣັບມາຮຽນ

ຄະພະຜູ້ວິຈัย

1. ຮສ.ດຣ.ນພດລ ເຈີຍມສວສດີ
2. ນາຍຄູຣິກັທຣ ເລີສເພື່ອມເມຊາ
3. ນາງນຣິຍໍາ ກວິນນທວງ
4. ນາງສາວກນກອຣ ທັສໂຣກ

ມາວິທຍາລ້ຽນເທກໂນໂລຢີພະຈອນແກລ້າ ຂນບູຮີ

ຫຼຸດໂຄຮກກາຣັບມາຮຽນເທກໂນໂລຢີສິ່ງແວດລ້ອມ

ສນັບສນູນໂດຍສໍານັກງານກອງຖຸນສນັບສນູນກາຣັບມາຮຽນ (ສກວ.)

(ຄວາມເຫັນໃນຮາຍງານນີ້ແມ່ນຂອງຜູ້ວິຈัย ສກວ. ໄນຈຳເປັນຕົ້ນເຫັນດ້ວຍເສມອໄປ)

บทสรุปผู้บริหาร
การพัฒนาระบบ SBR แบบสำเร็จรูปเพื่อการบำบัดน้ำเสียจากอุตสาหกรรมอาหาร

นพดล เจียมสวัสดิ์
 ภูริภัทร์ เลิศเพ็ญเมฆา
 นริษฐา กวีนันทวงศ์
 กนกอร หัสโร์ค
 มหาวิทยาลัยเทคโนโลยีพระจอมเกล้า ชลบุรี

คณะผู้วิจัย ได้เลือกการพัฒนาระบบ SBR ที่มีความสมบูรณ์แบบในตัว (Packaged system) เพื่อเป็นระบบบำบัดน้ำเสีย สำหรับโรงงานอุตสาหกรรมอาหาร และอุตสาหกรรมที่มีลักษณะน้ำเสียที่คล้ายคลึงกัน เพื่อจะได้สร้างเทคโนโลยีที่มีประสิทธิภาพ เพื่อถ่ายทอดให้อุตสาหกรรม การดำเนินการของงานวิจัยและพัฒนาเป็นแบบกึ่งประสบการณ์ (Semi-empirical approach) โดยเลือกอัตราการไหล และ ค่า BOD input ที่ต้องการแล้วกำหนดค่าพารามิเตอร์ในการออกแบบอันได้แก่ ค่า F/M , MLVSS และกำหนดระยะเวลาของช่วงการทำงานต่างๆ (Sequence) ของ SBR ในช่วงที่เป็นค่าโดยทั่วไป (Typical) ซึ่งปฏิบัติกันอยู่ทั่วไปในอุตสาหกรรม

ระบบที่ออกแบบและสร้าง จัดเป็นระดับต้นแบบ (Pilot Scale) ติดตั้งโดยได้รับความร่วมมือจาก โรงงานผลิตอาหารทะเลชั้นนำ เช่น ของบริษัทศรีสุทธิกุลจำกัด (S.K. Foods Co.,Ltd.) ซึ่งมีขนาดใหญ่ 1 กระตุ่มแบบ สมุทรสาคร นำเสนอที่เข้าระบบบำบัดเป็นลำดับที่สองจากการผลิตปลาสอดแล่ชั่วทันที สำหรับกระบวนการผลิตปลาสอดแล่ชั่วทันที สำหรับกระบวนการผลิตปลาสอดแล่ชั่วทันที

กำหนดให้ระบบรับอัตราการไหลของน้ำเสียได้ $5 \text{ m}^3/\text{วัน}$

โดยมีค่า $\text{BOD}_{\text{input}}$ (เฉลี่ย) $1,000 \text{ mg./ลิตร}$

และสามารถบำบัดน้ำเสียให้ได้คุณภาพน้ำที่ผ่านการบำบัดแล้วตามมาตรฐานน้ำทิ้งกรรมโรงงานอุตสาหกรรมโดยเอาค่า BOD (BOD_5) เป็นหลัก

$\text{BOD}_{\text{output}}$ จาก SBR 20 mg./ลิตร

คิดเป็นร้อยละของการกำจัดบีโอดี (BOD Removal) 98.0 %

ในการศึกษาและวิจัยพัฒนาได้ข้อสรุปอันเป็นประโยชน์ดังนี้

1. พารามิเตอร์ที่เลือกในการออกแบบ

1.1 พารามิเตอร์ทางชีวภาพ (Biological Parameters)

$F/M = 0.2$

$MLVSS = 4,000 \text{ mg./ลิตร}$

1.2 พารามิเตอร์ของการดำเนินการระบบอสูร (SBR Operation Parameters)

$\text{Cycle} = 2 \text{ cycle/วัน}$

โดยมีระยะ (Phase) ต่างๆดังนี้

(1) ให้ช่วงเติมน้ำเสีย (Fill) พร้อมเติมอากาศ เป็น 1 ชม.

(2) ให้ช่วงเติมอากาศ (Aeration) เป็น	9.5	ชม.
(3) ให้ช่วงหยุดเติมอากาศเพื่อตกรตะกอน (Settling) เป็น	1.0	ชม.
(4) ให้ช่วงปลดอยน้ำเสียออก (Decanting) เป็น	0.5	ชม.
รวมจำนวน ชม. ต่อ 1 cycle เป็น	12	ชม.
ระยะเวลาของการเติมอากาศต่อ 1 วัน เป็น	21	ชม.

1.3 การวิจัยได้ศึกษาผลกระบวนการของตัวแปรต่อการทำงานของระบบ

ดังต่อไปนี้ คือ

- (1) F/M ratio ในช่วง 0.13 – 0.36 กิตเป็น 65 % – 180 % ของค่าที่ออกแบบไว้
- (2) BOD loading ในช่วง 2.5 – 5.77 kg/day กิตเป็น 50 % – 115 % ของค่าที่ออกแบบไว้
- (3) อัตราส่วนเวลา (hr./hr.) Anoxic Fill/ Aeration: 0/10.5, 0.5/10, 1/9.5, 1.5/9
- (4) DO โดยการปรับอัตราการ ไหลดของอากาศที่แตกต่างกัน (m^3/min): 0.38, 0.43, 0.48, and 0.57

จากการทดลอง สามารถสรุปได้ว่า ระบบ SBR ที่ได้ทำการออกแบบสร้างและศึกษา มีความยืดหยุ่น สูง มีความสามารถเปลี่ยนแปลงทั้ง F/M , BOD loading และ อัตราส่วนเวลา Anoxic Fill/ Aeration ได้ดี โดยยังสามารถคงประสิทธิภาพการกำจัด BOD ได้ตามที่ออกแบบ (BOD removal 98%) สามารถ กำจัดสารประกอบในโตรเจน(ในรูป TKN) สูงถึง 99% อันแสดงให้เห็นจุดเด่นของระบบ SBR โดยจะต้องให้ อากาศพอเพียงให้เกิด “Saturated Oxygen Plateau” ในช่วงการปลายนองการบำบัดแบบใช้อากาศเท่านั้น สำหรับการทดลองนี้พบว่าอัตราไห้อากาศ $0.48 - 0.57 m^3/min$ นั้นเหมาะสมสำหรับระบบที่ทำการทดลอง โดย มีค่าต่ำกว่าที่ได้จากการออกแบบ

การศึกษาระยะเวลาช่วงการทำงาน (Sequence) ของระบบ SBR รายงานปรากฏการณ์ที่เกิด “Nitrate Apex” (ในกราฟ pH-Time) ซึ่งเป็นจุดที่เกิด Denitrification สมบูรณ์ และ ได้แสดงให้เห็นการเกิด “Ammonia Valley” อันเป็นจุดที่เกิด Nitrification สมบูรณ์ แล้วตามด้วย Saturated Oxygen Plateau

“Nitrate Apex” และ “Ammonia Valley” นี้จะเป็นประ予以ชน้อยย่างสูงในการควบคุมสัดส่วนช่วงเวลา ของAnoxic และช่วงเวลาเติมอากาศ เพื่อการกำจัด TKN อย่างมีประสิทธิภาพ และการจัดแผนการดำเนินงานการ ควบคุมเวลาการเติมอากาศ กระจายการใช้พลังงานไฟฟ้า เพื่อเลี่ยง Demand Charge เป็นการควบคุมค่าใช้จ่าย ค้านพลังงานไฟฟ้า อันเป็นหนึ่งในจุดเด่นของระบบօสบีอาร์

2. การออกแบบระบบและการขยายขนาด

การออกแบบระบบและการขยายขนาดเป็นแบบกึ่งเอนิเมติก(Empirical) โดยใช้ข้อมูลเอนิเมติก ไม่ได้แก่ค่า F/M , MLVSS , BOD loading , อัตราส่วนเวลา (hr./hr.) Anoxic Fill/ Aeration ที่ได้จากการทดลองนี้ เป็นแนวทาง หรือ “Guide line” ร่วมกับสมการทางしながらศาสตร์ของจุลินทรีย์ (Cell Kinetic Model) สำหรับ การออกแบบและการขยายขนาด

ด้วยเหตุผลดังกล่าวการขยายขนาดจึงไม่ผูกติดกับค่าตอบแทนวิธีกัลเท่านั้น ดังนั้นโดยหลักการของการขยายขนาดจึงไม่ควรมีขีดจำกัดด้านสัดส่วนของการขยายขนาด(Scale- up Ratio)

พร้อมนี้ได้สาธิตการคำนวณและการประมาณราคาของระบบแอลอสบีอาร์ขนาด Scale- up Ratio 20 (10-200 เป็นตัวเลขที่นิยมใช้กันในทางปฏิบัติ ที่เรียกว่า “Rules Of Thumb” [13]) หรือสำหรับน้ำเสีย 100 ลบ.ม. ต่อวัน ซึ่งสามารถใช้แนวทางเดียวกันเพื่อการขยายขนาดและประมาณราคาของระบบแอลอสบีอาร์ที่ใหญ่กว่านี้ได้โดยใช้ข้อมูลตามการทดลองนี้ด้วยเหตุผลดังที่กล่าวแล้ว

สำหรับขีดจำกัดของขนาดนั้น จะอยู่ที่

- (1) การออกแบบระบบให้มีการกวนผสมที่ดี ซึ่งไม่ได้ศึกษาโดยละเอียดในงานวิจัยนี้
- (2) ปริมาตรของถังรองรับน้ำเสีย (Equalization Tank) รองรับปีอนเท้าสู่ระบบแอลอสบีอาร์

ในทางปฏิบัติที่ใช้กันในเชิงพาณิชย์นั้น มักใช้ระบบแอลอสบีอาร์กับระบบบำบัดน้ำเสียขนาดกลางและขนาดเล็ก ที่มีขนาดใหญ่ที่ใช้กันอยู่ประมาณ 1,000 ลบ.ม. ต่อวัน ต่อ 1 SBR Tank ดังนั้นหากน้ำเสียมีปริมาณมากกว่านี้มักนิยมออกแบบเป็นชุดขนาดกันไป (Parallel Modules) อย่างไรก็ดี มีรายงานจากเอกสารข้างต้นถึงการใช้งานสำหรับระบบแอลอสบีอาร์เพื่อบำบัดน้ำเสียชุมชนที่มีขนาดใหญ่ สำหรับอัตราการไหล 320,000 ลบ.ม./วัน (Peak load 960,000 m³/day) โดยใช้อสบีอาร์จำนวน 24 ชุดขนาดกัน

3. การเปรียบเทียบกับระบบตะกอนเร่งสำหรับน้ำเสียที่มีอัตราการไหลเท่ากัน

มีข้อสรุปด้านราคา อันเนื่องมาจากการใช้ถังตกรตะกอนเพิ่ม ทำให้ต้นทุนของระบบตะกอนเร่งจะมีค่าก่อสร้างเพิ่มขึ้นประมาณ 25% โดยที่มีการใช้พลังงานไม่ต่างกันมากเพราะพลังงานหลักคือพลังงานในการเติมอากาศเพื่อกำจัด BOD แต่ระบบแอลอสบีอาร์จะมีข้อได้เปรียบที่สามารถปรับช่วงการเติมอากาศ ให้สมดุลกับการใช้พลังงานในกระบวนการผลิตอื่นในช่วงเวลาต่างๆ เพื่อหลีกเลี่ยงการเกิด “Peak Load” ของพลังงานไฟฟ้า และทำให้ลดค่าไฟฟ้าอันเกิดจาก “Demand Charge” ดังที่กล่าวมาแล้วได้

บทคัดย่อ

รหัสโครงการ : RDG4530018

ชื่อโครงการ : การพัฒนาระบบ SBR แบบสำเร็จรูปเพื่อการบำบัดน้ำเสียจากอุตสาหกรรมอาหาร

ชื่อนักวิจัย : นพดล เจียมสวัสดิ์, ภูริภัทร์ เลิศเพ็ญเมฆา, นริษญา กวีนันทวงศ์,
กนกอร หัสดิ์ มหาวิทยาลัยเทคโนโลยีพระจอมเกล้าธนบุรี

Email address: Noppadon.che@kmutt.ac.th

ระยะเวลาโครงการ : 1 เมษายน 2545 ถึง 31 มีนาคม 2546
ขยายเวลาถึง 31 มกราคม 2547

การศึกษาและวิจัยพัฒนาระบบบำบัดน้ำเสียแบบເອສບີ້ອັກ (SBR: Sequence Batch Reactor) แบบสำเร็จรูปเพื่อการบำบัดน้ำเสียจากอุตสาหกรรมอาหาร ได้ดำเนินการโดยใช้วิธีการกึ่งประสมการณ์ (Semi-empirical approach) ใน การเลือกและกำหนดพารามิเตอร์ของ การออกแบบ ได้แก่ อัตราการไหล BOD input, F/M, MLVSS และ ระยะเวลาช่วงการทำงาน (Sequence) ของระบบ SBR จากค่าที่ใช้กันอยู่โดยทั่วไป (Typical) และควบคุมการทำงานด้วยระบบ PLC (Programmable Logical Controller) สามารถสรุปได้ว่า ระบบที่ออกแบบและสร้างสำหรับอัตราการไหลของน้ำเสีย 5 ลบ.ม. ต่อวัน ที่ค่า BOD₅ 1,000 มก.ลิตร มี วงจรการดำเนินการเป็น 2 Cycles มีช่วงการเติมอากาศ 10.5 ชม./Cycle มีความยืดหยุ่นสูง มีความเสถียร สามารถรับการเปลี่ยนแปลงทั้ง F/M , BOD loading และ อัตราส่วนเวลา Anoxic Fill/ Aeration ได้ดี โดยยัง สามารถคงประสิทธิภาพการกำจัด BOD ได้ตามที่ออกแบบ (BOD removal 98%) สามารถกำจัดสารประกอบในโครงเจน(ในรูป TKN) สูงถึง 99% อันแสดงให้เห็นจุดเด่นของระบบ SBR โดยจะต้องให้อากาศพองเพียงให้เกิด “Saturated Oxygen Plateau” ในช่วงการปลายของการบำบัดแบบใช้อากาศเท่านั้น

การศึกษาระยะเวลาช่วงการทำงาน (Sequence) ของระบบ SBR รายงานปรากฏการณ์ที่เกิด “Nitrate Apex” (ในกราฟ pH-Time) ซึ่งเป็นจุดที่เกิด Denitrification สมบูรณ์ และได้แสดงให้เห็นการเกิด “Ammonia Valley” อันเป็นจุดที่เกิด Nitrification สมบูรณ์ แล้วตามด้วย Saturated Oxygen Plateau

“Nitrate Apex” และ “Ammonia Valley” นี้จะเป็นประโยชน์อย่างสูงในการควบคุมสัดส่วนช่วงเวลา ของAnoxic และช่วงเวลาเติมอากาศ เพื่อการกำจัด TKN อย่างมีประสิทธิภาพ และการจัดแผนการดำเนินงาน การควบคุมเวลาการเติมอากาศ กระจายการใช้พลังงานไฟฟ้า เพื่อเลี้ยง Demand Charge เป็นการควบคุม ค่าใช้จ่ายด้านพลังงานไฟฟ้า อันเป็นหนึ่งในจุดเด่นของระบบເອສບີ້ອັກ

คำสำคัญ : ระบบເອສບີ້ອັກ, การบำบัดน้ำเสีย, Nitrification, De-nitrification,

Development of a Packaged SBR System for Waste Water Treatment from Food Industries

Noppadon Cheamsawat

Puripat Lertpenmeta

Narisada Kaweenantawong

Kanokorn Hasaro

King Mongkut's University of Technology Thonburi

Abstract

The development of a completed package SBR system (SBR: Sequence Batch Reactor) for food industries was performed by a semi-empirical approach. The typical design parameters were defined and chosen; namely, influent flow rate, BOD input, F/M, MLVSS and the SBR operation sequences. A PLC (Programmable Logical Controller) was used for the sequencing control. The system was designed for the effluent flow rate of $5\text{ m}^3/\text{day}$ at BOD₅ of 1,000 mg/L, comprising 2 Cycles and an aeration time of 10.5 hr/cycle. It was concluded that the system had high operation stability. It was capable of receiving fluctuations in F/M, BOD loading and varied time-ratio of Anoxic Fill/ Aeration., while maintaining the efficiency of BOD reduction, which was designed at 98% removal. The system was also capable of reduction of the Nitrogen compound (as TKN) as high as 99% removal. It only needed that the sufficient amount of Oxygen was providing to guarantee "Saturated Oxygen Plateau" at the end of the aeration process.

The study on the operation sequence of the system showed the phenomena of the "Nitrate Apex" (in the pH-Time graph), which was the completion point of Denitrification and also the "Ammonia Valley" , which was the completion point of Nitrification, followed by the "Saturated Oxygen Plateau".

The "Nitrate Apex" and the "Ammonia Valley" should be useful for effective controlling of the Anoxic/Aeration phases in order to achieve the efficient reduction of the TKN. It should also be useful for balancing of the electrical power consumption load, to avoid the Demand Charge and help controlling the operation energy expense. This should be one of the final strong points of the SBR.

Key words: SBR System, Waste water treatment, Nitrification, De- nitrification

กิตติกรรมประกาศ

คณะกรรมการวิจัย ขอขอบคุณสำนักงานกองทุนสนับสนุนการวิจัย (สกว.) เป็นอย่างสูง สำหรับทุนสนับสนุนงานวิจัยในโครงการนี้ และขอขอบคุณผู้บริหารและพนักงานของบริษัท ศรีสุทธิคุล จำกัด ในการอำนวยความสะดวกในการดำเนินการของโครงการในระบบต้นแบบของโครงการนี้ ซึ่งติดตั้งอยู่ในบริเวณโรงงานของบริษัท

ตลอดจนการให้ความร่วมมืออนุเคราะห์ข้อมูลต่างๆ ที่จำเป็นสำหรับงานวิจัย

ขอบคุณคณะกรรมการตรวจผลงานวิจัย ที่ได้ให้คำแนะนำปรึกษาอันเป็นประโยชน์ในการปรับปรุงรายงานฉบับสมบูรณ์เพื่อให้เป็นประโยชน์ต่อวงการอุตสาหกรรมต่อไป

และขอขอบคุณผู้ร่วมโครงการทุกท่านที่ช่วยในการดำเนินการให้โครงการนี้สำเร็จลุล่วงได้ด้วยดี

คณะดำเนินงานโครงการ

หัวหน้าโครงการ

รองศาสตราจารย์ ดร. นพดล เจียมสวัสดิ์
ภาควิชาวิศวกรรมเคมี มหาวิทยาลัยเทคโนโลยีพระจอมเกล้าธนบุรี

นักวิจัย

นางสาวนริษฎา กวีนันทวงศ์
นายภูริภัทร์ เลิศเพ็ญเมฆา¹
นางสาวกนกอร หัสໂරค์
สำนักงานเทคโนโลยี SMEs มหาวิทยาลัยเทคโนโลยีพระจอมเกล้าธนบุรี²

สารบัญ

หน้า

บทสรุปผู้บริหาร	๑
บทคัดย่อ	๔
Abstract	๕
กิตติกรรมประกาศ	๖
คณะกรรมการโครงการ	๗
บทที่ ๑ บทนำ	๑
บทที่ ๒ ทฤษฎี	๑๑
บทที่ ๓ การออกแบบระบบเอกสาร	๑๘
บทที่ ๔ อุปกรณ์ของระบบเอกสาร	๓๓
บทที่ ๕ การทดลอง	๔๐
บทที่ ๖ การวิเคราะห์ผลการทดลอง	๔๑
บทที่ ๗ บทสรุป	๖๐
เอกสารอ้างอิง	๖๓
ภาคผนวก	๖๔
ภาคผนวก ก : ข้อมูลการทดลอง	๖๕
ภาคผนวก ข : คู่มือการออกแบบระบบเอกสาร	๘๑
ภาคผนวก ค : ตัวอย่างในการขยายขนาด (Scale – up) ระบบเอกสาร	๘๔
ภาคผนวก ง : ตารางตรวจสอบรายการ (Check Lists)	๙๐

สารบัญตาราง

	หน้า
ตารางที่ 1.1 ข้อมูลเบื้องต้นค่าพารามิเตอร์ของน้ำเสียโรงงานอาหารทะเล เช่น แข็งของบริษัทศรีสุทธิกุลจำกัด	9
ตารางที่ 5.1 รายละเอียดของแผนการทดลอง	40
ตารางที่ 6.1 การเริ่มเดินระบบ SBR ก่อนเข้าสภาวะคงที่ (Start up experiments)	42
ตารางที่ 6.2 การเปรียบเทียบค่าพารามิเตอร์ในการออกแบบ	44
ตารางที่ 6.3 ผลกระทบของ F/M ratio ต่อการทำงานของระบบ SBR	45
ตารางที่ 6.4 การศึกษาผลกระทบของ BOD loading ต่อการทำงานของระบบ SBR	47
ตารางที่ 6.5 ผลกระทบของ Sequence ของช่วงเวลาในระบบ SBR ต่อการกำจัดสารประกอบในໂຕຣເຈນ ໂດຍຮະບນ SBR	53
ตารางที่ 6.6 ผลกระทบของ DO ต่อการทำงานของระบบ SBR	56
ตารางที่ 6.7 ปริมาณคลอรีนที่เหลืออยู่ภายหลังการเติม Sodium Hypo Chlorite	59
ตารางที่ 6.8 การศึกษาประสิทธิภาพของคลอรีนในการทำลายจุลินทรีย์ในน้ำทึบที่บำบัดด้วยระบบ SBR แล้ว	59
ตารางในภาคผนวก	
ตารางที่ ก.1 ข้อมูลการวิเคราะห์เทียบค่า (Calibration)	65
ตารางที่ ก.2.1 การทดลองที่ 2.1	66
ตารางที่ ก.2.2 การทดลองที่ 2.2	66
ตารางที่ ก.2.3 การทดลองที่ 2.3	67
ตารางที่ ก.2.4 การทดลองที่ 2.4	67
ตารางที่ ก.2.5 การทดลองที่ 2.5	68
ตารางที่ ก.2.6 การทดลองที่ 2.6	68
ตารางที่ ก.2.7 การทดลองที่ 2.7	69
ตารางที่ ก.2.8 การทดลองที่ 2.8	69
ตารางที่ ก.2.9 การทดลองที่ 2.9	70
ตารางที่ ก.2.10 การทดลองที่ 2.10	70
ตารางที่ ก.3.3 การทดลองที่ 3.3	72
ตารางที่ ก.3.4 การทดลองที่ 3.4	72
ตารางที่ ก.4.1 การทดลองที่ 4.1	73
ตารางที่ ก.4.2 การทดลองที่ 4.2	73

สารบัญตาราง (ต่อ)

	หน้า
ตารางที่ ก. 4.3 การทดลองที่ 4.3	74
ตารางที่ ก. 4.4 การทดลองที่ 4.4	74
ตารางที่ ก. 4.5 การทดลองที่ 4.5	75
ตารางที่ ก. 4.6 การทดลองที่ 4.6	75
ตารางที่ ก. 5.1 การทดลองที่ 5.1	76
ตารางที่ ก. 5.2 การทดลองที่ 5.2	76
ตารางที่ ก. 5.3 การทดลองที่ 5.3	77
ตารางที่ ก. 5.4 การทดลองที่ 5.4	77
ตารางที่ ก. 5.5 การทดลองที่ 5.5	78
ตารางที่ ก. 5.6 การทดลองที่ 5.6	78
ตารางที่ ก. 6.1 การทดลองผลของคลอริน (สารละลายนโซเดียมไฮโปคลอไรท์ 5%) ในน้ำทึ้งที่ผ่าน การบำบัดจากระบบເອສນີອາຣ໌	79
ตารางที่ ก. 6.2 ปริมาณคลอรินที่คงค้างในน้ำทึ้งที่ผ่านการบำบัดจากระบบເອສນີອາຣ໌	79
ตารางที่ ก. 7.1 ตารางการถ่ายตัวกอนจุลินทรีย์ออก	80
ตารางที่ ก. 1 ผลของการขยายขนาดไปสู่ SBR สำหรับบำบัดน้ำเสียขนาด 100 ลบม./วัน	87
ตารางที่ ก. 2 การเปรียบเทียบดัชนวนในการก่อสร้างและดำเนินการ ระหว่างระบบ SBR กับระบบ Activated sludge	89
ตารางที่ ก. 1 ตารางตรวจสอบรายการ(Chec Lists) สำหรับการออกแบบและการประเมินระบบເອສນີອາຣ໌	90

สารบัญรูป

	หน้า
รูปที่ 1.1 SBR Operation sequences diagram	5
รูปที่ 1.2 วัฏจักรของการดำเนินการระบบแอลซีบีอาร์ โดยทั่วไป (Typical SBR Operation Cycle)	8
รูปที่ 1.3 แผนผังกระบวนการผลิตปลาแล่ส์ดเพื่อการส่งออกของโรงงานอาหารทะเลแห้ง เชียง บuriyathkrisuthikul jumjat	10
รูปที่ 3.1 Decanter รูปสามเหลี่ยม	21
รูปที่ 3.2 รูปอย่างง่ายแสดงระยะเวลาการจมตัวเมื่อกล่องน้ำหนักตัวบนในทุ่นลอย	22
รูปที่ 3.3 Decanter พร้อมทุ่นลอย	24
รูปที่ 3.4 แผนผังกระบวนการของระบบแอลซีบีอาร์ ในโครงการ	26
รูปที่ 3.5 PLC Ladder diagram	28
รูปที่ 3.6 รูปแสดงวงจรไฟฟ้าของระบบ PLC	29
รูปที่ 3.7 รูปแสดงวงจรไฟฟ้ากำลังของระบบ (Electrical power circuit diagram)	30
รูปที่ 3.8 รูปถ่ายແຜງหน้าตู้ควบคุมระบบไฟฟ้าและอุปกรณ์ของระบบ SBR	32
รูปที่ 3.9 ผังแสดงແຜງหน้าตู้ควบคุมระบบไฟฟ้าและอุปกรณ์ของระบบ SBR	32
รูปที่ 4.1 รูปถ่ายระบบ SBR ติดตั้ง ณ บริเวณของโรงงานบริษัทครีสุทธิกุล จำกัด	37
รูปที่ 4.2 รูปถ่ายแสดงการติดตั้ง Air Diffusers ภายในถัง SBR (T3)	37
รูปที่ 4.3 รูปถ่ายตู้ควบคุมไฟฟ้าและอุปกรณ์ของระบบ SBR	38
รูปที่ 4.4 รูปถ่ายແຜງวงจรควบคุม ภายในตู้ควบคุมไฟฟ้าและอุปกรณ์ของระบบ SBR	39
รูปที่ 4.5 รูปถ่ายการต่อวงจรด้านหลังสวิตช์ควบคุม ของແຜງหน้าของตู้ควบคุม	39
รูปที่ 6.1 กราฟแสดงความสัมพันธ์ระหว่างค่า MLVSS กับ SV ₃₀	43
รูปที่ 6.2 การเริ่มดำเนินการระบบ SBR	43
รูปที่ 6.3 ผลของค่า F/M ratio ต่อการดำเนินการของระบบ SBR	46
รูปที่ 6.4 ผลกระทบของค่า BOD Loading ต่อประสิทธิภาพการทำงานของระบบ SBR	48
รูปที่ 6.5a ค่า DO ในถังปฏิกิริย์ SBR ตลอดระยะเวลา 1 Cycle ที่ BOD Loading ต่างๆกัน	50
รูปที่ 6.5b ค่า pH ในถังปฏิกิริย์ SBR ตลอดระยะเวลา 1 Cycle ที่ BOD Loading ต่างๆกัน	50
รูปที่ 6.6 ผลกระทบของ Sequence ของวงจรเวลาในระบบ SBR ต่อการกำจัดสารประกอบในโตรเจน ในระบบ SBR	53
รูปที่ 6.7a DO Profile ตลอดช่วงการดำเนินการ 1 Cycle ของ SBR โดยมีอัตราส่วนเวลา anoxic fill/aeration Process เป็นพารามิเตอร์	55
รูปที่ 6.7b pH Profile ตลอดช่วงการดำเนินการ 1 Cycle ของ SBR โดยมีอัตราส่วนเวลา anoxic Fill/aeration process เป็นพารามิเตอร์	55
รูปที่ 6.8 ผลกระทบของ DO ต่อการทำงานของระบบ SBR	57

สารบัญรูป (ต่อ)

	หน้า
รูปที่ 6.9a ค่า DO ในถังปฏิกรณ์ SBR ตลอดระยะเวลา 1 Cycle ที่อัตราการเติมอากาศต่างๆกัน	58
รูปที่ 6.9b ค่า pH ในถังปฏิกรณ์ SBR ตลอดระยะเวลา 1 Cycle ที่อัตราการเติมอากาศต่างๆกัน	58

บทที่ 1

บทนำ

1.1 ความสำคัญและที่มาของโครงการวิจัย

ในสภาวะปัจจุบัน การขาดแคลนน้ำใช้ในการอุปโภคบริโภค จำนวนประชากรที่เพิ่มสูงขึ้น ปัญหาการปลดอย่างน้ำแร่เสียในแม่น้ำลำคลอง มาตรฐานการจัดการด้านลิ่งแวดล้อม กกฎหมายที่เข้มงวดขึ้น เป็นลิ่งที่ทำให้โรงงานอุตสาหกรรมต่างๆ ตระหนักถึงการใช้น้ำอย่างมีคุณค่าและรักษาน้ำสิ่งแวดล้อม ประกอบกับการสร้างระบบบำบัดน้ำเสีย ในปัจจุบันคนไทยยังต้องพึ่งพา Know How เทคโนโลยีและวัสดุอุปกรณ์จากต่างประเทศเป็นหลัก มหาวิทยาลัยเทคโนโลยีพระจอมเกล้าธนบุรี จึงเห็นความสำคัญที่จะทำการวิจัยพัฒนาระบบบำบัดน้ำเสียที่มีประสิทธิภาพโดยฝีมือคนไทยและสามารถใช้งานได้จริง

ระบบบำบัดน้ำเสียในปัจจุบันมี 2 กระบวนการใหญ่ๆ คือ ระบบบำบัดน้ำเสียแบบชีวภาพ และระบบบำบัดน้ำเสียด้านกระบวนการทางเคมี การวิจัยนี้เป็นการวิจัยเพื่อออกแบบระบบบำบัดน้ำเสียที่สามารถบำบัดน้ำเสียโดยกระบวนการทางชีวภาพ ที่มีลักษณะสมบูรณ์ในตัว (Packaged) โดยการทำงานของระบบเป็นอัตโนมัติ (Automatic) และง่ายต่อการปรับแต่ง (Adjustable) ให้เหมาะสมกับคุณสมบัติของน้ำเสียจากอุตสาหกรรมอาหารซึ่งจะเป็นอุตสาหกรรมหนึ่งที่เป็นหลักในการทํารายได้ให้ประเทศไทยในอนาคต การเลือกใช้วัสดุอุปกรณ์ต่างๆ ในระบบ จะออกแบบและเลือกใช้วัสดุอุปกรณ์ต่างๆ ให้ได้ระบบที่มีประสิทธิภาพสูง และง่ายต่อการควบคุมการทำงานและซ่อมบำรุงรักษา

ผู้วิจัยเลือกพัฒนาระบบ SBR (Sequencing Batch Reactor) เนื่องจากระบบ SBR เป็นระบบที่มีจุดเด่นหลายประการในการบำบัดน้ำเสียที่สามารถย่อยสลายได้โดยวิธีทางชีวภาพ ตัวอย่างของจุดเด่นดังกล่าว เช่น

- ประหยัดพื้นที่
- การควบคุมการทำงานง่ายสามารถใช้การควบคุมโดยระบบ PLC (programmable logical control) ได้อย่างมีประสิทธิภาพ
- สามารถแยกตะกอนชีวภาพออกจากน้ำที่บำบัดแล้วได้อย่างสมบูรณ์แบบ
- ระบบมีความเสถียร (stability) สามารถปรับตัวเข้ากับการเปลี่ยนแปลงของอัตราการไหลและความเข้มข้นและองค์ประกอบของน้ำเสียได้อย่างดี
- และอาจมีความสามารถก่อสร้างถูกก่อสร้างระบบตะกอนเร่งได้ในช่วงของค่าการไหล และการบรรจุน้ำเสีย (BOD loading) ที่เหมาะสม

เทคโนโลยีระบบ SBR แบบสำเร็จรูปที่ได้จะสามารถนำไปใช้กับอุตสาหกรรมอาหารและอุตสาหกรรมอื่นที่เกี่ยวข้องและมีลักษณะของน้ำเสียคล้ายกันได้ จะสามารถสร้างระบบ SBR ในโรงงานประกอบ และเคลื่อนย้ายไปติดตั้งในสถานที่ได้อย่างรวดเร็ว ในกรณีที่เป็นโรงงานขนาดเล็ก ผู้วิจัยและคณะมีประสบการณ์ที่ดีในระดับงานวิจัย [1],[2] และในการออกแบบและควบคุมการดำเนินการของระบบ SBR ระดับอุตสาหกรรม [3],[4] จึงมีความมั่นใจว่างานวิจัยนี้จะมีความสำเร็จสูงและผลที่ได้รับจะสามารถนำไปใช้ในเชิงพาณิชย์ได้จริงต่อไป

1.2 วัตถุประสงค์งานวิจัย

- 1.2.1 เพื่อสร้าง Know how ของกระบวนการบำบัดน้ำเสียแบบ SBR ที่สมบูรณ์ในตัว
- 1.2.2 เพื่อพัฒนาระบบควบคุมการทำงานโดยอัตโนมัติของระบบ SBR ที่สมบูรณ์ ระบบควบคุมดังกล่าวเป็นหัวใจของการที่จะทำให้ระบบ SBR มีประสิทธิภาพสูงสุด และยืดหยุ่น (Flexible) สำหรับรับน้ำเสียที่มีคุณสมบัติต่างๆ ขึ้นได้อย่างดีเยี่ยม
- 1.2.3 เพื่อถ่ายทอดเทคโนโลยีระบบ SBR ให้กับอุตสาหกรรม

1.3 ขอบเขตของการศึกษาวิจัย

- 1.3.1 การออกแบบระบบบำบัดน้ำเสียโดยใช้กระบวนการบำบัดน้ำเสียช่วงภาพแบบ Sequencing Batch Reactor (SBR) ระบบที่ออกแบบขึ้นนี้สามารถปรับใช้งานได้ง่ายสำหรับอุตสาหกรรมประเภทอุตสาหกรรมอาหารรวมถึงอุตสาหกรรมเกย์ตร และอุตสาหกรรมที่เกี่ยวข้องด้วย
- 1.3.2 กระบวนการบำบัดน้ำเสียโดยระบบ SBR จะกำหนดให้การทำงานเป็นระบบอัตโนมัติ (Automatic) แบบ Sequencing Control โดยใช้ PLC (Programmable Logic Controller) ควบคุม
- 1.3.3 น้ำเสียตัวอย่างจะใช้น้ำเสียจากอุตสาหกรรมอาหาร ซึ่งกำหนดให้มีบีโอดีสูงสุดได้ถึง 1,000 มก./ลิตร (อัตราส่วน BOD/COD ประมาณ 1/2)
- 1.3.4 จะสร้างระบบบำบัดน้ำเสีย SBR ต้นแบบ สำหรับอัตราการป้อนไม่ต่ำกว่า 5 ลบ.ม./วัน ที่บีโอดีสูงสุดได้ถึง 1,000 มก./ลิตร
- 1.3.5 ประเมินต้นทุนทั้งอุปกรณ์ (Capital Cost) และต้นทุนการดำเนินงาน (Operating Cost)
- 1.3.6 สรุปผลในลักษณะรายงานที่สามารถถ่ายทอดเทคโนโลยีอุตสาหกรรมได้
- 1.3.7 จัดทำคู่มือการออกแบบระบบ SBR และคู่มือการควบคุมดูแลระบบ SBR โดยใช้ PLC เพื่อเผยแพร่กับอุตสาหกรรมเมืองชนบท โครงการ

1.4 การทบทวนเอกสารวิจัย (Literature Review)

ระบบเอสบีอาร์ (Sequencing Batch Reactor: SBR) หมายถึง ระบบบำบัดน้ำเสียแบบเติมอากาศซึ่งทำงานแบบกะ (Batch) ประกอบด้วย ถังปฏิกรณ์ (Reactor) ทำหน้าที่เป็นถังลึกลงจุลินทรีย์แบบให้อากาศและเป็นถังตะกอน (Clarifier) ไปในตัวด้วย โดยมีการให้อากาศแบบไม่ต่อเนื่อง หรือที่เรียกว่ามีการเติมอากาศเป็นแบบกะ

ระบบเอสบีอาร์นี้มีระบบการทำงานคล้ายกับระบบแอกติเวเต็ดสลัดจ์ (Activated Sludge) รุ่นแรกออกแบบโดย Ardern และ Lockett ในปีพ.ศ. 2457(ค.ศ.1914) ในขณะนั้นเรียกระบบดังกล่าวว่า “Fill and Draw” หลักการที่สำคัญคือการทำงานเป็นแบบกะ โดยปล่อยน้ำเสียเข้าในถังให้เต็มถังก่อน จากนั้นจึงเติมอากาศค่าบีโอดี ถึงจุดที่ยอมรับได้สำหรับการบำบัดน้ำ จากนั้นจึงหยุดการเติมอากาศและทิ้งให้จุลินทรีย์ตัดตะกอน (ในสภาวะนี้ระบบจะมีออกซิเจนน้อยกว่า pamph เติมอากาศปกติ เรียกว่าระยะ Anoxic) และจึงปล่อยน้ำที่ใสและบำบัด

แล้วทิ้ง และเริ่มต้นปล่อยน้ำเสียใหม่เข้าระบบอีกรั้งหนึ่ง แล้วเติมอากาศเป็นการเริ่มการดำเนินการซ้ำในรอบ หรือจะต่อไป ดังแสดงในรูปที่ 1.1

บทความบริทัศน์เกี่ยวกับระบบօสบีอาร์นำเสนอด้วย S. Mace และ J. Mata-Alirez [1] ได้ให้ภูมิหลังไว้ อย่างครอบคลุมเกี่ยวกับการพัฒนาเทคโนโลยีนี้และการนำไปใช้ในการบำบัดน้ำเสียทั้งจากครัวเรือนและใน อุตสาหกรรมประเภทต่างๆ

ในสมัยแรกของการใช้ระบบօสบีอาร์ดังกล่าวนั้น ลักษณะการใช้ถังเติมอากาศและถังตกตะกอนในถัง เดียวกันนั้นยังไม่ค่อยสะดวก เนื่องจากยังขาดระบบการควบคุมแบบซีเควนเชียล (Sequential Control) เช่น PLC (Programmable Logical Controller) ที่ง่ายต่อการใช้งาน เช่น ในปัจจุบัน ถังน้ำสำหรับน้ำเสียที่มีการไหลอย่าง ต่อเนื่องจึงยังนิยมใช้ระบบแอ็คติวेटเดสลัดจ์อยู่ แต่อย่างไรก็ได้ ในประเทศไทยร้อยละ 46% ของระบบแอ็คติวेटเดสลัดจ์ ไม่สามารถบำบัดน้ำเสียให้มีคุณภาพได้ตามมาตรฐานน้ำทิ้ง สาเหตุที่สำคัญของความล้มเหลวเกิด จากการออกแบบและการควบคุมการทำงานของถังตกตะกอน ซึ่งก็เป็นสาเหตุเดียวกับที่เกิดขึ้นในประเทศไทย

จากรหัสทั่วเมืองระบบ PLC มีราคาที่เหมาะสมและง่ายต่อการใช้งาน ระบบօสบีอาร์จึงกลับมา มีที่ใช้อีก ครั้งหนึ่ง โดยนอกจากจะสามารถบำบัดน้ำเสียในรูปการกำจัดค่าบีโอดีแล้ว ระบบนี้ยังให้ผลเสริม (Benefit) ใน การควบคุมและบำบัดสารประกอบในโทรศัพท์ผ่านกระบวนการ

ไนตริฟิเคชัน (Nitrification) เพื่อตรึงไนโตรเจน ในโทรศัพท์ ให้ช่วงที่ค่า DO สูงกว่า 1 mg/l และจะเกิดกระบวนการการดีไนตริฟิเคชัน (Denitrification) เพื่อกำจัดไนโตรเจนเมื่อค่า DO ต่ำกว่า 0.5 mg/l เป็นระบบบำบัดน้ำเสียทางชีวภาพที่มี วิธีที่แตกต่างไปจากระบบเติมอากาศแบบอื่นๆ ที่ใช้กันเนื่องจากระบบօสบีอาร์จะทำงานแบบเป็นกะ สำรวจการ ให้ อากาศแบบอื่นจะเป็นการทำงานแบบต่อเนื่อง ระบบօสบีอาร์นี้จะใช้ถังปฏิกรณ์เพียงถังเดียวทำหน้าที่เป็นทั้งถัง เติมอากาศและถังตกตะกอน การควบคุมจึงเป็นไปได้ง่าย ในกรณีที่น้ำเสียจากโรงงานเป็นแบบต่อเนื่องเรา สามารถใช้ระบบօสบีอาร์ที่ใช้ถังปฏิกรณ์หลายใบได้ โดยในเวลาใดเวลาหนึ่งถังแต่ละใบจะทำหน้าที่ไม่ตรงกัน เพื่อให้สามารถกำจัดน้ำเสียที่ไหลต่อเนื่องกันตลอดเวลาได้โดยไม่ขาดตอน

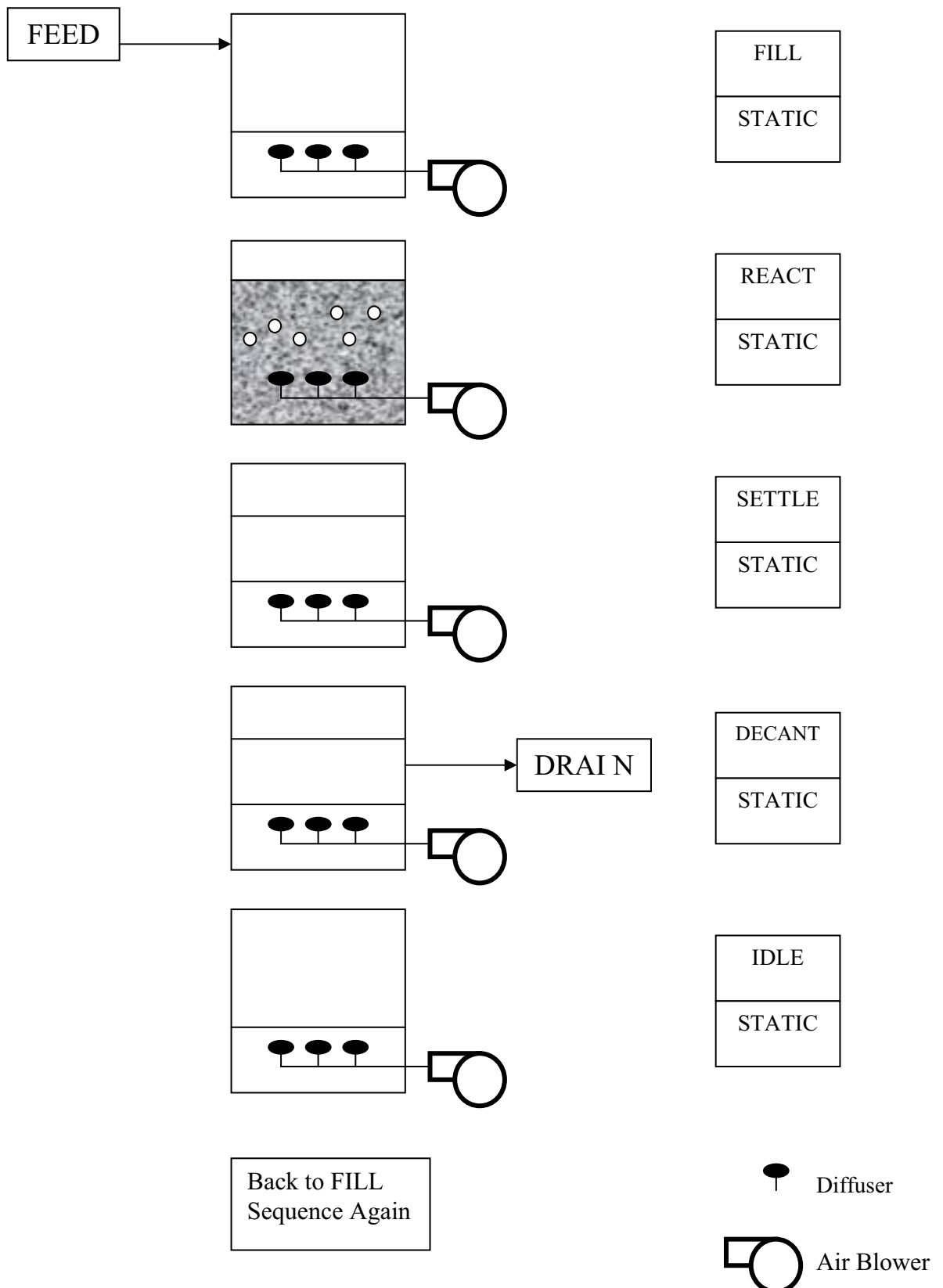
ในค้านแพรยูราสตร์น์ Nigel Slater [2] ได้กล่าวถึงจุดเด่นหลายประการของระบบօสบีอาร์ตาม แนวทางที่ให้ไว้โดยสังเขปแล้วในข้อ 1.1 โดยยกตัวอย่างของกรณีการใช้งานจริงในประเทศไทยทั้ง ใน ประเทศไทยด้วย

ระบบօสบีอาร์ที่เริ่กกันในปัจจุบัน ได้ทดลองใช้ในการบำบัดน้ำเสียในอุตสาหกรรมเมื่อประมาณต้น คริสต์ทศวรรษ 1990 นี้เอง โดยระบบแรกๆ สร้างขึ้นเพื่อใช้ในการบำบัดน้ำเสียจากโรงงานเคมีภัณฑ์ พนั่วระบบ օสบีอาร์มีความเสถียร และมีความสามารถในการบำบัดน้ำเสียได้ดีโดยเฉพาะสามารถควบคุมปริมาณ สารประกอบคาร์บอนและในโทรศัพท์ในน้ำทิ้งที่ผ่านการทำบำบัดแล้วได้ดี จากนั้นจึงขยายเข้าสู่การประยุกต์ใช้ใน อุตสาหกรรมอาหาร นำทิ้งจากครัวเรือน และการประยุกต์ใช้กันน้ำเสียต่างๆ ในเวลาต่อมา

นพดล เจียมสวัสดิ์ [3] ได้ประยุกต์ใช้ระบบօสบีอาร์ในการปรับปรุงระบบบำบัดน้ำเสียของ โรงงานผลิตปลาทูน่ากระป่อง โดยใช้ระบบบ่อหมักไร์อากาศผนวกกับระบบօสบีอาร์ สำหรับน้ำเสีย 549 mg/m./ วัน ค่า BOD เฉลี่ยของน้ำเสียขาเข้า (input) ก่อนเข้าระบบบ่อหมักไร์อากาศประมาณ 1,740 mg./ลิตร มีสภาวะของ การดำเนินการแสดงในตารางที่ 1.1 จากการทดลองในภาคสนามพบว่าระบบที่ใช้มีประสิทธิภาพของการกำจัด COD ได้ในช่วงประมาณ 90-95%

วิมลศิริ ปรีดาสวัสดิ์ และคณะ [4] ได้ทำการศึกษาระบบบำบัดน้ำเสียแบบไม่ปล่อยนำ้ำทิ้ง (Zero Discharge) ที่เป็นระบบรวมระหว่างระบบอสานิาร์และระบบบึงประดิษฐ์ พร้อมกับพัฒนาระบบควบคุมสำหรับระบบอสานิาร์โดยใช้ PLC สำหรับน้ำเสียครัวเรือนที่มีอัตราการไหลของน้ำทิ้ง 600 ลิตรต่อวันค่า BOD 80-800 มก./ลิตร เป็นการศึกษาเบื้องต้นที่แสดงให้เห็นความน่าสนใจและเป็นไปได้ที่จะใช้ระบบอสานิาร์-บึงประดิษฐ์ร่วมกัน โดยไม่มีการทิ้งน้ำเสียเลย

การันย์ ขันแดง และคณะ [5] ได้ศึกษาการประยุกต์ใช้อัลตร้าฟิลเตอร์ชั้น (Ultra filtration) สำหรับบำบัดน้ำเสียที่บำบัดแล้วจากระบบอสานิาร์กลับมาใช้ใหม่ โดยเป็นการศึกษาต่อจากการศึกษาของระบบบ่อหมัก-ระบบอสานิาร์ ที่ในโรงงานอุตสาหกรรมปลาทูน่ากระป่อง ซึ่งศึกษาโดย นพดล เจียมสวัสดิ์ [3] ที่ได้กล่าวมาแล้ว ในกระบวนการกรองแบบอัลตร้าฟิลเตอร์ชั้นนี้ใช้เยื่อแผ่นแบบ Hollow Fibre วัสดุ Polyacrylonitrile มีขนาดการกักกันโมเลกุล (MWCO) 50,000 ใช้ความดันในช่วง 0.5-30 บาร์ พนั่งสามารถลดค่า COD ลงได้ถึง 78-85% ลดน้ำมันและไขมัน (O&G) ลงได้ 64-84% และลดปริมาณของแข็งทึ่งหมด (TS) ลงได้ 38-64% แสดงให้เห็นความเป็นไปได้ของการนำน้ำเสียที่บำบัดแล้วโดยกระบวนการกรองแบบอัลตร้าฟิลเตอร์ชั้นนี้ ให้กลับมาใช้ใหม่ได้ (Recycle) โดยใช้ร่วมกับกระบวนการกรองแบบอัลตร้าฟิลเตอร์ชั้น



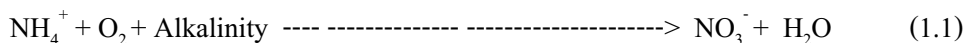
รูปที่ 1.1 SBR Operation sequences diagram

การกำจัดสารประกอบในไตรเจน

ความสามารถหลักอย่างหนึ่งที่ทำให้ระบบแอลกอฮอล์ต่างจากระบบแอกติเวเตดสลัดจ์ คือความสามารถของระบบแอลกอฮอล์ที่จะกำจัดสารประกอบในไตรเจนอินทรีย์(Organic Nitrogen Compounds) ในน้ำเสียโดยกระบวนการไนตริฟิเคชั่น และ ดีไนตริฟิเคชั่น (Nitrification and De-nitrification) อันเป็นกระบวนการเปลี่ยนสภาพสารประกอบในไตรเจนอินทรีย์ที่เป็นของเสียอันอาจได้แก่โปรตีนและสารประกอบในไตรเจโนอินทรีย์อื่นๆ ให้อยู่ในรูปสารประกอบในไตรเจนของแอมโมเนียม (Ammonia Nitrogen form, NH_4^+) โดยแบคทีเรียรวมๆ ในน้ำเสียในสภาพที่มีออกซิเจน แล้วจึงเปลี่ยนให้เป็นไนโตรท์ (Nitrite) โดยแบคทีเรียไตรโซโนแนส (*Nitrosomonas*) และเปลี่ยนให้เป็นไนเตรต (Nitrate) โดยแบคทีเรียไตรแบคเตอร์ (*Nitrobacter*) ตามลำดับ

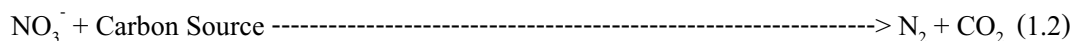
สมการแบบง่าย ของการเกิดไนตริฟิเคชั่น (Simplified Nitrification Equation) คือ

Nitrosomonas and Nitrobacter



และสมการแบบง่ายของการเกิด ดีไนตริฟิเคชั่น คือ

จุลินทรีย์ในสภาพที่มีออกซิเจน ไม่พอ (Anoxic Stage)



ดังนั้นระบบการกำจัดสารประกอบในไตรเจนอินทรีย์จะมีประสิทธิภาพหรือไม่ขึ้นอยู่กับปฏิกริยาในสมการ(1.1) และ (1.2) มีค่า DO (Dissolved Oxygen), pH และ ORP เป็นตัวแปรควบคุม (Controlled Parameter) ไนตริฟิเคชั่นตามสมการ(1.1) จะถูกควบคุมด้วย pH (ซึ่งเป็นค่านิสัยท่อนค่า Alkalinity) และ DO โดยจะมีจุดต่ำสุดในกราฟ pH-Time ของช่วงเติมอากาศเป็นดัชนีชี้การเกิดไนตริฟิเคชั่นที่สมบูรณ์ (End Point) นักเรียกจุดนี้ว่า “Ammonia Valley” ซึ่งตรงกับจุดเปลี่ยนความโถ้งของกราฟ pH-Time [6]

ในทำนองคล้ายกันตามสมการ (1.2) pH และ ORP (Oxidation-reduction Potential) ก็จะเป็นดัชนีควบคุมดีไนตริฟิเคชั่น ในช่วง Anoxic โดยมี “Nitrate Apex” อันเป็นจุดสูงสุดในกราฟ pH-Time สัมพันธ์กับจุด “Nitrate Knee” ที่เปลี่ยนความชันของกราฟ ORP-Time เป็นจุดแสดงปลายช่วงดีไนตริฟิเคชั่น ก่อนการเติมอากาศเพื่อเริ่มรอบดำเนินการใหม่ [7]

จึงสามารถใช้ค่า DO, pH และ ORP เป็นตัวแปรเพื่อการควบคุมการทำงานของระบบแอลกอฮอล์แบบ On-line ได้อย่างดีในระบบควบคุมแบบชาญฉลาดต่างๆ (AI, Artificail Intelligent) เช่น ในระบบ “Fuzzy-Logic” เป็นต้น [6][7][8]

การกำจัดฟอสฟอรัส

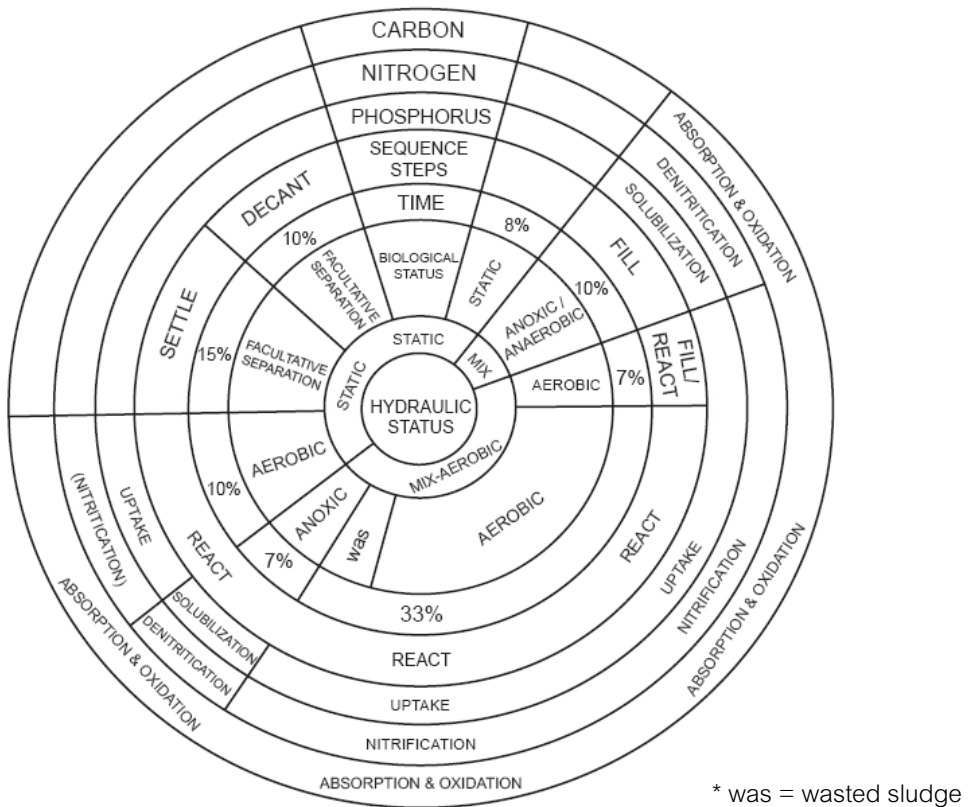
ระบบแอลบีอาร์เป็นระบบหนึ่งที่สามารถกำจัดฟอสฟอรัสน้ำเสีย ซึ่งอยู่ในรูปสารประกอบฟอสเฟต ได้ดี Choi และ Yoo [9] รายงานในการศึกษาการใช้ระบบ เอสบีอาร์ในการกำจัดสารประกอบฟอสเฟต สำหรับน้ำเสียที่มีฟอสเฟตสูงจากน้ำทึ้งอุตสาหกรรมอาหารและน้ำทึ้งจากโรงงานฟอกหนัง โดยพบว่าสามารถกำจัดฟอสฟอรัสที่มีความเข้มข้นถึง 50 มก./ลิตร ได้ประสิทธิภาพถึง 93%

โดยช่วงของการเติมอากาศอย่างเดียว เป็นเวลา 12 ชั่วโมงสามารถกำจัดฟอสฟอรัสได้เพียง 35% แต่การใช้ระบบ เอสบีอาร์ที่มีวัฏจักรการไม่เติมอากาศ 2 ชั่วโมง และเติมอากาศ 4 ชั่วโมง สามารถกำจัดฟอสฟอรัสที่มีความเข้มข้นถึง 50 มก./ลิตร ได้ประสิทธิภาพถึง 93% ในระยะ 5 Cycle ของการดำเนินการ ปรากฏการณ์ที่เกิดขึ้นเป็นไปโดยกลไก

- (1) การละลาย (Dissolution) ของเกลือฟอสเฟตในช่วง Anoxic พร้อมๆ กับการเกิด ดิไนตริฟิเกชัน
- (2) การใช้สารละลายฟอสเฟตในการเติบโตกองเซลล์ธุลินทรี (Uptaking)

โดยมีแผนผังวัฏจักร(Cycle) ของการดำเนินการของระบบแอลบีอาร์ ในขั้นตอนต่างๆ แสดงไว้อย่างชัดเจน ตามรูปที่ 1.2 (เอกสารอ้างอิง [10])

การดำเนินการของโครงการนี้จะศึกษาระบบแอลบีอาร์ในด้านตัวแบบของกระบวนการ พร้อมการวัดและติดตามผลการดำเนินการ ตามแนวทางที่กล่าวมานี้ โดยมีการปรับปรุงและขยายผลเพิ่มเติมในการศึกษาดังจะกล่าวโดยละเอียดในบทต่อไป



TYPICAL SBR CYCLE

รูปที่ 1.2 วัฏจักรของการดำเนินการระบบอสูร์ โดยทั่วไป (Typical SBR Operation Cycle)

1.5 การคัดเลือกโรงงานเพื่อติดตั้งและทดสอบระบบแอลซีอาร์

กลุ่มวิจัย โครงการพัฒนาระบบแอลซีอาร์ได้เลือกวิเคราะห์น้ำเสียและติดตั้งระบบแอลซีอาร์ที่ โรงงานของบริษัทศรีสุทธิคุลจำกัด (S.K. Foods Co., Ltd.) ซอยวัดนางสาว ถนนเศรษฐกิจ 1 กระทุมແບນ สมุทรสาคร ซึ่งมีกระบวนการผลิต 2 โรงงาน คือ 1. โรงงานผลิตปลาทูน่ากระป่อง มีกำลังการผลิต 50 ตัน ปลา/วัน ปริมาณน้ำเสียที่เกิดขึ้น 500 ลบ.ม./วัน มีการบำบัดน้ำเสียโดยอาศัยระบบบำบัดน้ำเสียแบบ แอนแอโรบิก ร่วมกับระบบบำบัดน้ำเสียแบบแอลซีอาร์ 2. โรงงานผลิตอาหารทะเลแซ่บเข้ม มีกำลังการผลิต 5 ตัน ปลา/วัน ปริมาณน้ำเสีย 7 ถึง 10 ลบ.ม./วัน

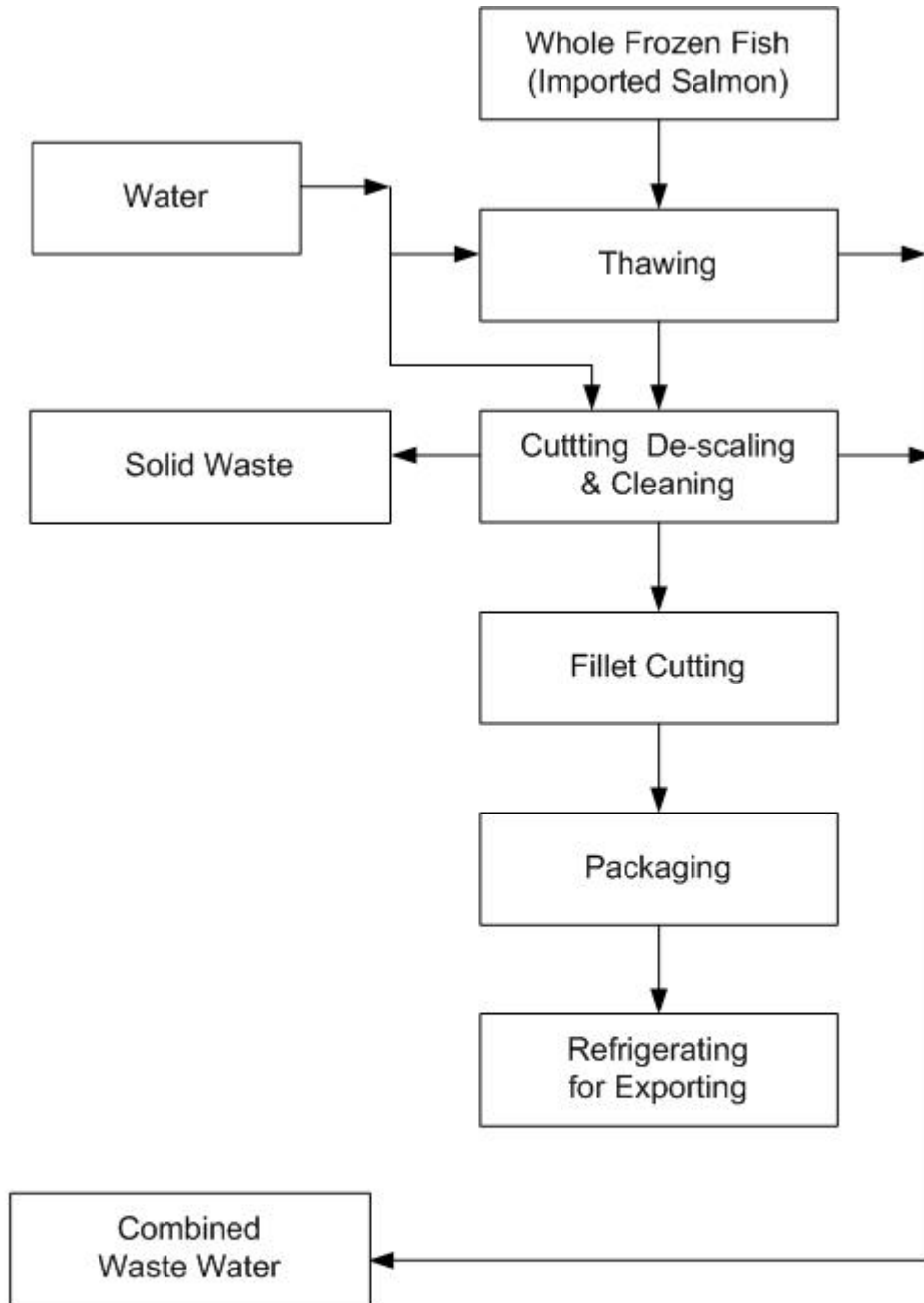
จากการสำรวจในปัจจุบัน โดยอาศัยการเก็บตัวอย่างน้ำเสียแบบ Grab sample พบร้าโรงงานผลิตปลาทูน่ากระป่องมีการใช้น้ำบริโภคไม่สมควร เช่นมาในกระบวนการล้างปลาและการล้างโรงงาน และสถานที่ภายในโรงงาน ไม่สำคัญในการติดตั้งระบบแอลซีอาร์ และเมื่อพิจารณาโรงงานอาหารทะเลแซ่บเข้มซึ่งอยู่บริเวณใกล้เคียงห่างจากโรงงานผลิตปลาทูน่ากระป่องประมาณ 500 เมตร พบร้าอาหารทะเลแซ่บเข้มปลา มีคุณสมบัติน้ำเสียที่เหมาะสมใกล้เคียงกับวัตถุประสงค์ที่เหมาะสมที่จะนำมาร่วมในโครงการ อีกทั้งยังมีพื้นที่กว้าง สะอาดที่จะติดตั้งระบบ ทางกลุ่มวิจัยจึงเลือกติดตั้งระบบแอลซีอาร์ที่โรงงานอาหารทะเลแซ่บเข้มศรีสุทธิคุล (โรงงาน S.K. Foods Co., Ltd.) ซึ่งมีกระบวนการผลิตตามรูปที่ 1.3 สำหรับเกณฑ์การออกแบบเบื้องต้น ใช้เกณฑ์ที่ปริมาณน้ำเสีย 5 ลบ.ม./วัน และค่า BOD_5 ที่ 1000 mg/l ก่อน

โดยที่ทางกลุ่มวิจัยได้ดำเนินการเก็บตัวอย่างน้ำเสียจากโรงงานอาหารทะเลแซ่บเข้มของบริษัทศรีสุทธิคุล จำกัด เพื่อใช้เป็นข้อมูลเบื้องต้นประกอบการดำเนินการดัง แสดงในตารางที่ 1.1

ตารางที่ 1.1 ข้อมูลเบื้องต้นค่าพารามิเตอร์ของน้ำเสียโรงงานอาหารทะเลแซ่บเข้มของบริษัทศรีสุทธิคุลจำกัด

พารามิเตอร์	หน่วย	มาตรฐาน (8 สค.2545)	
		Combined Waste Water ในบ่อพักน้ำเสีย	
1. BOD	(mg/l)	893.75	
2. COD	(mg/l)	1144.90	
3. SS	(mg/l)	835.56	
4. pH	-	7.22	
5. TKN	(mg/l)	256.68	
6. Oil & Grease	(mg/l)	2950.00	
7. Phosphorus	(mg/l)	17714.29	

ข้อมูลดังกล่าวเป็นเพียงข้อมูลเบื้องต้นที่ยังไม่สมบูรณ์และยังอาจขาดความแม่นยำ จะใช้ข้อมูลดังกล่าวเป็นเพียงแนวทางเพื่อการกำหนดขนาดและการคำนวณเพื่อการออกแบบเท่านั้น ในขั้นตอนของการทดลองจะต้องศึกษาและวิเคราะห์ข้อมูลนี้เพิ่มโดยละเอียดต่อไป



รูปที่ 1.3 แผนผังกระบวนการผลิตปลาแล่สัดเพื่อการส่งออก
ของโรงงานอาหารทะเลแข็งของบริษัท ศรีสุทธิ์กุลจำกัด

บทที่ 2

ทฤษฎี

ระบบแอลชีวาร์ เป็นระบบบำบัดน้ำเสียทางชีวภาพที่มีวิธีที่แตกต่างไปจากระบบเติมอากาศแบบอื่นๆ ที่ใช้กันเนื่องจากระบบแอลชีวาร์ จะทำงานแบบเป็นกส ่ ส่วนการให้อาหารแบบอื่นจะเป็นการทำงานแบบต่อเนื่อง ระบบแอลชีวาร์นี้จะใช้ถังปฏิกรณ์เพียงถังเดียวทำหน้าที่เป็นทึ้งถังเติมอากาศและถังตกลงกอน การควบคุมจึงเป็นไปได้ง่าย ในกรณีที่น้ำเสียจากโรงงานเป็นแบบต่อเนื่อง สามารถใช้ระบบแอลชีวาร์ที่ใช้ถังปฏิกรณ์หลายใบได้ โดยในเวลาใดเวลาหนึ่งถังแต่ละใบจะทำหน้าที่ไม่ตรงกันเพื่อให้สามารถกำจัดน้ำเสียที่ไหลต่อเนื่องกันตลอดเวลาได้โดยไม่มีขาดตอน

2.1 การทำงานของระบบแอลชีวาร์ ประกอบด้วยขั้นตอนต่างๆ ดังต่อไปนี้

(รูปที่ 1.1 ในบทที่ 1)

- 2.1.1 ขั้นตอนในการเติมน้ำเสียซึ่งภายในถังจะมีตกลงกอนจากการทำงานก่อนหน้านี้อยู่จำนวนหนึ่ง แล้ว การเติมน้ำเสียจะสิ้นสุดเมื่อปริมาณน้ำเสียเต็มถังปฏิกรณ์หรือเมื่อถึงเวลาสูงสุดที่กำหนดไว้ หลังจากนั้นน้ำเสียจะเข้าสู่ขั้นตอนถัดไป
- 2.1.2 การกำจัดน้ำเสีย (REACT) ในขั้นตอนนี้จะมีการเติมอากาศ เวลาที่ใช้จะขึ้นอยู่กับสารในน้ำเสียที่ต้องการบำบัด ในกรณีที่ต้องการจะจัดเพียงสารอินทรีย์ จะใช้เวลามากกว่า 1 ชั่วโมง อย่างไรก็ตามควรใช้เวลาในขั้นตอนนี้มากพอสมควรเพื่อให้มีประสิทธิภาพดี และเกิดกระบวนการ Nitration ได้ดี เวลาสำหรับการรับน้ำเสียและเติมอากาศนี้คิดเป็น 60 % ของระยะเวลา 1 รอบการทำงาน
- 2.1.3 การตกลงกอน (SETTLE) ขั้นตอนนี้จะเป็นการแยกของเหลว – ของแข็งออกจากกัน โดยใช้เวลาประมาณ 20 % ของระยะเวลา 1 รอบการทำงาน
- 2.1.4 การระบายน้ำทิ้ง(DECANT) น้ำเสียที่ถูกบำบัดแล้วจะถูกปล่อยออกจากถังปฏิกรณ์ลงสู่แหล่งรับน้ำ ใช้เวลาในช่วงนี้คิดเป็น 15 % ของ 1 รอบการทำงาน
- 2.1.5 ระยะพัก (IDLE) เป็นช่วงเวลาหลังจากขั้นตอน DECANT และก่อนขั้นตอน FILL ซึ่งขั้นตอนนี้จะเป็นช่วงเวลาที่เพื่อให้เชิงเรืองฟื้นตัว โดยใช้เวลาทึ้งหมดประมาณ 5 % ของ 1 รอบการทำงานซึ่งระยะนี้แบ่งออกเป็น 2 ช่วง คือ ช่วงเติมอากาศและช่วงหยุดเติมอากาศช่วงละเท่าๆ กัน

2.2 จุดเด่นของระบบแอลชีวาร์

ระบบแอลชีวาร์สามารถควบคุมปริมาณไนโตรเจนและฟอฟอรัสได้ โดยในช่วงระยะเวลา 1 รอบการทำงานช่วงที่หยุดให้อาหาร(Anoxic phase) จะเกิดกระบวนการ Denitrification คือการใช้ออกซิเจนจากสารประกอน Nitrate ได้เป็น N_2 และในช่วงการเติมอากาศจะเกิดกระบวนการ Nitrification คือ การที่

จุลินทรีย์นำเอาออกซิเจนในอากาศมาเปลี่ยนสารประกอบในโตรjen อินทรีในน้ำเสียให้กลายเป็น Nitrate และยังสามารถนำบัดสารประกอบฟอสฟอรัสได้ด้วยตามผังวัสดุจัดของการดำเนินการในรูปที่ 1.2

อิกทั้งระบบເອສນີອາຣີ່ຍັງເປັນຮະບນເດືອກທີ່ແກ້ປັບຫາກາຈມໄມ່ລົງຂອງຕະກອນຈຸລິນທີ່ (Bulking) ເນື່ອຈາກລັກນະກາວທຳງານຂອງຮະບນໄມ່ເອົ້ວຕ່ອກກາໂຕຂອງ Filamentous bacteria ຜົ່ງເປັນສາເຫຼຸສັກຄູນຂອງກາຈມໄມ່ລົງຂອງຕະກອນ

2.3 อัตราการเจริญเติบโตของຈຸລິນທີ່

ถ้าສភາວະແວຄລ້ອນຕ່າງໆໃນການເຈັບເຕີບໂຕເປັນໄປອ່າງເໝາະສມແລ້ວ อັຕຣາເຮົວໃນການເຈັບເຕີບໂຕຂອງຈຸລິນທີ່ຈະເຂັ້ມອູ້ກັບປະມາມອາຫາເພີ່ມອ່າງເດືອກ ຜົ່ງອັຕຣາກາເຈັບເຕີບໂຕວັດໄດ້ຈາກຈຳນວນຈຸລິນທີ່ທີ່ເພີ່ມຂຶ້ນທີ່ຈະຈຳນວນຈຸລິນທີ່ທີ່ເພີ່ມຂຶ້ນກີ່ໄດ້ຍະແບ່ງຂ່າວອັຕຣາກາເຈັບເຕີບໂຕໄດ້ເປັນ 3 ຂ່າວັດນີ້

- 2.3.2 Log Growth Phase เป็นຂ່າວທີ່ຈຸລິນທີ່ມີການເຈັບເຕີບໂຕມາກທີ່ສຸດເນື່ອຈາກມີອາຫາເໜືອເພື່ອອັຕຣາກາເຈັບເຕີບໂຕໃນຂ່າວນີ້ຈຶ່ງເຂັ້ມອູ້ກັບຄວາມສາມາດໃນກາຍ່ອຍອາຫາຂອງຈຸລິນທີ່
- 2.3.3 Declining Growth Phase ປະມາມອາຫາຈະເຮັ່ມນ້ອຍລົງມີເອົ້າທີ່ກັບຈຳນວນຈຸລິນທີ່ດັ່ງນີ້ ການເຈັບເຕີບໂຕຈະຄ່ອຍາລດລົງ ຈຸດສຸດທ້າຍຂອງຂ່າວນີ້ກີ່ຈຳນວນຈຸລິນທີ່ສູງສຸດ
- 2.3.4 Endogenous Phase เป็นຂ່າວທີ່ອາຫາເຮັ່ມາດເຄລນ ຈຳນວນຈຸລິນທີ່ຈະລດລົງເຮືອຍາເນື່ອຈາກມີການຕາຍແລະຍ່ອຍສາຍຂອງເຊລຈຸລິນທີ່

2.4 ຄວາມສັນພັນຮ່ວ່າງການເຈັບເຕີບໂຕຂອງຈຸລິນທີ່ກັບການທຳລາຍສາຣອິນທີ່

ໂດຍສ່ວນຮວມແລ້ວການທຳລາຍສາຣອິນທີ່ທີ່ມີອູ້ໃນນໍາເສີນນັ້ນຈຸລິນທີ່ຈະນຳພັງງານທີ່ໄດ້ໄປໃຫ້ສ້າງເຊລ໌ໃໝ່ເຂົ້າ ຜົ່ງສັນພັນຮ່ວ່າງການເຈັບເຕີບໂຕຂອງຈຸລິນທີ່ແລະອັຕຣາກາສາຍຕົວຂອງສາຣອິນທີ່ທີ່ໄໃໝ່ເປັນອາຫາໄດ້ເປັນ

$$\text{ອັຕຣາກາເຕີບໂຕ} = \text{ອັຕຣາກາສ້າງເຊລ໌} - \text{ອັຕຣາກາຕາຍຂອງເຊລ໌}$$

$$\frac{dX}{dt} = YdF/dt - k_d X \quad (2.1)$$

ໂດຍ	dX/dt	=	ອັຕຣາກາເຕີບໂຕຂອງຈຸລິນທີ່, ນໍາໜັກ/ປະມາຕຣ-ເວລາ
	Y	=	ສັນປະລິຫິກເຈັບເຕີບໂຕຂອງຈຸລິນທີ່
	dF/dt	=	ອັຕຣາກາໃຫ້ສາຣອິນທີ່ໂດຍຈຸລິນທີ່, ນໍາໜັກ/ປະມາຕຣ-ເວລາ
	k_d	=	ສັນປະລິຫິກການຕາຍຂອງຈຸລິນທີ່, ເວລາ ⁻¹
	X	=	ຄວາມເຂັ້ມຂຶ້ນຂອງຈຸລິນທີ່, ນໍາໜັກ/ປະມາຕຣ

และได้อัตราการใช้สารอาหารเป็น

$$\frac{dF}{dt} = kXS / (K_s + S) = \frac{dS}{dt} \quad (2.2)$$

โดย k	=	อัตราสูงสุดในการใช้สารอาหารต่อหน่วยน้ำหนักจุลินทรีย์, เวลา ⁻¹ (หรือมักแทนด้วยสัญลักษณ์ μ_{max})
K_s	=	ค่าคงที่ของโมโนด (Monod constant) มีค่าเท่ากับความเข้มข้นของสารอินทรีย์ในน้ำเสียหรือ BOD ที่ จุดซึ่งอัตราการใช้สารอาหารเท่ากับครึ่งหนึ่งของอัตราสูงสุด
S	=	ความเข้มข้นของ BOD ในน้ำทิ้ง, น้ำหนัก/ปริมาตร

เมื่อหารสมการ (1) ด้วย X ตลอดจะได้

$$(1/X) \frac{dX}{dt} = (Y/X) \frac{dF}{dt} - k_d \quad (2.3)$$

ในสมการ (2.3) $(1/X) \frac{dX}{dt}$ คืออัตราการเติบโตเฉพาะของจุลินทรีย์เกี่ยวนแทนด้วย μ เมื่อแทน μ และ dF/dt จากสมการ (2.2) ลงในสมการ (2.3) จะได้สมการ (2.4)

$$\mu = Y [kS / (K_s + S)] - k_d \quad (2.4)$$

แทน $(\Delta F / \Delta t) / X$ ด้วย F/M = Food to microorganism ratio อัตราการกินอาหารของจุลินทรีย์ต่อหน่วยน้ำหนักของจุลินทรีย์

แทน X ($\Delta t / \Delta x$) ด้วย θ_c หมายถึง SRT = mean cell resident time เวลาเฉลี่ยที่จุลินทรีย์ใช้ในการทำลายสารอินทรีย์ ดังนั้นเขียนสมการใหม่ได้เป็น

$$1/\theta_c = Y * (F/M) - k_d \quad (2.5)$$

ในการณ์ที่ $k_d = 0$ นั้นคือยังไม่มีการตายของจุลินทรีย์

$$\text{จะได้ว่า } 1/\theta_c = Y * (F/M) \quad (2.6)$$

$$\text{หรือ } F/M = 1 / (\theta_c * Y) \quad (2.7)$$

$$\text{โดยที่ } Y = (X_{out} - X_{in}) / (S_{in} - S_{out}) \quad (2.8)$$

และเมื่อ X แทนค่าด้วย MLVSS (Mixed Liquor Suspended Solid)

และ S แทนค่าด้วย BOD

$$\text{จะได้ } Y = (MLVSS_{out} - MLVSS_{in}) / (BOD_{in} - BOD_{out}) \quad (2.9)$$

แต่ในทางปฏิบัติที่ใช้ในการออกแบบระบบบำบัดน้ำเสีย จะให้ค่า $MLVSS_{in} = 0$ และ BOD_{out} ได้ตามมาตรฐานน้ำทึบเป็น 20 mg/l ดังนั้นในกรณีที่ BOD_{in} มีค่ามากอาจไม่คิด BOD_{out}

$$\text{จะได้ว่า } 1/Y = BOD_{in} / MLVSS_{out} \quad (2.10)$$

หรือจะ Subscript ไว้ในฐานที่เข้าใจ เป็น

$$1/Y = BOD / MLVSS \quad (2.11)$$

2.5 ระบบการเติมอากาศและการถ่ายเทอากาศ

ลักษณะการให้อากาศกับถังปฏิกรณ์ เลือกใช้เครื่องเป่าอากาศ (Air Blower) อัดอากาศผ่านไปตามท่ออากาศเข้าสู่เครื่องกระจายอากาศ (Diffuser) ทำให้อากาศกระจายเป็นฟอง掠ยขึ้นสู่ผิวน้ำ ออกซิเจนในฟองอากาศจะถ่ายเทเข้าสู่น้ำเสีย เครื่องเติมอากาศลักษณะนี้โดยส่วนใหญ่จะให้ประสิทธิภาพสูงถ้าฟองอากาศมีขนาดเล็กและ掠ยขึ้นสู่ผิวน้ำอย่างช้าๆ เครื่องเป่าอากาศนี้จะให้อากาศในปริมาณมาก โดยใช้ความดันต่ำซึ่งเท่ากับแรงกดดันของน้ำในถังเติมอากาศรวมกับแรงกดดันที่สูญเสียไปเนื่องจากแรงเสียดทานในระบบห้องอากาศจากเครื่องเป่าอากาศจนถึงเครื่องกระจายอากาศ

2.5.1 การออกแบบระบบเติมอากาศแบบฟองอากาศ

ในการออกแบบระบบเติมอากาศแบบฟองต้องคำนวณปริมาณอากาศที่ต้องใช้จำนวนเครื่องเติมอากาศ กำลังแรงม้าเครื่องเติมอากาศและระบบห้องขยายอากาศจากเครื่องเติมอากาศmanyang เครื่องกระจายอากาศ

ปริมาณอากาศที่ต้องใช้ คำนวณได้จากสมการ

$$Q_{ao} = Q_x / (0.0175E * \alpha) \quad (2.12)$$

- เมื่อ Q_x = ปริมาณ (มวล) ออกซิเจนที่ต้องการ, ปอนด์/นาที
 Q_{ao} = ปริมาณอากาศที่ต้องการที่สภาวะมาตรฐาน, ลูกบาศก์ฟุต/นาที
 E = ประสิทธิภาพการถ่ายเทออกซิเจนจากฟองอากาศไปสู่น้ำสะอาด
 ที่สภาวะมาตรฐานประมาณ 5%

$$\alpha = \frac{\text{อัตราการถ่ายเทออกซิเจนในน้ำเสียต่ออัตราการถ่ายเทออกซิเจนในน้ำสะอาด}}{\text{ในน้ำสะอาด}}$$

ปริมาณอากาศที่ต้องการที่สภาวะใช้งาน Q_{af} จะคำนวณได้จากสมการ

$$Q_{af} = \frac{Q_{ao}}{(C_{sa} * \beta - C_r) / C_{20}} \quad (2.13)$$

เมื่อ	C_{sa}	= ความเข้มข้นอิมตัวของออกซิเจนที่อุณหภูมิคง
	C_{20}	= ความเข้มข้นอิมตัวของออกซิเจนในน้ำสะอาดที่ 20 องศาเซลเซียสและความกดดัน 1 บรรยากาศ
	C_r	= ความเข้มข้นของออกซิเจนในน้ำเสีย
	β	= ความเข้มข้นอิมตัวของออกซิเจนในน้ำเสียต่อความเข้มข้นอิมตัวของออกซิเจนในน้ำสะอาด

ความดันของอากาศที่ต้องการมีค่าเท่ากับแรงกดดันของน้ำในถังเติมอากาศรวมถึงความกดดันที่เสียไปในเส้นท่อและในตัวเครื่องกระจายอากาศ ซึ่งสองอย่างแรกสามารถคำนวณได้โดยใช้หลักทางชลศาสตร์ ส่วนความดันในตัวเครื่องกระจายอากาศผู้ผลิตจะกำหนดค่าให้ ในการเลือกขนาดท่อระบายน้ำอากาศควรเลือกให้มีความเร็วในการไหลของอากาศประมาณ 15 ฟุต/วินาที

กำลังแรงม้าของเครื่องป่าอากาศจะคำนวณได้จากสมการ (เอกสารอ้างอิง [10])

$$Bhp = \frac{WRT_1[(P_2/P_1)^n - 1]}{550ne} \quad (2.14)$$

เมื่อ	bhp	= กำลังแรงม้าที่ต้องการ (Adiabatic brake horse power)
	W	= ปริมาณอากาศ, ปอนด์/วินาที
	R	= gas constant (53.5)
	T_1	= อุณหภูมิสัมบูรณ์ของอากาศที่เข้าเครื่องเติมอากาศ, $^{\circ}\text{R}$
	P_1, P_2	= ความดันสัมบูรณ์ของอากาศที่เข้าและที่ออกจากเครื่องเติมอากาศ, ปอนด์/ตารางนิ้ว (Psia)
	n	= $(k-1)/k = 0.283$ สำหรับอากาศ
	k	= 1.395 สำหรับอากาศ
	e	= ประสิทธิภาพของเครื่องเติมอากาศ (70-80 %)

2.6 การออกแบบระบบออกซิเจน

2.6.1 ระบบเติมอากาศ

สำหรับระบบที่มีน้ำเสียไหลด้วยอัตราการไหล F_{inf} มี BOD_5 ขาเข้าออกซิเจนเป็น $\text{BOD}_{\text{in,r}}$ และต้องการนำบัดจนสามารถทิ้งน้ำลงสู่แหล่งน้ำสาธารณะได้คือให้มี BOD_5 หลังจากออกซิเจนเป็น 20 mg/l โดยกำหนดให้ถังปฏิกรณ์ทำงานจะละ 12 ชั่วโมง

2.6.1.1 คำนวณ BOD loading

$$\text{BOD loading} = \text{BOD}_{\text{in}} * F_{\text{inf}} \quad (2.15)$$

F_{inf} = Volumetric flow rate of influent

2.6.1.2 คำนวณความต้องการออกซิเจน (AOR , Actual oxygen requirement)

$$\text{AOR} = (\text{BOD}_{\text{in,r}} - 20) * 1.5 \quad (2.16)$$

2.6.1.3 คำนวณ SOR (Standard oxygen requirement) จากสมการ (2.17)

$$\text{AOR/SOR} = \alpha (1.024)^{T-20} \left\{ \beta C_s - C_e \right\} / C_{se} \quad (2.17)$$

โดยที่

$$\alpha = \frac{\text{อัตราการถ่ายเทออกซิเจนในน้ำทิ้ง}}{\text{อัตราการถ่ายเทออกซิเจนในน้ำสะอาด}}$$

$$\beta = \frac{\text{ความเข้มข้นอิมตัวของออกซิเจนในน้ำทิ้ง}}{\text{ความเข้มข้นอิมตัวของออกซิเจนในน้ำทิ้ง}}$$

$$T = \text{อุณหภูมิที่ทำการบำบัด} (^{\circ}\text{C})$$

$$C_{20} = \text{ความเข้มข้นอิมตัวของออกซิเจนในน้ำสะอาดที่ } 20^{\circ}\text{C } 1 \text{ atm}$$

$$C_s = \text{ความเข้มข้นของออกซิเจนในน้ำทิ้งที่ } T^{\circ}\text{C } 1 \text{ atm (mg/l)}$$

$$\text{โดยที่ } \alpha = 0.8 \qquad \beta = 0.9$$

$$T = 30^{\circ}\text{C} \qquad C = 2.0 \text{ mg./ลิตร}$$

$$C_s = 7.7 \text{ mg./ลิตร} \qquad C_{se} = 9.1 \text{ mg./ลิตร}$$

2.6.2 การคำนวณขนาดของถังเติมอากาศแบบออกซิเจน

$$F/M = \text{BOD input} / (\theta_c \times \text{MLVSS}) \quad (2.18)$$

$$\text{แทน } \theta_c \text{ ด้วย } V_r / F_{\text{inf}} \quad (2.19)$$

$$\text{ดังนั้น } F/M = \text{BOD input} / [(V_r / F_{\text{inf}}) \times \text{MLVSS}] \quad (2.20)$$

F/M	=	น้ำหนักของ BOD input/น้ำหนักของ MLVSS , หน่วยวินาที ⁻¹
θ_c	=	เวลาที่น้ำพิงอยู่ในถังปฏิกรณ์เรียกว่า hydraulic retention time หรือ HRT (หมายเหตุ: พิจารณาหน่วย ชม. หรือ วัน ให้เหมาะสมกับบริบทของหน่วยอื่นด้วย)
V_r	=	ปริมาตรร่องในถังปฏิกรณ์, m^3
F_{inf}	=	อัตราการไหลโดยปริมาตรของน้ำเสีย, $m^3/\text{วัน}$ (Influent volumetric flow rate)

2.6.3 การคำนวณขนาดของถังย่อยตะกอน

$$\text{ปริมาณตะกอน(กรัม/วัน)} = \text{yield} (\text{BOD}_{in} - \text{BOD}_{out}) \times F_{inf} \quad (2.21)$$

$$\text{ปริมาตรของถังย่อยตะกอน } (m^3) = \text{ปริมาณตะกอน (กรัม/วัน)} * (1000/ 10000) * \text{HRT (วัน)} \quad (2.22)$$

(กำหนดให้ Wasted sludge concentration = 10,000 mg/L)

รายละเอียดของการออกแบบและการดำเนินการต่างๆ นำเสนอในบทท่อไป

บทที่ 3

การออกแบบระบบแอลซีอาร์

การออกแบบระบบแอลซีอาร์ สำหรับโครงการนี้ ได้ใช้ข้อมูลและประสบการณ์พื้นฐานของนักวิจัยที่ได้จากการศึกษาที่คล้ายกัน [3] เป็นจุดเริ่ม แล้วจึงดำเนินการกำหนดข้อมูลและพารามิเตอร์เพื่อการออกแบบ ตามค่าที่มักใช้กันทั่วไปในทางปฏิบัติอันเป็นประสบการณ์และกรณีศึกษาต่างๆที่มีข้ออ้างอิงได้ ดังต่อไปนี้

3.1 ข้อมูลเบื้องต้นที่ใช้ในการออกแบบ

น้ำเสียเป็นน้ำทึบจากกระบวนการผลิตปลาสอดแล่ เช่น

กำหนดให้ระบบรับอัตราการไหลของน้ำเสียได้ 5 $\text{m}^3/\text{วัน}$

โดยมีค่า BOD_{input} 1,000 mg./ลิตร

และสามารถนำบัดน้ำเสียให้ได้คุณภาพน้ำที่ผ่านการบำบัดแล้วตามมาตรฐานน้ำทึบกรมโรงงานอุตสาหกรรม โดยเอกสารค่า BOD (BOD_5) เป็นหลัก

BOD_{output} จาก SBR 20 mg./ลิตร

3.2 พารามิเตอร์ที่เลือกในการออกแบบ (แนวคิดจากเอกสารอ้างอิง [3] และ[10])

3.2.1 พารามิเตอร์ทางชีวภาพ (Biological Parameters)

F/M = 0.2

MLVSS = 4,000 mg./ลิตร

3.2.2 พารามิเตอร์ของการดำเนินการระบบแอลซีอาร์ (SBR Operation Parameters)

(โดยที่ช่วงต่างๆของ Cycle ในกราฟคลองชลประปาปรับเปลี่ยนให้ต่างไปจากที่

Pre-designed ได้) (เอกสารอ้างอิง [3], [10])

Cycle = 2 cycle/วัน

โดยมีระยะ (Phase) ต่างๆดังนี้

(1) ให้ช่วงเติมน้ำเสีย (Fill) พร้อมเติมอากาศ เป็น 1 ชม.

(2) ให้ช่วงเติมอากาศ (Aeration) เป็น 9.5 ชม.

(3) ให้ช่วงหยุดเติมอากาศเพื่อตกลงกอน (Settling) เป็น 1.0 ชม.

(4) ให้ช่วงปล่อยน้ำเสียออก (Decanting) เป็น 0.5 ชม.

รวมจำนวน ชม. ต่อ 1 cycle เป็น 12 ชม.

ระยะเวลาของการเติมอากาศต่อ 1 วัน เป็น 21 ชม.

3.3 แผนผังกระบวนการทำงานของระบบออกซิเจน

กระบวนการทำงานของระบบออกซิเจนเป็นไปตามรูปที่ 1.1

3.4 การคำนวณ

3.4.1 การคำนวณการใช้อากาศและการกำหนดขนาดเครื่องเติมอากาศ

$$\text{ภาระบรรทุก บีโอดี (BOD Loading) สำหรับ SBR} = \frac{(1,000 \times 5)}{1,000} = 5 \text{ มก./วัน}$$

$$\text{ความต้องการออกซิเจนต่อวัน} = \frac{(1,000 - 20) \times 1.5 \times 5}{1,000} = 7.35 \text{ กก./วัน}$$

$$\text{ความต้องการออกซิเจนต่อชั่วโมง} = \frac{(7.35)}{21} = 0.35 \text{ กก./ชม.}$$

$$\text{AOR; Actual oxygen requirement} = 0.35 \text{ กก./ชม.}$$

$$\text{AOR/SOR} = \alpha(1.024)^{\frac{T-20}{30-20}} \left\{ \beta C_s - C \right\} / C_{se} \quad (2.17)$$

โดยที่ SOR = Standard Oxygen Requirement (1 atm, 20 °C)

$$\alpha = 0.8 \quad \beta = 0.9$$

$$T=30^{\circ}\text{C} \quad C = 2.0 \text{ มก./ลิตร}$$

$$C_s = 7.7 \text{ มก./ลิตร} \quad C_{se} = 9.1 \text{ มก./ลิตร}$$

$$\text{ดังนั้น} \quad 0.35 / \text{SOR} = 0.8 (1.024)^{\frac{30-20}{30-20}} \left\{ 0.9 \times 7.7 - 2.0 \right\} / 9.1$$

$$0.35 / \text{SOR} = 0.549$$

$$\text{SOR} = 0.638 \text{ กก./ชม.}$$

$$\text{ใช้ Safety Factor} = 1.25$$

$$\text{ดังนี้ SOR as designed} = 0.638 \times 1.25 = 0.798 \text{ กก./ชม.}$$

การเลือกเครื่องเติมอากาศ :

เลือก Air blower / diffuser

$$\text{ให้ air density at standard condition (1 atm, 20 °C)} = 1.20 \text{ กก./m}^3$$

องค์ประกอบของออกซิเจนในอากาศคิดเป็น 21% โดยปริมาตร หรือ 23.32% / โดยน้ำหนักให้ออกซิเจน ที่ถ่ายผ่านเข้าไปในน้ำได้เป็น 10 % โดยปริมาตร

ดังนั้น SCFM ของอากาศที่ต้องการเป็น (SCFM = Standard Cubic Feet Per Minute)

$$\frac{0.798 \text{ กก./ชม.} \times 35.31 \text{ ฟุต}^3/\text{ม}^3 \times 100}{1.2 \text{ กก. อากาศ/m}^3 \times 0.2332 \times 60 \text{ นาที/ชม.} \times 10} = 16.78 \text{ SCFM ของอากาศ}$$

ใช้ เครื่องเติมอากาศแบบ Blower 17-20 SCFM ความดันไม่ต่ำกว่า 5 เมตรน้ำ

3.4.2 การคำนวณขนาดของถัง SBR

$$\begin{aligned}
 \text{ให้ } F/M &= 0.2 \\
 \text{MLVSS} &= 4,000 \text{ มก./ลิตร} \\
 F/M &= \text{BOD input}/(\theta_c \times \text{MLVSS}) \\
 0.2 &= 1,000/(V_r/5) \times 4,000 \\
 V_r &= 6.25 \text{ m}^3 \\
 \theta_c, \text{HRT} &= 6.25/5 = 1.25 \text{ วัน}
 \end{aligned}$$

3.4.2 ถังย่อยตะกอน

ปริมาณตะกอน MLVSS ที่เกิดขึ้นต่อวัน

$$\text{ให้ yield} = 0.3$$

$$\begin{aligned}
 \text{ปริมาณตะกอน} &= 0.3 (\text{BOD}_{\text{in}} - \text{BOD}_{\text{out}}) \times \text{Flow} \\
 &= 0.3 (1,000-20) 5/1,000 \text{ กก./วัน} \\
 &= 1.47 \text{ กก./วัน}
 \end{aligned}$$

ให้ตะกอนมีค่า MLVSS = 10,000 มก./ลิตร

$$\text{ต้องกำจัดตะกอน} = 1.47 \times 1000 / 10000 = 0.147 \text{ m}^3/\text{วัน}$$

ถังย่อยสลายตะกอนแบบไร้อากาศ

$$\text{ใช้ HRT} = 20 \text{ วัน}$$

$$\text{ปริมาตรของถังย่อยสลายตะกอน} = 0.147 \times 20 \text{ m}^3 = 2.94 \text{ m}^3$$

3.4.3 ถังพักน้ำใส

เนื่องจาก SBR ดำเนินการเป็น 2 cycles

จึงให้ถังพักน้ำใสที่ออกจาก SBR เป็น 2.5 ลบ.m.

3.4.4 การคำนวณขนาดของ Decanter

ออกแบบให้มีทุ่น 3 ทุ่นโดยน้ำและมีส่วนถังรับน้ำอยู่ตรงกลาง

สมมุติให้ ถังรับน้ำเป็นรูป Δ ด้านเท่า ยาวด้านละ 37 ซม.

ความยาวของฝายน้ำล้นรอบถัง = $0.37 * 3 = 1.11 \text{ m}$

ใช้ 90° รูปตัว V รอบถัง

ใช้ รูปตัว V ขนาดลึกถึงปลายแหลม = 0.04 m โดยผู้ระยะหนึ่งมีพิวน้ำ 0.01 m

ระยะห่างระหว่างปลายแหลม = 0.01 m

จำนวนของตัว V รอบ $1.11 / 0.01 = 12$

$$\text{จากสมการ } Q \text{ ต่อตัว V หนึ่งชุด} = (8/15) * C_d \sqrt{2g \tan(\frac{\theta}{2}) H^{5/2}}$$

เมื่อ $Q = \text{อัตราไหลของน้ำล้นต่อตัว V หนึ่งชุด, ลบ.ม./วินาที}$

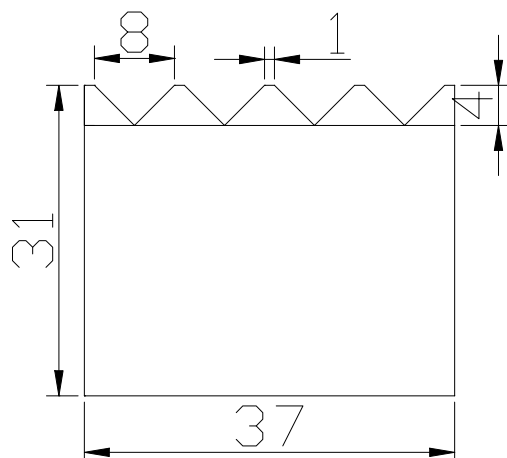
$$\begin{aligned}
 C_d &= \text{ค่าสัมประสิทธิ์ของการไหล} = 0.584 \\
 H &= \text{ค่าระดับน้ำหนึ่งป้ายแหล่งตัว} V, \text{ม.} \\
 \theta &= \text{มุมของรูปตัว} V = 90^\circ \\
 Q &= (8/15) * 0.584 \sqrt{2(9.81) \tan\left(\frac{90}{2}\right)} (0.03)^{5/2} \\
 Q &= 2.15 * 10^{-4} \text{ ลบ.ม./วินาที/} V \text{ หนึ่งชุด} \\
 Q_{\text{รวม}} &= 2.15 * 10^{-4} \text{ ลบ.ม./วินาที/} V \text{ หนึ่งชุด} * 12 \\
 Q_{\text{รวม}} &= 2.58 * 10^{-3} \text{ ลบ.ม./วินาที}
 \end{aligned}$$

สมมุติปริมาณน้ำที่ Drain ออก เท่ากับ 2.5 ลบ.ม./cycle

ระยะเวลาที่ใช้ในการ Drain เท่ากับ $2.5 / 2.58 * 10^{-3}$ เท่ากับ 969 วินาที หรือเท่ากับ 16.15 นาที
กำหนดให้ decanter ใช้สแตนเลสในการก่อสร้าง

สแตนเลสที่วางขายตามห้องตลาดมีขนาด $4*8$ ft น้ำหนักประมาณ 47 kg

ระยะเวลาที่สแตนเลสต่อพื้นที่ 1 ตารางเมตร จะมีน้ำหนักประมาณ 15.81 kg



รูปที่ 3.1 รูปด้านข้างของ Decanter (เฉพาะส่วนสูงตรง) (หน่วย cm.)

จากรูปที่ 3.1 หาพื้นที่ผิวของ decanter ได้ดังนี้ :

ส่วนบนเป็นแผ่นสี่เหลี่ยม 3 แผ่นประกอบกัน

พื้นที่ผิวรวมเท่ากับ $0.37 * 0.31 * 3$ เท่ากับ 0.35 ตารางเมตร

ส่วนล่างเป็นสามเหลี่ยม 3 แผ่นประกอบกัน

พื้นที่ผิวรวมเท่ากับ $0.5 * 0.18 * 0.37 * 3$ เท่ากับ 0.10 ตารางเมตร

เพราะจะน้ำหนักรวม = $0.45 * 15.81 = 7.11 \text{ kg}$

กำหนดให้ ทุ่นทรงกระบอกมีเส้นผ่าศูนย์กลาง 20 cm. และสูง 30 cm. มีความกว้างด้านหัวและท้ายรัศมี 10 cm. หากันที่ผิวของ ทุ่น ได้ว่า

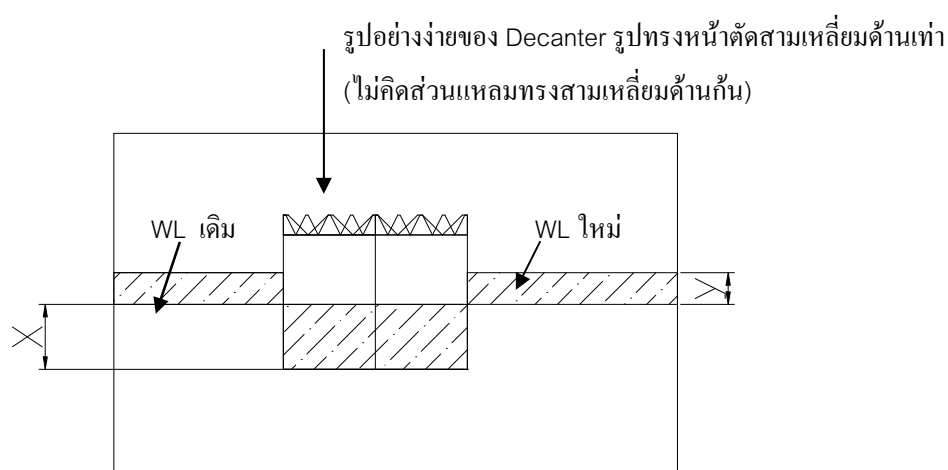
$$\text{พื้นที่} = (2*\pi*0.1*0.3) + 4\pi*0.1^2 = 0.31 \text{ m}^2$$

$$\text{เพรำณน้ำหนักgrav} = 0.31*15.81*3 = 14.91 \text{ kg}$$

$$\text{ตั้งน้ำหนักรวมของทุ่นแปล่งรวมกับ decanter} = 22.02 \text{ kg}$$

3.4.5 การคำนวณหาระยะจมตัวของ Decanter และทุ่นขณะอยู่ในถัง SBR (X-sect. 2m x 2m)

การคำนวณในส่วนนี้ เพื่อตรวจสอบการออกแบบขนาดของทุ่นในการรับน้ำหนักและ ระยะการจมตัวของชุด decanter



รูปที่ 3.2 รูปอย่างง่ายแสดงระยะการจมตัวเมื่อถ่วงน้ำหนักด้วยน้ำในทุ่นโดย
(ไม่ได้แสดงทุ่นลอยในรูป)

กำหนดให้

$$X = \text{ระยะที่ decanter จมลงใต้ผิวของของเหลวเดิม}$$

$$Y = \text{ระยะที่ของเหลวเพิ่มขึ้นจากการดับผิวของของเหลวเดิม}$$

(*หมายเหตุ: การคำนวณในส่วนนี้เป็นการคำนวณตรวจสอบการออกแบบโดยประมาณ จึงคำนวณอย่างง่าย ไม่คิดปริมาตรในส่วนปริมาตรสามเหลี่ยมของก้น decanter)

(1) ดูดยึดปริมาตร

ปริมาตรที่ถูกแทนที่ด้วยทุ่นรวมกับ decanter = ปริมาตรน้ำในถัง SBR ที่สูงขึ้น

$$\left(\frac{\sqrt{3}}{4} * 0.37^2 X \right) + (\pi * 0.1^2 X) * 3 = \left\{ (2*2) - \frac{\sqrt{3}}{4} * 0.37^2 - 3 * (\pi * 0.1^2) \right\} Y$$

$$X = 24.98Y$$

(2) ดูดย์แรง

(2.1) เมื่อยังไม่เติมน้ำลงในถังทุ่นลอยเพื่อถ่วงน้ำหนัก

แรงดึงตัวที่ทำกับน้ำหนักของ decanter รวมกับทุน ทำกับน้ำหนักของเหลวที่ถูกแทนที่

$$\text{แรงดึงตัว} = 22.02 * 9.81 \text{ N}$$

$$22.02 * 9.81 = 9.81 * 10^3 * \left\{ \frac{\sqrt{3}}{4} * 0.37^2 (X+Y) + 3 * \pi * 0.1^2 * (X+Y) \right\}$$

$$X+Y = 0.13$$

$$Y = 0.01 \text{ m (10.0 cm)}$$

$$X = 0.12 \text{ m (12.0 cm)}$$

(2.2) เมื่อเติมน้ำเต็มทุน

แรงดึงตัวที่ทำกับน้ำหนักของ decanter รวมกับทุน รวมกับของเหลวที่บรรจุในทุน

$$\text{แรงดึงตัวท่ากับ} = 22.02 * 9.81 + 9.81 * 10^3 * (\pi * 0.1^2 * 0.3 * 3) \text{ N}$$

$$22.02 * 9.81 + 9.81 * 10^3 * (\pi * 0.1^2 * 0.3 * 3) = 9.81 * 10^3 * \left\{ \frac{\sqrt{3}}{4} * 0.37^2 (X+Y) + 3 * \pi * 0.1^2 * (X+Y) \right\}$$

$$X+Y = 0.35$$

$$Y = 0.01 \text{ m (1.0 cm)}$$

$$X = 0.25 \text{ m (25.0 cm)}$$

ดังนั้นความสูงของขนาดของทุน มีความเหมาะสมที่จะใช้ในการดำเนินการของโครงการ และสามารถปรับระดับแขนของทุนให้เหมาะสมเพื่อการ Decant อย่างมีประสิทธิภาพได้



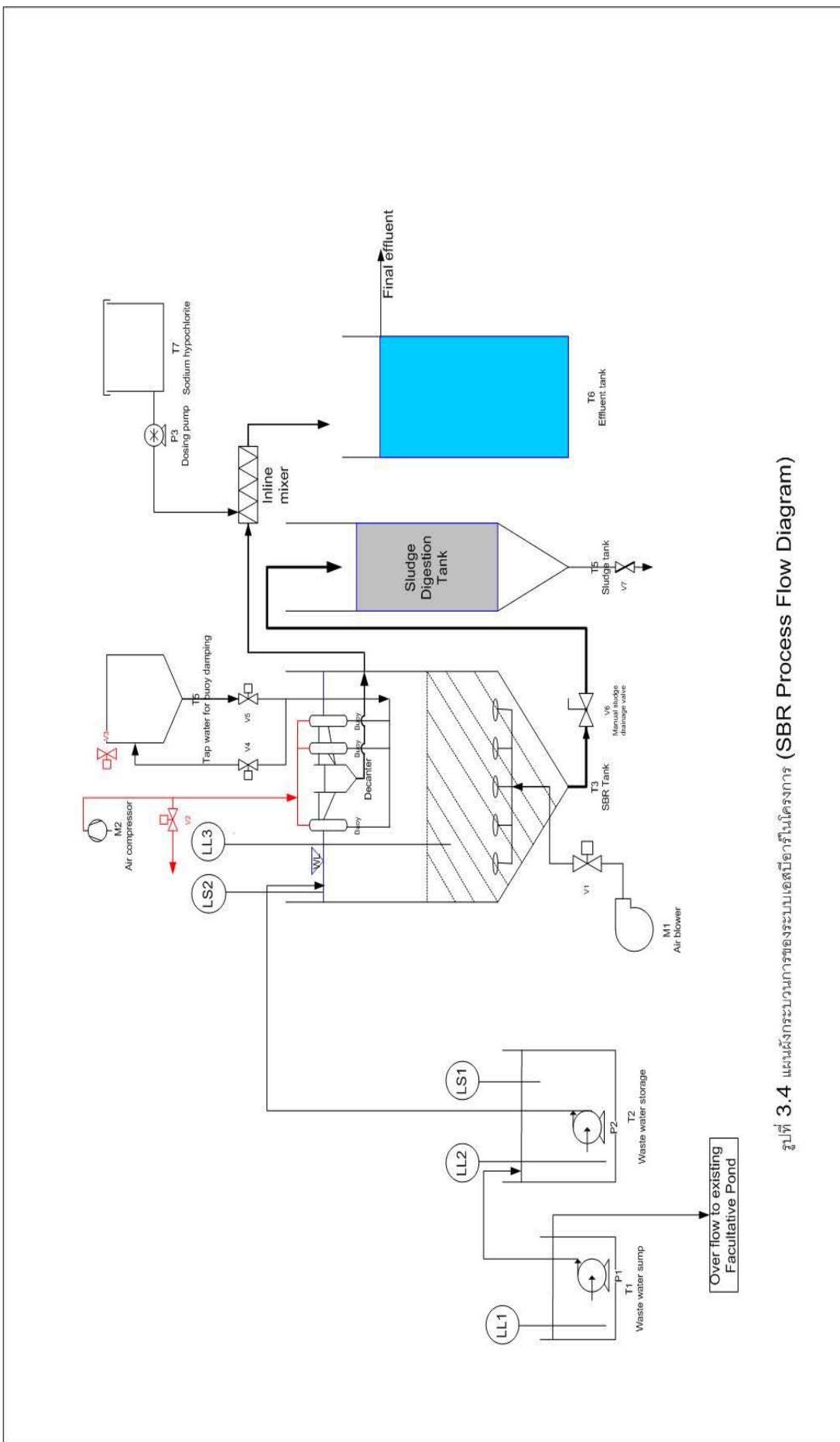
รูปที่ 3.3 Decanter พร้อมทุ่นลอย

3.5 หลักการการดำเนินการของระบบควบคุม (Conceptual design of the control system)

การควบคุมการทำงานของระบบแอลซีอาร์ ซึ่งมีแผนผังกระบวนการ (Process Flow Diagram) ตามรูปที่ 3.4 โดยใช้ Programmable Logical Controlled (PLC) มีหลักการดำเนินการเป็นขั้นตอนดังนี้

- (1) นำ้ำเสียจากโรงงานจะไหลเข้ายังถังรับนำ้ำเสีย T1 (ขนาดความจุประมาณ 500 ลิตร) นำ้ำเสียส่วนเกินจะไหลล้นไปยังบ่อรับนำ้ำเสียที่มีอยู่เดิมของโรงงาน
- (2) ปั๊ม P1 จะสูบน้ำเสียจาก T1 ไปพักในถังพักนำ้ำเสีย T2 ขนาดประมาณ 2000 ลิตรเพื่อเก็บนำ้ำเสียไว้ให้เพียงพอ เพื่อจะส่งต่อไปยังระบบ SBR ต่อไป จำเป็นต้องมีถัง T2 เพื่อรับนำ้ำเสียให้มีบริมาณเพียงพอต่อ 1 cycle ของ SBR การสูบน้ำของปั๊ม P1 จะควบคุมด้วยสวิตช์ระดับ (Level Switch) LL1 และ LS1
- (3) วงจรการทำงานของระบบ SBR ในข้อ (1) และข้อ (2) เป็นการรองรับนำ้ำเพื่อเก็บไว้สำรองในระบบ SBR ในส่วนต่อไปนี้จะเป็นขั้นตอนของระบบ SBR
 - (4) การป้อน (Feed) นำ้ำเสียจากถังพัก T2 จะถูกสูบส่งต่อไปยังระบบ SBR โดยปั๊ม P2 ซึ่งจะเริ่มทำงานด้วยการกำหนดเวลา โดย PLC และหยุดการทำงานด้วยระดับ LS2
 - (5) การเติมอากาศ (Aeration) เมื่อน้ำเสียเข้าถัง T3 จะได้ระดับความสูงที่ต้องการแล้ว (ควบคุมด้วย LS2) ก็จะเปิดวาล์ว V1 ให้เติมอากาศในถัง T3 การเติมอากาศอาจเดินก่อนปั๊ม P2 หุ่ดก็ได้ (แล้วแต่การตั้งโปรแกรม ประมาณ 9.5 ชม.) ในขณะเติมอากาศ Decanter จะลอยอยู่สูงให้ weir ของ decanter อยู่พื้นระดับน้ำ ขั้นตอนนี้ทำได้โดยปิด solenoid valve V2 ปิด solenoid valve V5 เปิด solenoid valve V3 และ solenoid valve V4 เพื่อให้อากาศจากเครื่องอัดอากาศ M2 เข้าทุ่นลอยและดันน้ำสำหรับถ่วงทุ่นลอยกลับเข้าถังพักน้ำ T4
 - (6) การตกตะกอนจุลินทรีย์ (Settling) เมื่อเติมอากาศครบเวลาที่ออกแบบไว้ วาล์วลม V1 จะปิด และหยุดให้น้ำเสียในถังอยู่ในสภาพนิ่งตกตะกอนตามเวลาที่กำหนด (ประมาณ 1 ชม.)

- (7) การปล่อยน้ำใส่ที่บันด็อกแล้วออกจากระบบถังเติมอากาศ (Decanting) ในขั้นตอนนี้ solenoid valve V3 และ V4 จะปิด และเปิด solenoid valve V2 และ V5 เพื่อให้น้ำจากถังเก็บน้ำ T4 ไหลกลับเข้าสู่ท่อนของ decanter และໄล์อากาศออกจากทุน ทุนจะคงลงจนได้ระดับเพื่อให้น้ำใส่ไหลผ่าน weir และไหลล้นออกไปยังถังพักน้ำใส่ก่อนทิ้ง T6 โดยจะดำเนินการเดิม คลอรีน โดย P3 ก่อน
- (8) เมื่อน้ำทึ่งไหลผ่าน decanter จะได้ระดับน้ำในถัง T3 ตามที่ต้องการแล้ว วาล์ว V2 และ วาล์ว V5 จะปิด และ เปิดวาล์ว V3 และ V4 เพื่อเติมลมเข้าในทุนของ decanter ยกระดับ decanter ให้ weir พ้นน้ำ เป็นการจบสิ้น ขั้นตอนการปล่อยน้ำใส่ที่บันด็อกแล้วออกจากถัง T3
- (9) วงจรการทำงานจะทำซ้ำ (1) – (5) ต่อไป
- (10) การปล่อยตะกอนออก จะทำโดย manual operation โดยการทดสอบค่า MLVSS ของจุลินทรีย์ในถัง SBR และปล่อยออกด้วยวาล์ว V6 ไปเก็บในถัง T5



ຮັບຮັດ 3.4 ແຜນເວລີກຂະໜາງການຈົບຈອງປະເທດສຳຄັກໃຫ້ຕະຫຼາກ (SBR Process Flow Diagram)

3.5 ระบบควบคุมแบบ Programmable Logical Controller (PLC)

การควบคุมระบบโดยใช้ Programmable Logical Controller (PLC) ทำการควบคุม การทำงานของ SBR โดยมีโปรแกรมควบคุมและวงจรแสดงไว้ดังรูปที่ 3.5 (PLC Ladder Diagram)

การเขียนโปรแกรมในการควบคุมระบบเขียนโดยใช้ Software เคลื่อนของ PLC และทำการบันทึกข้อมูลจาก computer ไปยัง PLC โดยผ่านสายเชื่อมสัญญาณ (Lab Link) เชื่อมสัญญาณระหว่าง PLC และเครื่องคอมพิวเตอร์

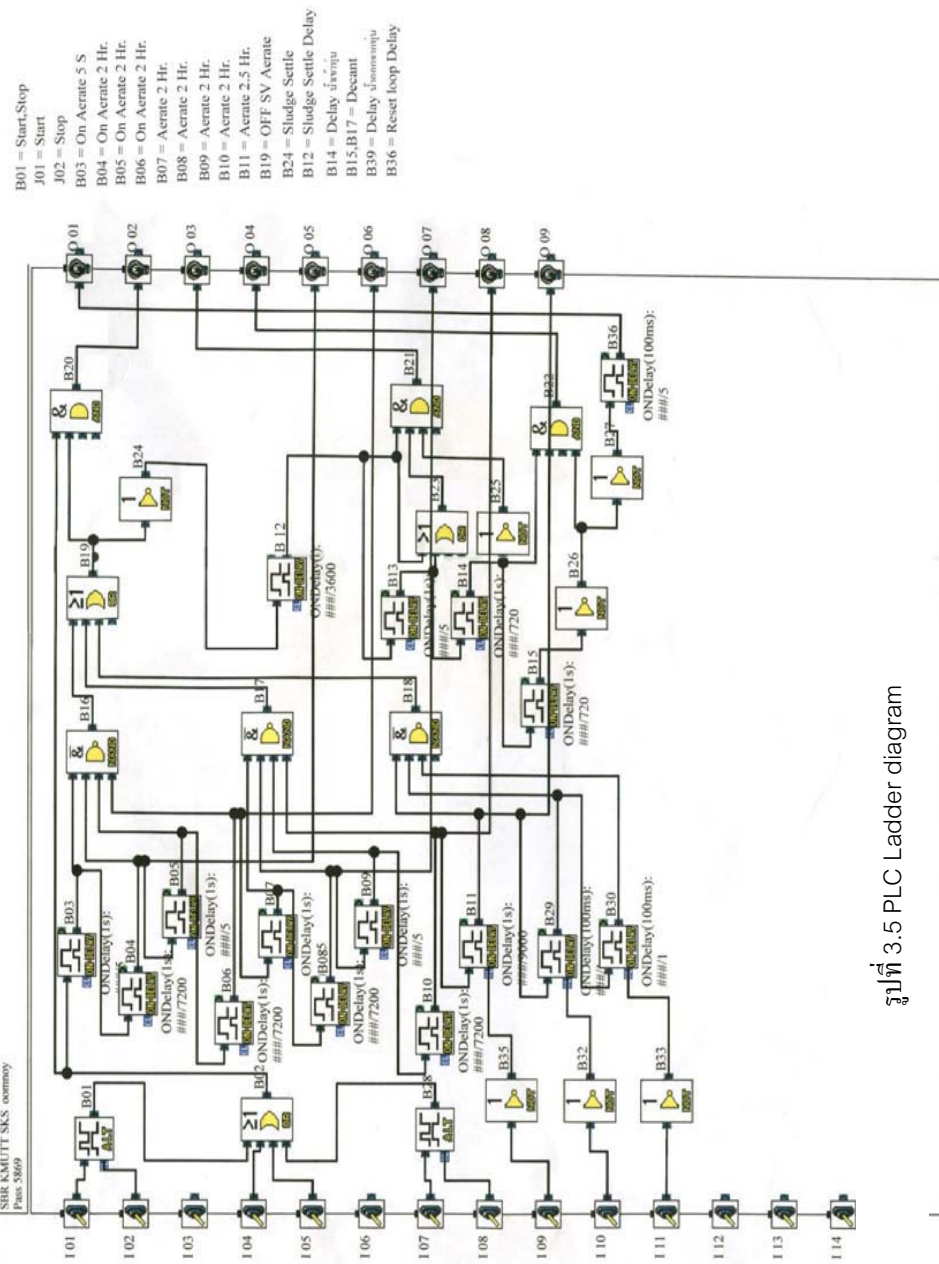
การทำงานของโปรแกรมแสดงดังรูป โดยเริ่มจาก Sensor (I01) รับสัญญาณระดับน้ำภายในถัง SBR แล้วจะไปสั่ง Solenoid valve (O02) ให้เปิดสวิตซ์ Air Blower เริ่มทำงาน จากนั้นให้ Timer (B03 – B11, B29-30) ทำการหน่วงเวลา 10.5 ชั่วโมง พอกرونเวลา 10.5 ชั่วโมง จะสั่ง O02 ให้หยุดทำงาน และ Timer (B12) จะทำการหน่วงเวลา 1 ชั่วโมงเพื่อทำการตักตะกอน และวิงสั่ง Gate (B21) ทำงานเพื่อส่งน้ำเข้าสู่ทุ่น โดยจะสั่ง Solenoid Valve (O03) เปิดให้น้ำไหลเข้าทุ่น จากนั้น Timer (B14) จะหน่วงเวลา 12 นาที (เปิด Solenoid Valve 12 นาที) ในขณะนั้นน้ำก็จะไหลผ่าน weir ผ่านทางสาย Flex ออกสู่ถังเก็บน้ำใส จากนั้น Timer(B14) จะสั่งปิด Solenoid Valve (O03) และ Timer (B15) จะสั่ง Solenoid Valve (O04) เปิดเพื่อเอาอากาศเข้าไปไอล์น้ำในทุ่นออกเพื่อให้ทุ่นลอยขึ้น โดยที่ Timer B15 จะหน่วงเวลาไปอีก 12 นาที จึงจะสั่งปิด Solenoid Valve(O04)

แล้ว Timer B36 จะหน่วงเวลา 0.5 วินาที ส่งสัญญาณไปที่ O01 เพื่อกลับไป reset ที่ I02 เพื่อรอดับน้ำภายในถัง SBR ได้ระดับอีกรึ่งหนึ่งเพื่อทำงาน Loop ใหม่อีกรึ่ง

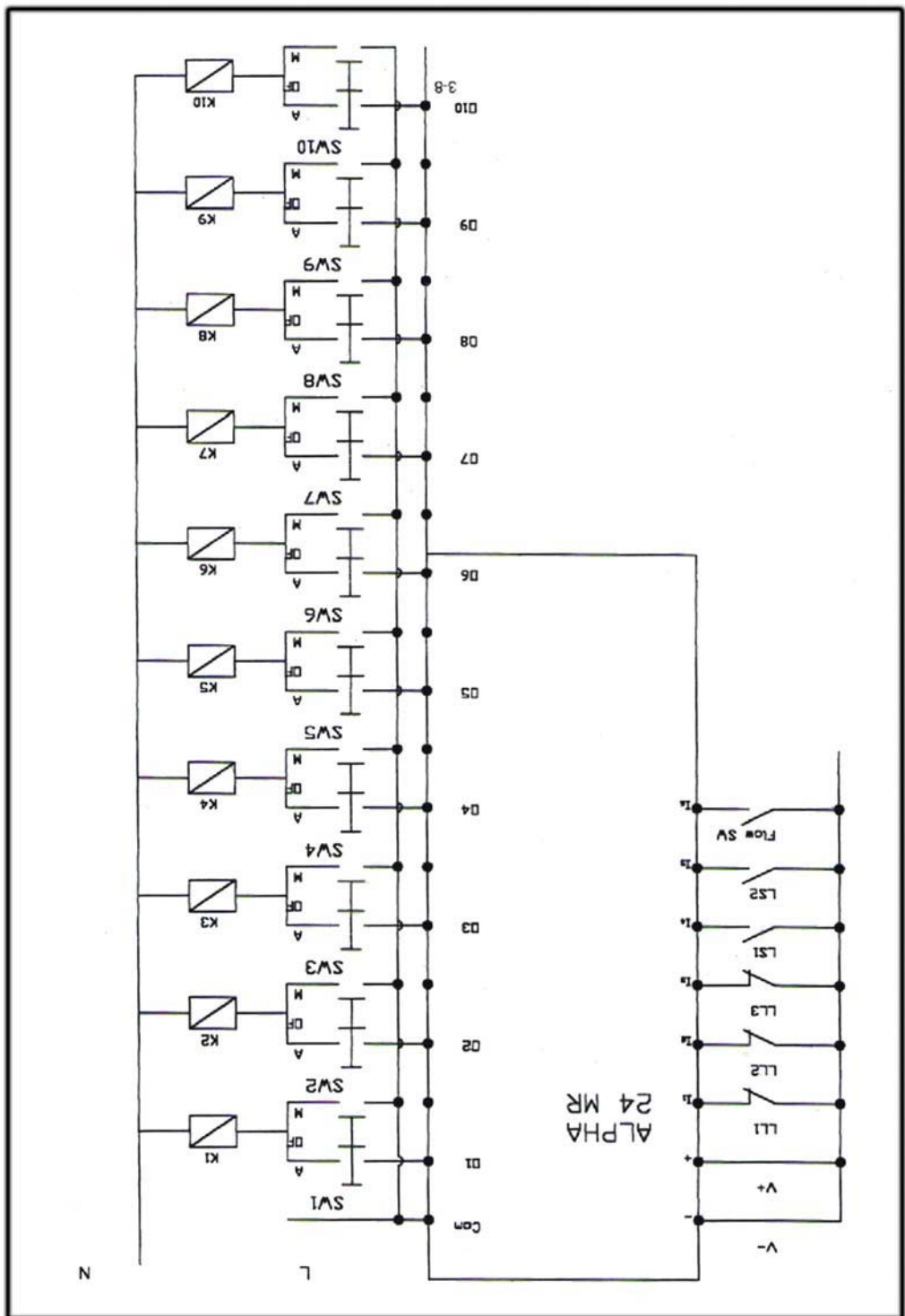
หมายเหตุ O05, O06, O07, O08, O09 จะถูกสั่งให้บอกรเวลาว่าขณะนี้ ดำเนินการเติมอากาศ ไปแล้วกี่ชั่วโมง

3.6 ระบบวงจรไฟฟ้า

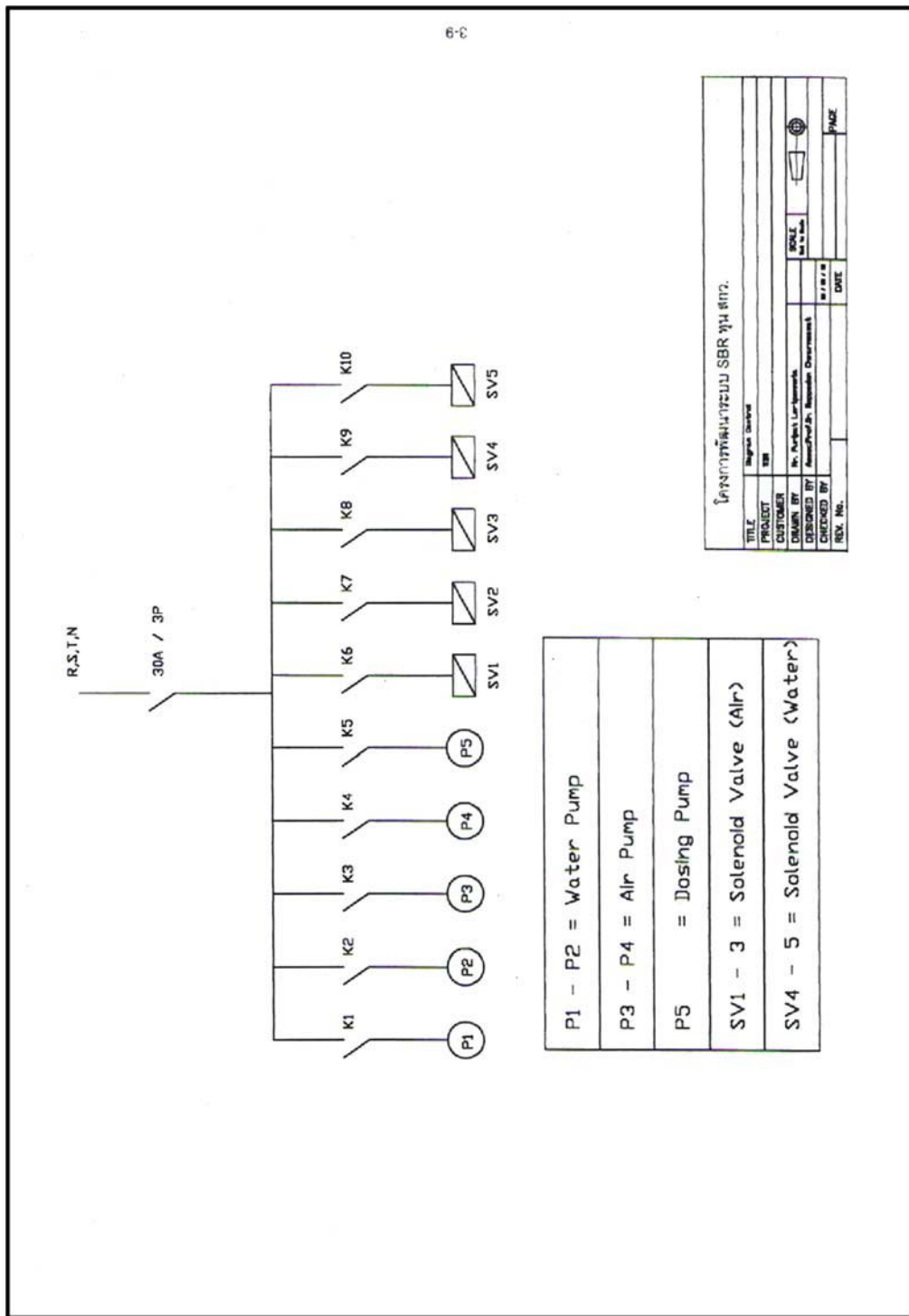
ระบบวงจรไฟฟ้าแสดงไว้ในรูปที่ 3.6 และรูปที่ 3.7



§11 3.5 PLC Ladder diagram



รูปที่ 3.6 รั้งค่าต่อวงจรไฟฟ้าของเครื่องจักรใน PLC



รูปที่ 3.7 รูปแสดงวงจรไฟฟ้ากำลังของระบบ (Electrical power circuit diagram)

3.8 ตู้ควบคุมระบบ SBR (Control panel)

ແພັນໜ້າຕູ້ຄວນຄຸມຮະບົບໄຟຟ້າແລະອຸປະກິດຂອງຮະບົບ SBR ແສດງສຕານະ ຂອງການດຳເນີນການຂອງຮະບົບ ດ້ວຍຫຼອດໄຟຟ້າແລະສວິທີ່ດັ່ງຮາຍກາຣຕ່ອໄປນີ້ (ຕາມຮູບຄ່າຍ ຮູບທີ 3.8 ແລະຮູບເຈີຍຮູບທີ 3.9)

ແພັນໄຟຟ້າຄວບສຸດປະກອບດ້ວຍ (ຈາກຊ້າຍໄປໆຂວາ)

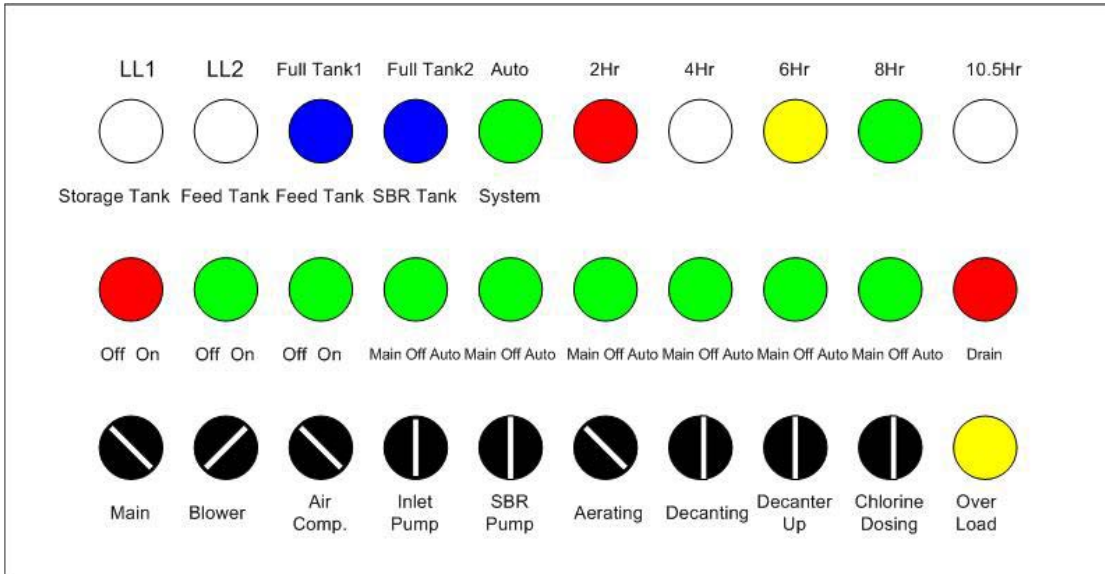
LL1	ແສດງສຕານະນໍ້າໃນບ່ອຮັນນໍ້າເສີຍຫາເຂົ້າ (T1) ແທ້ງ
LL2	ແສດງສຕານະນໍ້າໃນບ່ອພັກນໍ້າເສີຍກ່ອນເຂົ້າ SBR (T2) ແທ້ງ
Full 1	ແສດງສຕານະນໍ້າໃນບ່ອຮັນນໍ້າເສີຍຫາເຂົ້າ (T1) ເຕັມ
Full 2	ແສດງສຕານະນໍ້າໃນບ່ອພັກນໍ້າເສີຍກ່ອນເຂົ້າ SBR (T2) ເຕັມ
Auto	ແສດງສຕານະຮະບົບ SBR ກໍາລັງທຳງານແບນອັດໂນມັດ
2 Hr	ແສດງສຕານະການທຳງານໜ້າໂມງ 2 ຂອງຮະບົບ SBR
4 Hr	ແສດງສຕານະການທຳງານໜ້າໂມງ 4 ຂອງຮະບົບ SBR
6 Hr	ແສດງສຕານະການທຳງານໜ້າໂມງ 6 ຂອງຮະບົບ SBR
8 Hr	ແສດງສຕານະການທຳງານໜ້າໂມງ 8 ຂອງຮະບົບ SBR
10.5 Hr	ແສດງສຕານະການທຳງານໜ້າໂມງ 10.5 ຂອງຮະບົບ SBR

ແພັນສວິທີ່ເຄວຄ່າງສຸດປະກອບດ້ວຍ

Main	off/on ປຶດແລະເປີດຮະບົບ SBR
Blower	off/on ປຶດແລະເປີດ Air Blower
Air Comp	off/on ປຶດແລະເປີດAir Compressor
Inlet pump	manual/off/auto ຄວບຄຸມປຶ້ມນໍ້າເສີຍ P1 ດ້ວຍຄນ/ປຶດ/ຄວບຄຸມປຶ້ມນໍ້າເສີຍ P1 ດ້ວຍຮະບົບອັດໂນມັດ
SBR pump	manual/off/auto ຄວບຄຸມປຶ້ມນໍ້າເສີຍ P2 ດ້ວຍຄນ/ປຶດ/ຄວບຄຸມປຶ້ມນໍ້າເສີຍ P2 ດ້ວຍຮະບົບຍັດໂນມັດ
Aerate	manual/off/auto ຄວບຄຸມການເຕີມອາກາສ ດ້ວຍຄນ/ປຶດ/ຄວບຄຸມການເຕີມອາກາສ ດ້ວຍຮະບົບ ອັດໂນມັດ
Decanter down	manual/off/auto ຄວບຄຸມການຈົມລົງຂອງ Decanter ດ້ວຍຄນ/ປຶດ/ຄວບຄຸມຄວບຄຸມການຈົມລົງຂອງ Decanter ດ້ວຍຮະບົບອັດໂນມັດ
Decanter up	manual/off/auto ຄວບຄຸມກາລອຍໜີ້ຂອງ Decanter ດ້ວຍຄນ/ປຶດ/ຄວບຄຸມຄວບຄຸມກາລອຍໜີ້ຂອງ Decanter ດ້ວຍຮະບົບອັດໂນມັດ
Chlorine	manual/off/auto ຄວບຄຸມການເຕີມຄລອຣິນ ດ້ວຍຄນ/ປຶດ/ຄວບຄຸມຄວບຄຸມການເຕີມຄລອຣິນ ດ້ວຍຮະບົບ ອັດໂນມັດ
Overload	ແສດງສຕານະການມີກະແສໄຟຟ້າເກີນໃນຮະບົບ SBR



รูปที่ 3.8 รูปถ่ายแผงหน้าตู้ควบคุมระบบไฟฟ้าและอุปกรณ์ของระบบ SBR



รูปที่ 3.9 ผังแสดงแผงหน้าตู้ควบคุมระบบไฟฟ้าและอุปกรณ์ของระบบ SBR

โดยมีรายละเอียดอุปกรณ์ของระบบເອສນິອາຣ໌ ແສດງໄວ້ໃນບັກທີ 4

บทที่ 4

อุปกรณ์ของระบบแอลบีโอาร์

รายละเอียด อุปกรณ์ (Equipment Specification) และส่วนประกอบของอุปกรณ์สำหรับระบบแอลบีโอาร์ ที่ได้จากการออกแบบตามบทที่ 3 และที่จัดซื้อได้ตามคุณสมบัติที่กำหนด แสดงไว้ดังต่อไปนี้

4.1 ระบบถัง

4.1.1 บ่อรับน้ำเสียขาเข้า (Influent Sump) T1

รูปทรง	ทรงกระบอก
	เส้นผ่าศูนย์กลาง 1 เมตร สูง 1.2 เมตร ฝังดิน
วัสดุ	ตัวถังเหล็ก (Mild steel) หนา 4 มิลลิเมตร
	การทำสีเคลือบด้วย Epoxy 2 ชั้น นอก/ใน

4.1.2 บ่อพักน้ำเสียก่อนป้อนขาเข้า SBR (Waste Water Storage Tank) T2

รูปทรง	ทรงกระบอก
	เส้นผ่าศูนย์กลาง 1 เมตร สูง 1.2 เมตร ฝังดิน
วัสดุ	ตัวถังเหล็ก (Mild steel) หนา 4 มิลลิเมตร
	การทำสีเคลือบด้วย Epoxy 2 ชั้น นอก/ใน

4.1.3 ถังปฏิกิริย SBR (SBR Tank) T3

รูปทรง	สี่เหลี่ยม ส่วนล่างเป็นรูปทรงปริมาตรมาก
ขนาด	กxยxส(ตร.) 2x2.5x2.5 ลบ.ม.
	ความลาดชันส่วนกัน 45°
วัสดุ	ตัวถังเหล็ก (Mild steel) หนา 4 มิลลิเมตร ฐาน/โครงสร้างเหล็กจาก 1 ½" x 4.5 มิลลิเมตรและเหล็ก C-shape 3"

การทำสีเคลือบด้วย Epoxy 2 ชั้น นอก/ใน

4.1.4 ถังย่อยตะกอน (Sludge Digestor Tank) T5

รูปทรง	สี่เหลี่ยม ส่วนล่างเป็นรูปทรงปริมาตรมาก
ขนาด	กxยxส(ตร.) 1.22 x 1.22 x 2.44 ลบ.ม.
	ความลาดชันส่วนกัน 45°
วัสดุ	ตัวถังเหล็ก (Mild steel) หนา 4 มิลลิเมตร ฐาน/โครงสร้างเหล็กจาก 1 ½" x 4.5 มิลลิเมตรและเหล็ก C-shape 3"

การทำสีเคลือบด้วย Epoxy 2 ชั้น นอก/ใน

4.1.5 ถังพักน้ำใสก่อนทิ้ง (Final effluent check tank) T6

รูปทรง	สี่เหลี่ยม
ขนาด	กว้างxยาว(ตร.ม.) 1.22x1.22x2.44 ลบ.ม.
วัสดุ	ตัวถังเหล็ก (Mild steel) หนา 4 มิลลิเมตร ฐาน/โครงสร้างเหล็กจาก 1 ½" x 4.5 มิลลิเมตรและเหล็ก C-shape 3"
	การทำสีเคลือบด้วย Epoxy 2 ชั้น นอก/ใน

4.2 ระบบปั๊ม

4.2.1 ปั๊มน้ำเสีย P1

Type	:	Submersible
Capacity	:	6 m ³ /hr at 5 mH
Manufacturer / Model	:	Grundfos, Model KP250-A-1
Material	:	Housing/Impeller: SS304/SS304
Power	:	480 watt; 1phase / 220V / 50Hz

4.2.2 ปั๊มน้ำเสีย P2

Type	:	Multi-stage
Capacity	:	3 m ³ /hr at 27 mH min
Manufacturer /Model	:	Grundfos, Model CH 2 -50
Power	:	1.05 HP; 1phase / 220V / 50Hz

4.2.3 ปั๊มเติมคลอรีนน้ำ (Sodium hypochlorite Dosing Pump) P3

Type	:	Diaphragm Dosing Pump
Capacity	:	1.7 L/hr
Manufacturer /Model	:	Prominent CONb 1201
Power	:	1phase / 220V / 50Hz

4.3 เครื่องเติมอากาศและเครื่องอัดอากาศ (Air Blower and Air Compressor)

4.3.1 เครื่องเติมอากาศ (Air Blower) M1

Type	:	Positive displacement, rotary
Manufacturer /Model	:	ITO, IRS-40A
Capacity	:	0.57 m ³ /min
Pump Speed	:	1910 rpm
Power	:	2.2 KW ; 3 phases / 380 V / 50 Hz

4.3.2 គ្រឿងអ៊ុកតាម (Air Compressor) M2

Type : Positive displacement
 Manufacturer : SWAN with Mitsubishi motor
 Power : ½ HP, 1phase / 220 V / 50 Hz

4.4 Air Diffuser

Amount : 5 sets
 Type : Circular fine Bubble
 Capacity : 5 m³/min per set

4.5 Decanter

Type : Float with floating free board adjusted by filled water weight.
 With air – water replacement action for maximum clarification effect.

Capacity : 10 m³/hr drainage rate
 Material : SS304, 1.5 mm. Thickness
 Detail : Shown as per calculation and drawing

4.6 Air Lift Pump (for Sludge Transfer)

Size : 3 inch pipe, PVC

4.7 Static Mixer

Size : 1 ½ inch diameter x 0.5 m, Flange ends

4.8 Piping and Fitting

4.8.1 Within the tank system : PVC (ពំន័រឃីម ឯកសារណា)
 Valves : PVC and Bronze

4.8.2 from T2 to T3 : PE Class PN6.3 diameter. 40 mm, 200 m length

4.9 Control System

4.9.1 PLC (Programmable Logical Controller)

Manufacturer /Model : Mitsubishi, AL2-24MR-D

4.9.2 Control Valves (Details see PFD)

Two of 3/8 inch 220V Solinoid valves, for air

One of 1 inch 220V Solinoid valve, for air

One of 1 ½ inch 220V Solinoid valve, for air

Two of ¾ inch 220V Solinoid valve, for water

Two of 1 ½ inch 220V Solinoid valve, for water

4.9.3 Level Switches

Three Electrode type with relay

Five Float type

4.9.4 Control Cubicle

Out door type, double doors

Size 900 mm x 400 mm x 370 mm

Material : Carbon Steel Sheet 1.5 mm thick

4.10 Instruments

4.10.1 pH monitor

Manufacturer and Model : Yokogawa, Model PH402G-E-2-E/U

PI control, Temp. compensation, IP65 Field mountable case, two mA output, four relays, digital display, 220V

With pH sensor, Model FU2-05-T1-NPT, immerse type 5m cable

4.10.2 DO monitor

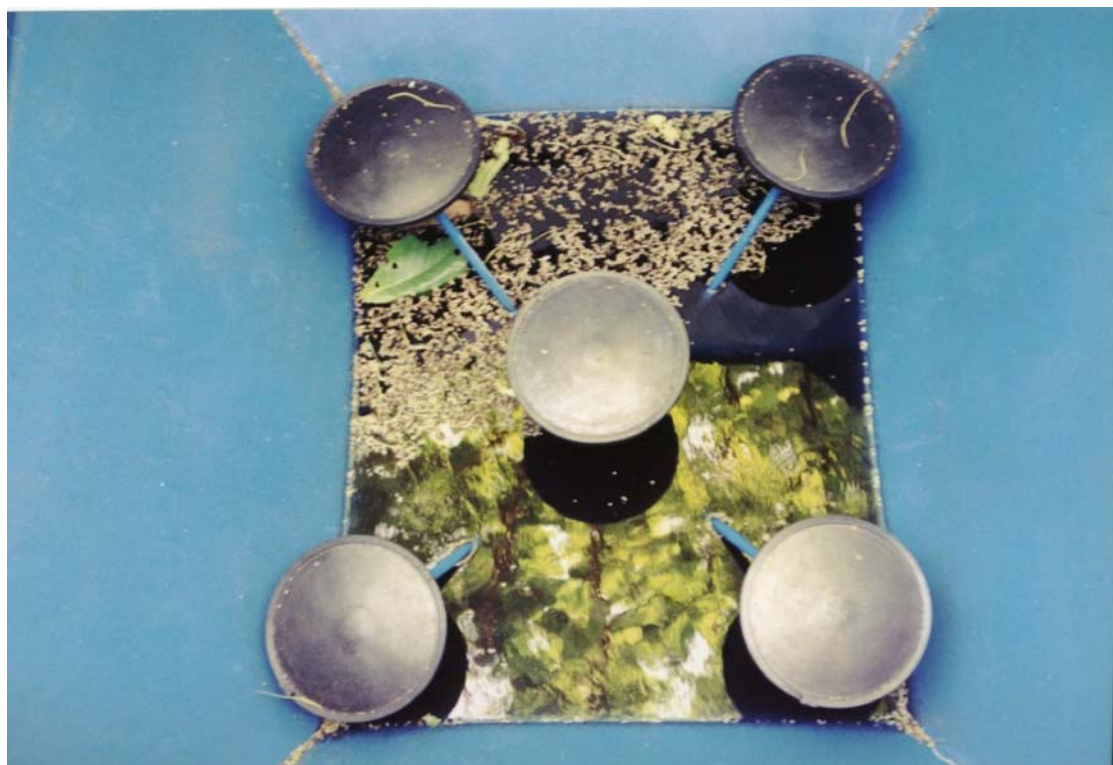
Manufacturer and Model: Yokogawa, Model DO402G-E-2-E/U

PI control,IP65 Field mountable case, two mA output, four relays, digital display, 220V

With DO sensor, DO30-S50-03, immerse type 3m cable



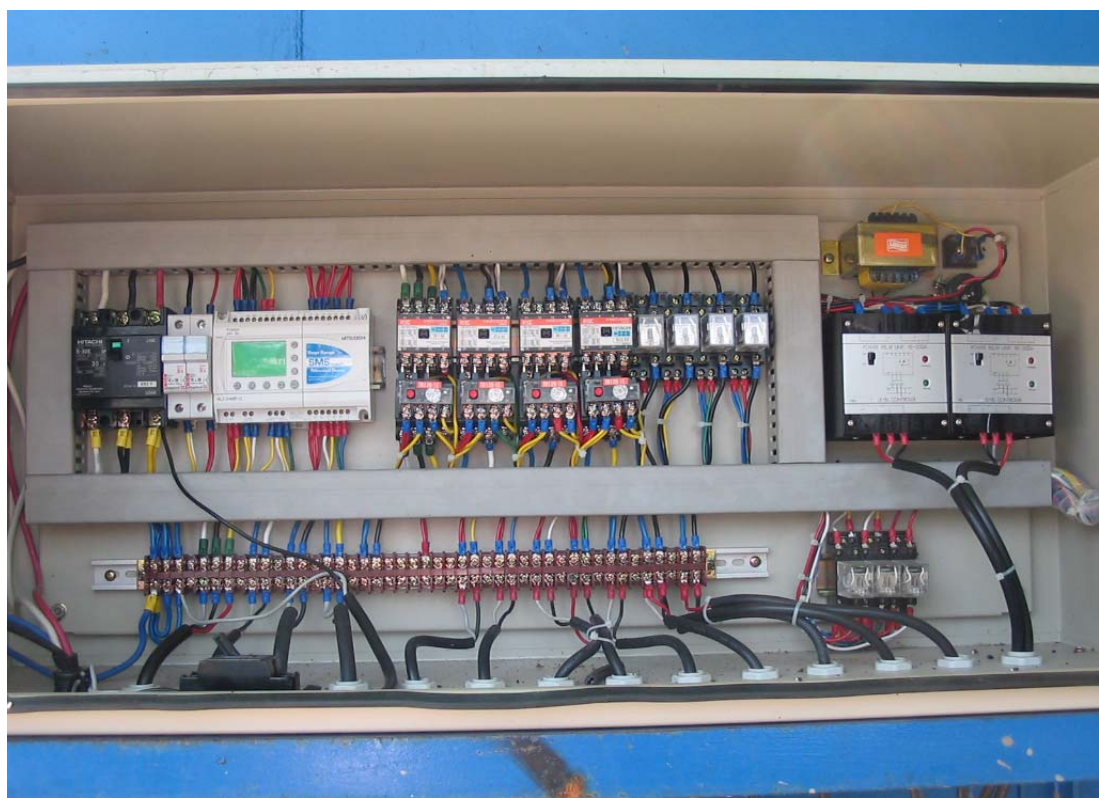
รูปที่ 4.1 รูปถ่ายระบบ SBR ติดตั้ง ณ บริเวณของโรงงานบริษัทศรีสุทธิคุล จำกัด



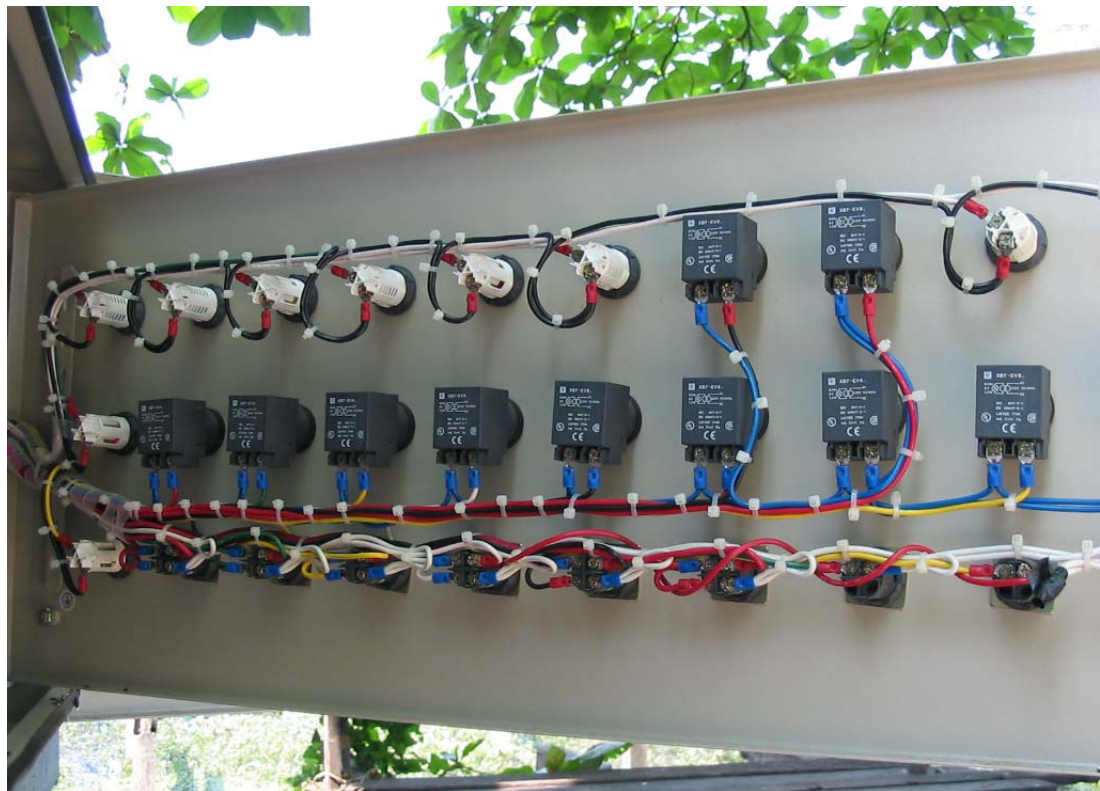
รูปที่ 4.2 รูปถ่ายแสดงการติดตั้ง Air Diffusers ภายในถัง SBR (T3)



รูปที่ 4.3 รูปถ่ายตู้ควบคุมไฟฟ้าและอุปกรณ์ของระบบ SBR



รูปที่ 4.4 รูปถ่ายแพงวงจรควบคุม ภายในตู้ควบคุมไฟฟ้าและอุปกรณ์ของระบบ SBR



รูปที่ 4.5 รูปถ่ายการต่อวงจรด้านหลังสวิตช์ควบคุม ของแผงหน้าของตู้ควบคุม

บทที่ 5

การทดลอง

การทดลองเพื่อศึกษาการดำเนินงานของระบบ เอสบีอาร์ เน้นที่ตัวแปรหลักหรือพารามิเตอร์ที่มีผลต่อการดำเนินงานของระบบในการกำจัด BOD ของน้ำเสีย รวมถึงการศึกษาคุณสมบัติด้านการกำจัดสารประกอบในโตรเจนในน้ำเสียอันเป็นจุดเด่นประการหนึ่งของระบบนี้

การศึกษาประกอบด้วยการศึกษาผลกระบวนการตัวแปรดังต่อไปนี้ คือ (1) F/M ratio (2) BOD loading

(3) อัตราส่วนเวลา Anoxic Fill/ Aeration และ (4) DO

รายละเอียดแสดงตามตารางที่ 5.1

พร้อมผลการทดลองนำเสนอไว้ในบทที่ 6

ตารางที่ 5.1 รายละเอียดของแผนการทดลอง

ทดลองที่	ตัวแปร	ค่าที่กำหนดคงที่	สิ่งที่ต้องการศึกษา
1	SBR ที่ Pre-designed parameter	ตาม 3.1	ศึกษาการทำงานของระบบโดยรวม
2	F/M ratio	BODin, อัตราการไอล, θ_c BODout , Oxygen requirement (SOR) (บันทึก DO แต่ไม่ควบคุม)	ผลของ F/M ในสมการ $F/M = BOD \text{ input} (\theta_c \times MLVSS)$
3.1 3.2 3.3 3.4	BOD loading 4 ค่า โดยการ ปรับอัตราการไอล	BODin,MLVSS,BODout, (บันทึก DO แต่ไม่ควบคุม)	ผลของ θ (HRT) ในสมการ $F/M = BOD \text{ input} /(\theta_c \times MLVSS)$
4.1 4.2 4.3 4.4	อัตราส่วนเวลา Anoxic Fill/ Aeration Time 4 ค่า	ค่า Mean MLVSS ,ค่า mean ของอัตราการไอล (บันทึก DO แต่ไม่ควบคุม)	เวลา Anoxic Fill / Aerobic ที่มีต่อ ประสิทธิภาพของระบบ โดยเฉพาะ สำหรับ การกำจัด TKN
5.1 5.2 5.3 5.4	DO 4 ค่า โดยการปรับค่า Air Flow Rate	BODin,BODout,MLVSS, cycle & time, อัตราการไอล (ในรูปของ θ_c)	ผลของ DO ในการทำงานของระบบ

บทที่ 6

ผลการทดลอง

การทดลองประกอบไปด้วย 6 ชุดการทดลองคือ

- (1) การทดลองที่ 1 การเริ่มเดินระบบ SBR ก่อนเข้าสภาวะคงที่ (Start up experiments)
- (2) การทดลองที่ 2 การศึกษาผลกระทบของ F/M ratio ต่อการทำงานของระบบ SBR
- (3) การทดลองที่ 3 การศึกษาผลกระทบของ BOD Loading ต่อการทำงานของระบบ SBR
- (4) การทดลองที่ 4 การศึกษาผลกระทบของ Sequence ของวงจรเวลาในระบบ SBR ต่อการกำจัดสารประกอบในโทรศัพท์โดยระบบ SBR
- (5) การทดลองที่ 5 การศึกษาผลกระทบของ DO ต่อการทำงานของระบบ SBR
- (6) การทดลองที่ 6 การศึกษาประสิทธิภาพของคลอรีนในการทำลายจุลินทรีย์ในน้ำทึบที่บำบัดด้วยระบบ SBR แล้ว

6.1 การทดลองที่ 1 การเริ่มเดินระบบ SBR ก่อนเข้าสภาวะคงที่ (Start up experiments)

ในการเริ่มการเดินระบบนี้เป็นช่วงเดือน กันยายน – ตุลาคม 2546 เป็นปลายฤดูฝนแต่ช่วงมีฝนตกชุกมาก ประกอบกับระบบรองรับน้ำเสียจากกระบวนการ ไม่ได้แยกจากระบบรองรับน้ำฝนอีกทั้งเป็นช่วงเริ่มการทดลองผลิต ไม่มีน้ำเสียสมำเสมอ จึงไม่ได้วัดค่าองค์ประกอบของน้ำเสีย แต่ผู้嫩น้ำที่จะเพิ่มค่า MLVSS ให้เข้าใกล้ค่าที่ใช้ในการออกแบบก่อน ($4,000 \text{ mg/L}$) โดยมีขั้นตอนการดำเนินการดังนี้

- (1) เติมน้ำเสีย ปริมาตรประมาณ $5 \text{ m}^3/\text{วัน}$
- (2) ในวันที่ 1 ของการดำเนินการ เริ่ม Seed ด้วยจุลินทรีย์จากระบบ SBR ของโรงงานปลากระป่อง ซึ่งมีองค์ประกอบของน้ำเสียในลักษณะคล้ายคลึงกัน ระบบ SBR ดังกล่าวอยู่ในสภาพการดำเนินการปกติซึ่งความมีค่า MLVSS $3,000-4,000 \text{ mg/L}$ ปริมาตร 50 ลิตร (คิดเป็น 1 % Seeding โดยปริมาตร)(ไม่ได้มีการวัดค่า MLVSS ของ Seed)
- (3) เติมอากาศ $21 \text{ ชม}/\text{วัน}$
- (4) ตอกตะกอน 1 ชม.
- (5) ปล่อยน้ำใสออก (Decanting) ประมาณ 4 m^3 ใช้เวลาประมาณ 1 ชม.
- (6) เติมน้ำเสียใหม่ 1 ชม.
- (7) เมื่อดำเนินการไปช่วงหนึ่งพบว่าค่า MLVSS ไม่ค่อยเปลี่ยนแปลง ทั้งนี้เนื่องจากน้ำเสียที่เข้ามาเจือจางมากจึงเติมน้ำเสียเพิ่มด้วยปริมาณที่ระบุในตารางที่ 6.1

ตารางที่ 6.1 การเริ่มเดินระบบ SBR ก่อนเข้าสภาวะคงที่ (Start up experiments, MLVSS – SV₃₀ calibration)

วัน/เดือน/ปี ที่เก็บตัวอย่าง	MLVSS (mg/l)	MLVSS (mg/l) , calibrated From MLVSS versus SV ₃₀ (Graph ในรูปที่ 6.1)	SV ₃₀	SVI
15/09/46	337	-	70	208
17/09/46	-	130	70	537
19/09/46	-	254	80	315
22/09/46	-	130	70	537
24/09/46	-	254	80	315
26/09/46	-	254	80	315
29/09/46	-	254	80	315
1/10/46*	-	130	70	537
3/10/46	-	254	80	315
6/10/46	-	254	80	315
8/10/46	-	254	80	315
10/10/46	-	254	80	315
12/10/46	-	254	80	315
13/10/46**	--	748	120	160
14/10/46**	CODin 679 mg/l	1118	150	134
15/10/46**	-	1365	170	125
16/10/46**	-	1736	200	115
17/10/46**	-	1736	200	115
18/10/46	-	1983	220	111
19/10/46***	-	2353	250	106
20/10/46	-	2353	250	106
21/10/46	2,160	2353	250	106
	BODin 851 mg/L			

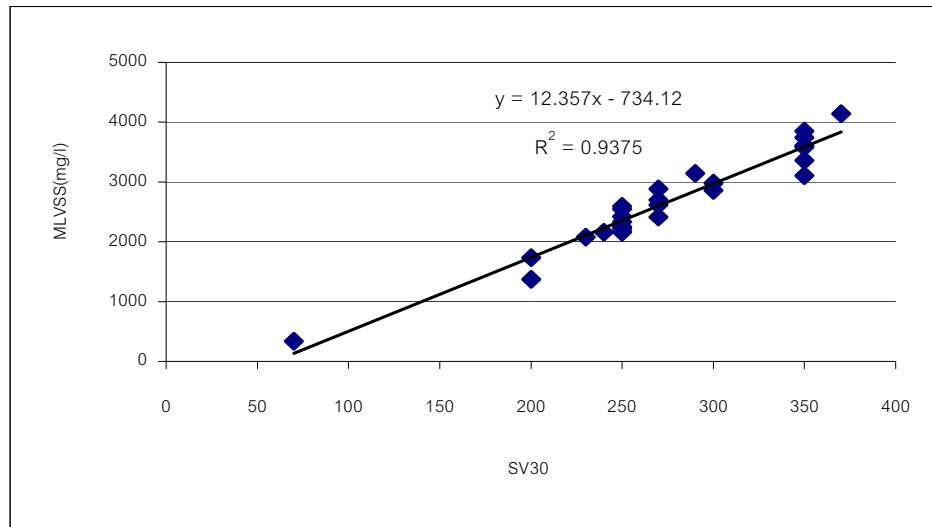
หมายเหตุ

* โรงงานเริ่มดำเนินการผลิตและเริ่มน้ำเสียไหลเข้าสู่ระบบแต่ยังไม่สมบูรณ์

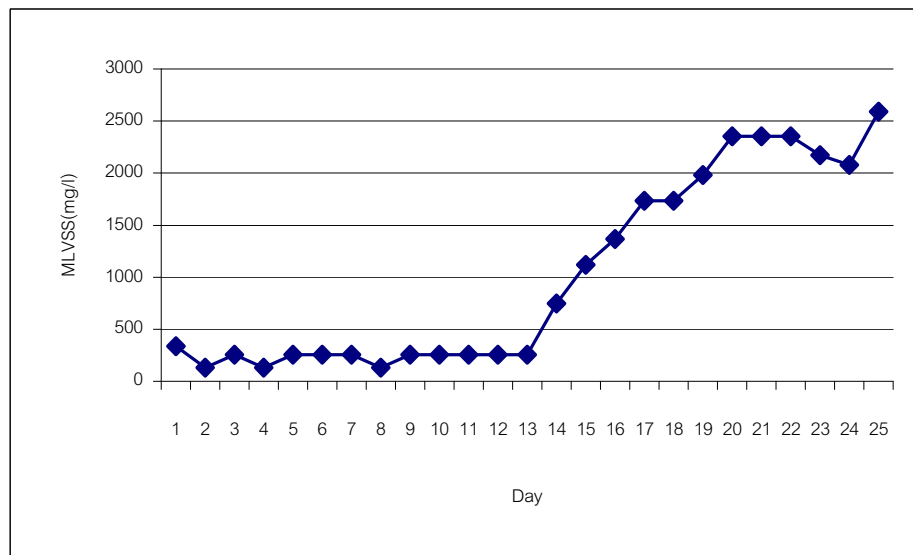
** เนื่องจากเชื้อในระบบไม่ค่อยเพิ่มจำนวนจึงได้เติมน้ำให้คงไปในระบบวันละ 60 กก. ต่อวัน

ตั้งแต่วันที่ 13 ตุลาคม 2546 ถึงวันที่ 17 ตุลาคม 2546

*** พิจารณาจากค่า SV₃₀ ที่สูงขึ้นและเริ่มคงที่ และเมื่อพิจารณาจากสภาพชลินทรีย์ภายในถัง SBR พบว่ามีความหนาแน่นเพิ่มขึ้นและเมื่อพิจารณาช่วงในการตกลงบนพบว่ามีการรวมตัวกันของตะกอนชลินทรีย์อย่างรวดเร็ว และมีประสิทธิภาพจึงเห็นควรเริ่มเข้าสู่ cycle การทำงานของระบบ SBR คือทำงานวันละ 2 cycle โดยมีระยะเวลา cycle ละ 12 ชั่วโมง และเริ่มการทดลองแรกในวันที่ 21 ตุลาคม 2546



รูปที่ 6.1 กราฟแสดงความสัมพันธ์ระหว่างค่า MLVSS กับ SV₃₀ (ข้อมูลจากตาราง 6.1)



รูปที่ 6.2 การเริ่มต้นนินภัยระบบ SBR

6.2 การทดลองที่ 2 การศึกษาผลกระบวนการของ F/M ratio ต่อการทำงานของระบบ SBR

การทดลองนี้เพื่อศึกษาผลกระบวนการของ F/M ratio ที่มีต่อการทำงานของระบบ SBR โดยค่า F/M ratio นี้ เป็นพารามิเตอร์ในการออกแบบที่สำคัญด้วยหนึ่งของระบบบำบัดน้ำเสียในกลุ่มกระบวนการตะกอนเร่ง (Activated Sludge Process) และกระบวนการตะกอนเร่งดัดแปลง (Modified Activated Sludge Process) ซึ่ง SBR ก็ขึ้นอยู่ในประเภทหลังนี้

ตารางที่ 6.2 แสดงการเปรียบเทียบระหว่างค่าพารามิเตอร์ในการออกแบบ ที่ใช้ในโครงการนี้ ในการออกแบบที่ใช้ในโครงการนี้อยู่ในช่วงที่แนะนำโดย Metcalf & Eddy ยกเว้นค่า BOD Volumetric Loading เท่านั้นที่โครงการนี้กำหนดไว้สูงกว่าถึงประมาณ 4 เท่า ซึ่งจะต้องพิจารณาผลที่ได้ต่อไป

ตารางที่ 6.2 การเปรียบเทียบค่าพารามิเตอร์ในการออกแบบ

ค่าพารามิเตอร์ ในการออกแบบระบบ SBR	F/M ratio Day ⁻¹	Volumetric Loading Kg BOD _s /m ³ Day	MLVSS mg/L	Retention Time Hr.	BOD Removal Eff. %
ค่าที่ใช้ในโครงการนี้ ตามการออกแบบ	0.2	0.80	4,000	30	98.0%
ค่าที่แนะนำโดย Metcalf&Eddy	0.05-0.30	0.08-0.24	1,500-5,000	12-50	85-95

เงื่อนไขสภาวะของการทดลอง :

ตัวแปร MLVSS 4 ค่า โดยมีประมาณการค่า MLVSS mean = 2,000 mg/l

ค่าที่กำหนดคงที่ ปริมาตรน้ำเสีย/ Cycle

และ อัตราการเติมอากาศ(มีการบันทึกค่า DO แต่ไม่มีการควบคุม DO โดยอัตโนมัติ)

ค่าที่ควบคุมไม่ได้ BOD in

ค่าที่เปลี่ยนจากการดำเนินการ BOD out

สิ่งที่ต้องการศึกษา ผลของ F/M ratio ในสมการ $F/M = \text{BOD}_{\text{input}} / (\theta_c * \text{MLVSS})$

ตารางที่ 6.3 ผลกระทบของ F/M ratio ต่อการทำงานของระบบ SBR

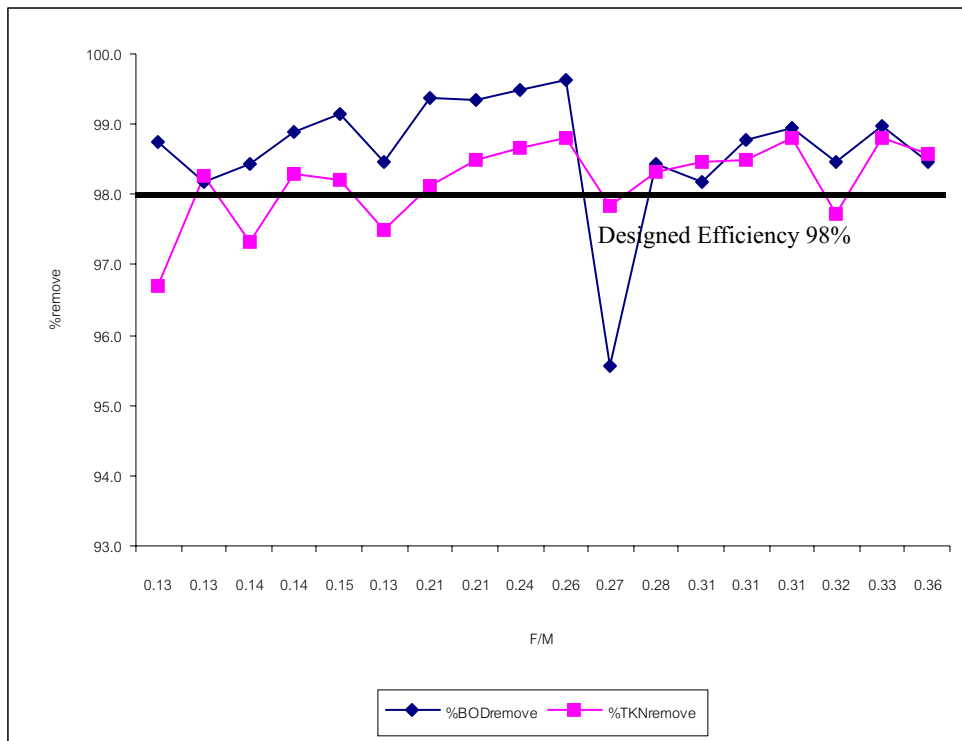
Design efficiency 98 %

MLVSS (mg/l)	F/M (day ⁻¹)	BOD Influent (mg/l)	BOD Effluent (mg/l)	% BOD removal	COD Influent (mg/l)	COD Effluent (mg/l)	% COD removal	TKN Influent (mg/l)	TKN Effluent (mg/l)	% TKN removal
อัตราการป้อนน้ำเสีย 2.5 m³/cycle										
2,080	0.13	343	4.3	98.7	697	34	95.1	74.2	2.45	96.7
2,160	0.32	851*	13	98.5	1,283	67	94.8	143.36	3.27	97.7
2,173	0.17	383	6	98.4	566	57	89.3	86.1	2.31	97.3
2,590	0.13	423	7.7	98.2	710	40	94.4	100.1	1.75	98.3
อัตราการป้อนน้ำเสีย 5.0 m³/cycle										
2,160	0.27	360	16	95.6	526	47	91.1	80.5	1.75	97.8
2,220	0.36	495	7.6	98.5	883	72	91.4	103.6	1.47	98.6
2,333	0.31	451	5.5	98.8	620	49	92.1	92.4	1.4	98.5
2,700	0.33	559	5.8	99.0	939	49	94.8	104.3	1.26	98.8
2,860	0.31	559	5.9	98.9	1,019	37	96.4	117.6	1.4	98.8
2,885	0.28	500	7.8	98.4	1,146	36	96.9	103.6	1.75	98.3

ข้อสังเกต * Max BOD ในช่วงการทดลองนี้ เป็น 851 mg/L

ข้อมูลจากผลกระทบในตารางที่ 6.3 นำเสนอไว้ในกราฟรูปที่ 6.2 แสดงให้เห็นว่าในค่า F/M ratio ในช่วงของการศึกษาในโครงการนี้คือระหว่าง 0.13-0.36 นั้น ไม่มีผลกระทบที่แตกต่างชัดเจนนักต่อประสิทธิภาพของการกำจัด BOD และ TKN

ผลการทดลองโดยรวม แสดงให้เห็นว่าระบบมีประสิทธิภาพการบำบัดเป็นไปตามการออกแบบโดยมีค่าประสิทธิภาพเฉลี่ยของการกำจัด BOD สูงกว่าที่ออกแบบไว้ (98%) และมีค่า BODout และ CODout ผ่านเกณฑ์มาตรฐานน้ำทึ้งตามประกาศกรมโรงงานอุตสาหกรรม ฉบับที่ 2 (พ.ศ.2539) เรื่องกำหนดคุณลักษณะน้ำทึ้งที่ระบบอาจออกโรงงาน



รูปที่ 6.3 ผลของค่า F/M ratio ต่อการดำเนินการของระบบ SBR

การทดลองที่ 3 การศึกษาผลกระทบของ BOD loading ต่อการทำงานของระบบ SBR

เงื่อนไขสภาพของการทดลอง

ตัวแปร	อัตราการไหล 4 ค่า ค่า Mean = $5 \text{ m}^3/\text{cycle}$
ค่าที่กำหนดคงที่	BODin, BODout, MLVSS (บันทึก DO แต่ไม่ควบคุม), ปริมาณการเติมอากาศ
สิ่งที่ต้องการศึกษา	ผลกระทบของ BOD loading

ชี้งขึ้นอยู่กับค่า Θ_c (HRT) ในสมการ $F/M = BOD_{input} / (\Theta_c * MLVSS)$
และค่า BOD_{input}

เนื่องจากขนาดของถังปฏิกรณ์ในระบบ SBR สามารถรับปริมาณน้ำเสียได้สูงสุดไม่เกิน $5 \text{ m}^3/\text{วัน}$ ทางคณะผู้จัดโครงการจึงทำการปรับเปลี่ยนค่าอัตราการไหล 4 ค่า ดังนี้คือ $2.5 \text{ m}^3/\text{วัน}, 3 \text{ m}^3/\text{วัน}, 4 \text{ m}^3/\text{วัน}$ และ $5 \text{ m}^3/\text{วัน}$ ซึ่งได้ผลการทดลองดังตารางที่ 6.4 จะเห็นได้ว่าประสิทธิภาพการบำบัดสูงมากเนื่องจากระบบมีความยืดหยุ่นสูง แสดงให้เห็นชัดเจนໄว้เป็นกราฟเท่งในรูปที่ 6.4

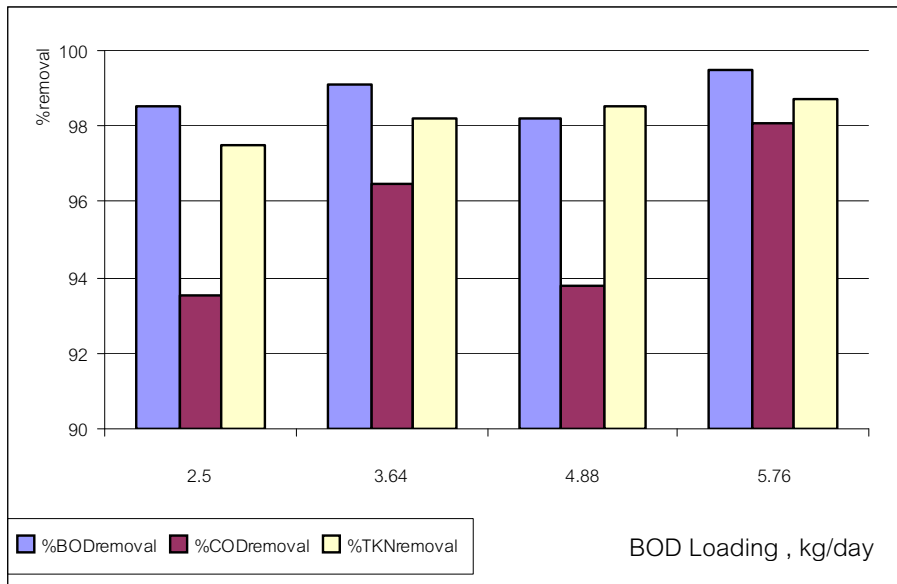
การเติมอากาศที่สูงกว่าทางทฤษฎีทำให้ประสิทธิภาพการกำจัดสารอินทรีย์เป็นไปได้อย่างมีประสิทธิภาพ เมื่อพิจารณาจากรูปที่ 6.5a อันเป็นกราฟแสดงค่า DO ในถังปฏิกรณ์ตลอดระยะเวลาในการบำบัด 1 Cycle จะเห็นได้ว่าระยะเวลาเติมอากาศนานเกินพอ ตำแหน่งของ Steady saturated DO อันเป็นตำแหน่งที่ควรจะหยุดการเติมอากาศเพื่อเข้าสู่ช่วงตกลงตัว (Settling) ข้างสามารถเลื่อนมาทางซ้ายมือของกราฟได้อีกหลายชั่วโมง หรืออีกนัยหนึ่งก็คือสามารถจะเพิ่มจำนวน Cycle ต่อวันให้สูงขึ้นได้ในสภาวะ BOD เท่าเดิม

ตารางที่ 6.4 การศึกษาผลกระทบของ BOD loading ต่อการทำงานของระบบ SBR

Flow (m^3/cycle)	BOD Loading kg/day	BOD Inf. (mg/l)	BOD Eff. (mg/l)	% BOD Rem.	COD Inf. (mg/l)	COD Eff. (mg/l)	% COD Rem.	TKN Inf. (mg/l)	TKN Eff. (mg/l)	% TKN Rem.
2.5	2.5	500	7.8	98.5	814	50	93.5	100.9	2.4	97.5
3	3.65	608	5.1	99.1	1,132	35.5	96.5	95.2	1.71	98.2
4	5.77	721	3.5	99.5	1,604	29	98.1	126	1.68	98.7
5	4.87	487	8.1	98.2	856	48.3	93.8	100.3	1.5	98.5

หมายเหตุ

- (1) ค่าพารามิเตอร์ต่างๆที่แสดงเป็นค่าพารามิเตอร์เฉลี่ยจากการทดลองหลายชุด
- (2) Inf. = Influent
- (3) Eff. = Effluent
- (4) Rem.= Removal
- (5) Designed BOD Loading = 5 kg BOD/ day
- (6) ข้อมูลในตารางที่ 6.4 แต่ละอัตราการไหล เป็นค่าเฉลี่ยจากข้อมูล 4 ชุดจากการทดลองตามรายละเอียดในภาคผนวก ก.2



รูปที่ 6.4 ผลกระทบของค่า BOD Loading ต่อประสิทธิภาพการทำงานของระบบ SBR

รูปที่ 6.5 a และ 6.5 b เป็น DO Profile และ pH Profile ตลอดช่วงของการดำเนินการ 1 Cycle ของ SBR โดยมี BOD Loading เป็นพารามิเตอร์ แสดงให้เห็นถึงความต้องการออกซิเจนของกลไกชั้งควบคุมการทำงานของจุลินทรีย์ในระบบ SBR ดังนี้

(1) ในช่วงด้านของ Cycle คือช่วงเติมน้ำเสีย (0.5 ชม.)

จากราฟจะเห็นว่าสภาวะเริ่มต้นของ Cycle เป็นผลต่อเนื่องมาจากสภาวะปลาย Cycle อันเป็นสภาพขาดอากาศ (Anoxic) ภายหลังจากการหยุดเติมอากาศมาไม่ต่ำกว่า 1.5 ชม. ดังนั้นในช่วง 0.5 ชม. แรกของการป้อนน้ำเสียโดยที่ยังไม่มีการเติมอากาศนั้น ช่วงแรกอาจมีอากาศบางส่วนอยู่ในน้ำเสียที่ป้อน หรือเกิดการเติมอากาศโดยการระแทกของน้ำที่ป้อนเข้ากระบวนการผิวน้ำที่เป็นไฝ เมื่อผสมกับน้ำในถังที่มีค่า DO ต่ำอยู่ ประกอบกับมีการใช้อากาศที่น้อยนั้นต่อไปอย่างช้าๆ โดยจุลินทรีย์ที่ตกลงกอนอยู่ (ในขณะนี้จะเป็น Oxygen Diffusion Rate Limited) ค่า DO จึงลดต่ำลงต่อไปอย่างต่อเนื่องต่อไป

ส่วนการเปลี่ยนแปลงของ pH ในช่วงนี้เป็นผลมาจากการปฏิกิริยา Denitrification อันเป็นกลไกที่จุลินทรีย์ที่มีออกซิเจนไม่เพียงพอต้องใช้ออกซิเจนจากสารประกอบในเตรต



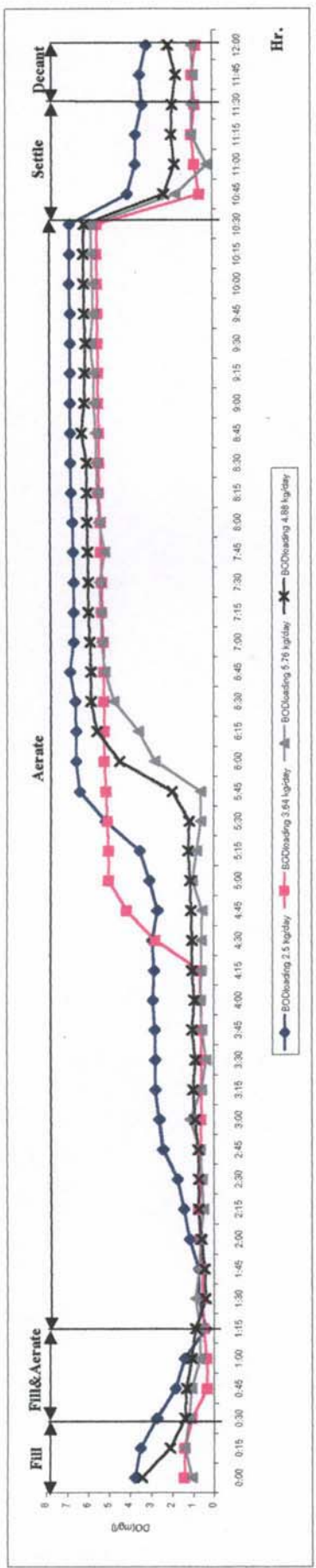
หรือเขียนในรูปสมการ Oxidation-reduction ได้เป็นสมการ (6.2)



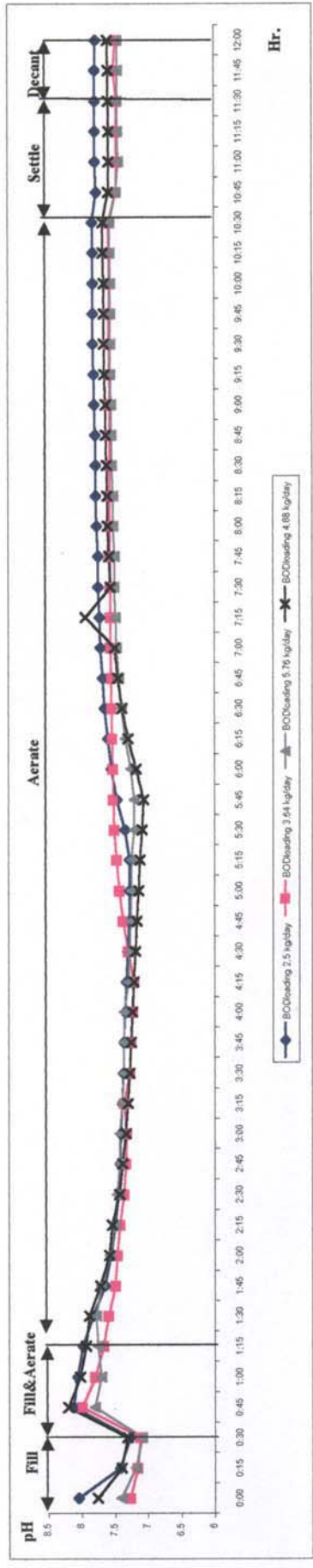
มีค่า ORP เป็นลบ

ปฏิกิริยาดังกล่าวจะปลดปล่อยไนโตรเจนออกไซด์ในรูปแกสในไตรเจนตามสมการ (6.1) โดยค่า pH ของระบบจะสูงขึ้นด้วยปฏิกิริยาตามสมการ (6.2) นี้ แต่เนื่องจากระบบอยู่ในสภาพน้ำนิ่ง (Static) ไม่มีการวนซ้ำ หัววัด pH (และหัววัดDO ด้วยเช่นกัน) จึงอ่านค่าในน้ำด้านบนของตะกอนที่ผสมด้วยน้ำใหม่ที่กำลังเติมเข้ามา จึงทำให้ค่าที่ปราศจากตั่งเรื่อยๆ ในช่วง 0.5 ชม. แรก

สามารถจัดติดตามการเกิดปฏิกิริยาตามสมการ (6.2) เพื่อทราบจุดที่เกิดปฏิกิริยาสมบูรณ์ได้ด้วยการวัดค่า ORP (-mv) ซึ่งจะชี้ให้โดยชุดที่เกิดการโคลั่ง (Bending) ของกราฟ ORP-Time หรือที่เรียกว่า “Nitrate Knee”



รูปที่ 6.5a ค่า DO ในถังปฏิกรณ์ SBR ตลอดระยะเวลา 1 Cycle ที่ BOD Loading ต่างกัน



รูปที่ 6.5b ค่า pH ในถังปฏิกรณ์ SBR ตลอดระยะเวลา 1 Cycle ที่ BOD Loading ต่างกัน

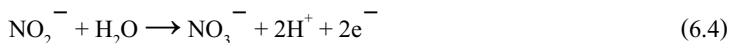
(2) ช่วงการเติมอากาศ (10 ชม.)

หลังจากเติมน้ำเสียแบบไม่เติมอากาศเข้าระบบถังปฏิกรณ์ SBR เป็นเวลาครบ 0.5 ชม. แล้วจึงเติมอากาศเข้าถังปฏิกรณ์ SBR อากาศจะทำหน้าที่กวนจุลินทรีย์ที่จมอยู่ (ระดับความสูงของจุลินทรีย์ประมาณ 1/3 ถัง ที่ MLVSS ประมาณ 3,000 mg/l) ให้พสมกับน้ำเสียให้มีการพสมสมบูรณ์ด้วย ดังนั้นจะเห็นว่าหลังจากระยะเวลา 30 นาทีของการเริ่มต้น Cycle ใหม่ จะเกิดปราการณ์ต่อไปนี้

- ค่า DO จะลดลงต่อไปอีกจนมีค่าไม่เกิน 1 mg/l
- ส่วนค่า pH จะเพิ่มขึ้นอย่างรวดเร็ว จนมีค่าใกล้ pH 8 และจึงค่อยๆ ลดลงอย่างช้าๆ โดยมีจุดต่ำสุดที่ ตำแหน่งเริ่มต้นของช่วง Substrate Limiting Stage (เมื่อ DO เริ่มปรับตัวสูงขึ้น) $\Delta \text{pH} = -1$ โดยประมาณ และจึงค่อยๆ ปรับตัวกลับสูงขึ้นอย่างช้า เข้าสู่จุด Steady ที่ประมาณ pH 7.8 โดยมีลักษณะของกราฟ pH ในลักษณะเดียวกับกราฟ DO

ในการเติมอากาศนั้นนอกจากการกำจัดบีโอดีด้วยจุลินทรีย์ที่ใช้อากาศแล้ว ยังเกิดปฏิริยาการเป็นสารประกอบในไตรเจนอินทรีย์ให้การเป็นไนโตรท (โดยจุลินทรีย์ Nitrosomonas) และไนเตรต (โดยจุลินทรีย์ Nitrobacter) อันเป็นกระบวนการที่เรียกว่า Nitrification

ตามสมการ (6.3) และ (6.4)



ทำให้ค่า ORP เป็นบวก (ให้อิเลคตรอน)

(3) ช่วงหยุดเติมอากาศและตกตะกอน (1 ชม.)

การหยุดเติมอากาศเริ่ม ณ ชั่วโมงที่ 10.5 และหยุดเป็นเวลา 1.0 ชม. กราฟ DO จะลดลงอย่างรวดเร็วเนื่องจากจุลินทรีย์ต้องการอากาศมากและการตกตะกอนของจุลินทรีย์เป็นลักษณะที่เรียกว่า “Zone Settling” (Metcalf & Eddy, p290) ในช่วงแรกโดยมีการเลื่อนชั้นของตะกอนเป็น “Blanket” ลงมา เมื่อโซนของจุลินทรีย์เลื่อนผ่านหัววัด DO ก็จะให้ DO ที่อ่อนได้มีค่าต่ำ จนเมื่อโซนดังกล่าวพ้นหัววัด DO ไปแล้วน้ำใสส่วนบนก็จะค่อยๆ ได้รับออกซิเจนโดยการแพร่ของออกซิเจนจากอากาศที่ผิวน้ำ โดยที่ไม่มีการใช้ออกซิเจนของจุลินทรีย์ในส่วนบนนี้ จึงทำให้กราฟ DO ขยับตัวสูงขึ้นเล็กน้อยเมื่อตกตะกอนไปได้ประมาณ 30 นาที

(4) ช่วงการถ่ายน้ำเสียออก (0.5 ชม.)

ในช่วงการถ่ายน้ำเสียออก ระยะเวลาตามการออกแบบไว้สูงสุด 0.5 ชม. มีการเปลี่ยนแปลงระดับ DO เล็กน้อย อาจจะเกิดจากการใช้ออกซิเจนของจุลินทรีย์ที่จมอยู่ แต่เป็นกรณีของ Oxygen Diffusion Limited เช่นเดียวกับที่อธิบายแล้วใน (1) และ pH เพิ่มขึ้นเพียงเล็กน้อย ซึ่งอาจเป็นผลของ

ปฏิกิริยา Denitrification ก็เป็นได้ แต่ถูกลดความชัดเจนลงเนื่องจาก Diffusion Limited จากชั้นของตะกอนออกสู่ชั้นน้ำที่มีหัวด O₂ และ pH อยู่ (นั่นคือหากวัด DO และ pH ในชั้นของตะกอนจุลินทรีย์ จะได้ค่าที่ต่างไปจากที่แสดงมาก)

การทดลองที่ 4 การศึกษาผลกระทบของ Sequence ของระยะเวลาในระบบ SBR

ต่อการกำจัดสารประกอบในโตรเจนโดยระบบ SBR

ตัวแปร ปรับระยะเวลาของชั้นตอน Anoxic Fill / Aerated Reaction (ชม. / ชม.) ใน cycle ของ SBR

4 ค่าในแต่ละการทดลองคือ 0/10.5, 0.5/10.0, 1.0/9.5, 1.5/9.0

ค่าที่กำหนดคงที่ ค่า Mean MLVSS, อัตราการไหด $5 \text{ m}^3/\text{cycle}$ หรือ $10 \text{ m}^3/\text{day}$, อัตราการไหดของอากาศ $0.57 \text{ Nm}^3/\text{min}$ (บันทึก DO แต่ไม่ควบคุม)

สิ่งที่ต้องการศึกษา ผลของระยะเวลา Anoxic Fill / Aerobic ที่มีต่อประสิทธิภาพของระบบ โดยเฉพาะสำหรับการ
กำจัด TKN

ช่วงการมีอากาศแบบจำกัดหรือ Anoxic phase มีความสำคัญมากต่อการกำจัดสารประกอบในโตรเจนในระบบ SBR ด้วยปฏิกิริยา Nitrification ในช่วงเติมอากาศ และ Denitrification ในช่วง Anoxic

ใน Cycle ของ SBR นั้น Anoxic หรือการมีอากาศจำกัดจะเก็บข้าดาอากาศนั้น เกิดขึ้นตั้งแต่ชั้นตอนตกลตะกอนจุลินทรีย์ (Settling) ตลอดมาจนถึงช่วงปล่อยน้ำใส่ออค (Decanting) และ การเติมน้ำเสียโดยยังไม่เติมอากาศ แต่ในแห่งของโปรแกรมควบคุมการทำงาน และเพื่อให้การตกลตะกอนและการถ่ายน้ำใส่ออคเป็นไปอย่างมีประสิทธิภาพ จึงเห็นเป็นการสอดคล้องที่จะปรับเวลาช่วง Anoxic ในระหว่างการเติมแทน

ดังนั้นพารามิเตอร์ที่ศึกษาจึงเป็นอัตราช่วงเวลา Anoxic Fill / Aeration Process ดังกล่าว

จากรูป 6.6 จะเห็นได้ว่าการกำจัด TKN มีประสิทธิภาพสูงมาก จนดูเหมือนไม่มีความแตกต่างอย่างมีนัยสำคัญในระหว่างการทดลองทั้ง 4 ทั้งนี้อาจเป็นเพราะการขาดอากาศในช่วง 1.5 ชม. ตอนท้าย Cycle มากเกิน พอดีจะทำให้การกำจัด TKN มีประสิทธิภาพสูงพอแล้ว

แต่หากพิจารณาค่า % TKN removal: % BOD removal ในแต่ละการทดลองแล้วก็จะเห็นได้ชัดว่า ที่เวลา Anoxic Fill / Aerobic สูงขึ้น ค่า% TKN removal: % BOD removal จะสูงขึ้นด้วยแสดงให้เห็นความสำคัญของช่วงระยะเวลา Anoxic ในการกำจัด TKN แต่การคาดคะเนโดยการคำนวณนั้นยังคงไม่สามารถทำได้เนื่องจากความไม่ชัดเจนของข้อมูลทาง Kinetics ดังนั้นคงยังต้องพึ่งข้อมูลการทดสอบจากต้นแบบไปก่อน

ตารางที่ 6.5 ผลกระทบของ Sequence ของวงจรเวลาในระบบ SBR

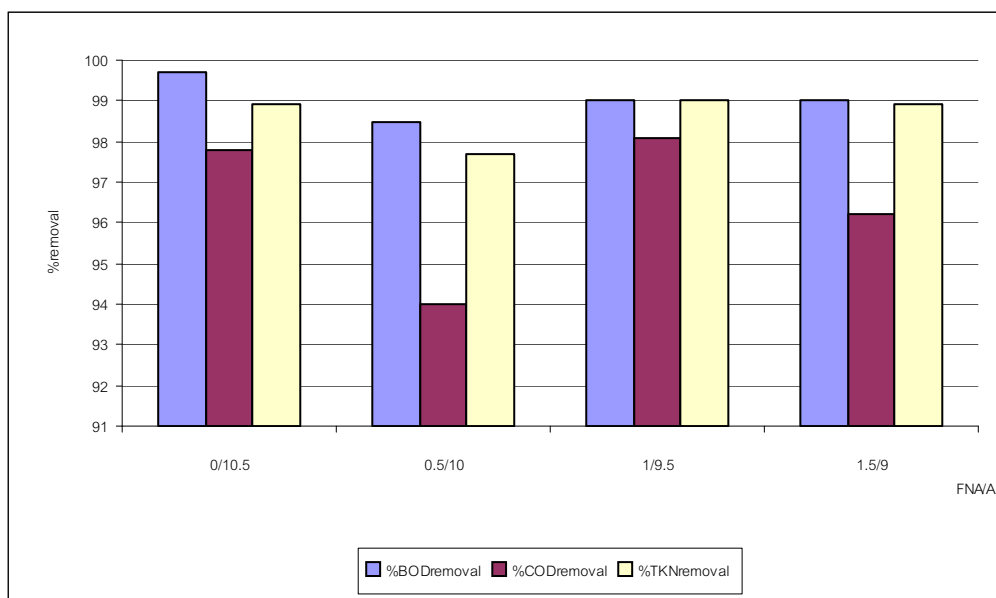
ต่อการกำจัดสารประกอบในไตรเจนโดยระบบ SBR

Fill & react ratio	Elapse time (day)	BOD Influent (mg/l)	BOD Effluent (mg/l)	% Rem.	COD Influent (mg/l)	COD Effluent (mg/l)	% Rem.	TKN Influent (mg/l)	TKN Effluent (mg/l)	% Rem.
0/10.5	1	765	6	99.0	1,337	33.5	96.2	142.1	1.5	98.9
0.5/10	3	510	7.4	98.5	848	47.4	94.0	103.7	2.3	97.7
1/9.5	1	897	2.8	99.7	1,622	34.5	97.8	127.4	1.4	98.9
1.5/9	1	579	5.8	99.0	1,528	29.5	98.1	134.0	1.29	99.0

หมายเหตุ (1) Elapse time หมายถึง เวลาที่ผ่านไปหลังจากเปลี่ยนเงื่อนไขสัดส่วน Fill/react time

(2) ค่าพารามิเตอร์ต่างๆที่แสดงเป็นค่าพารามิเตอร์เฉลี่ยจากการทดลองหลายชุด

(3) Rem. = Removal



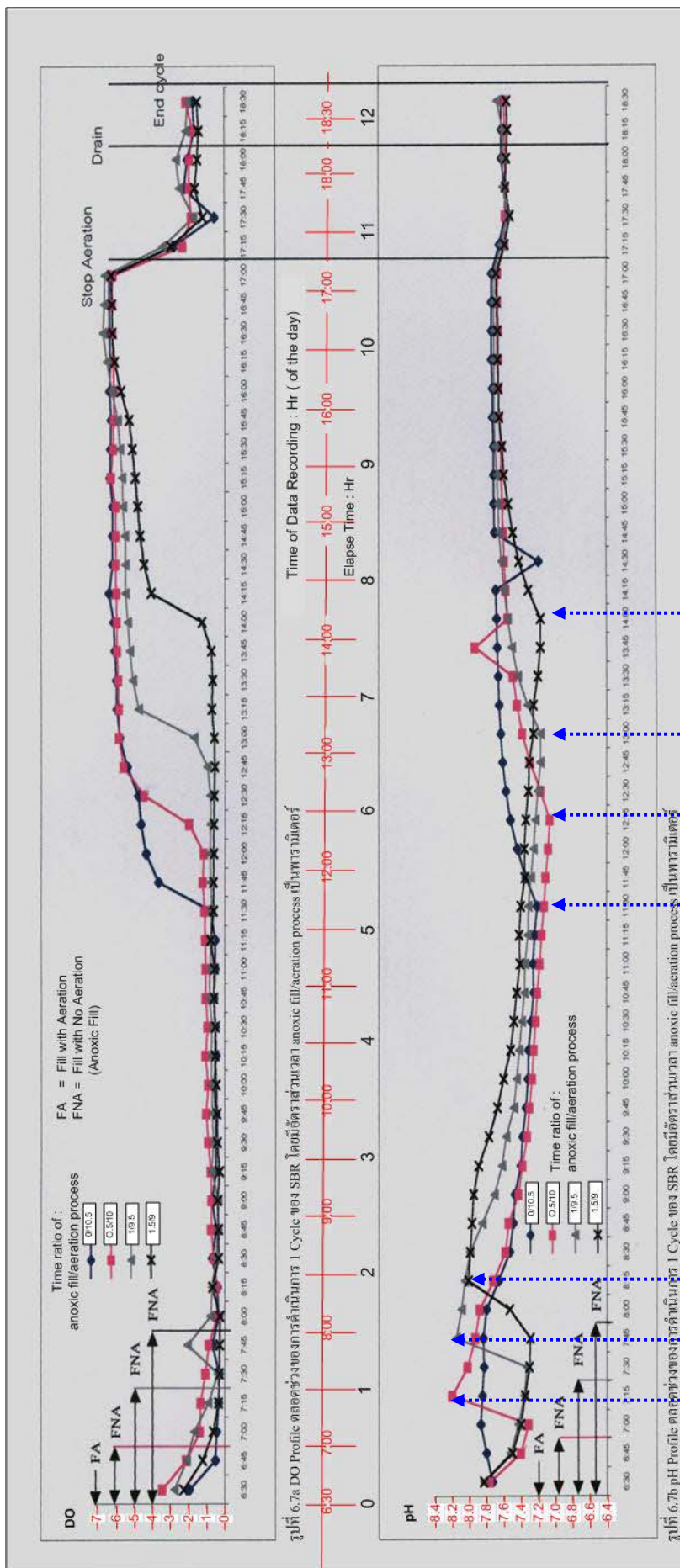
รูปที่ 6.6 ผลกระทบของ Sequence ของวงจรเวลาในระบบ SBR ต่อการกำจัดสารประกอบในไตรเจนในระบบ SBR

รูปที่ 6.7a และ 6.7b แสดงกราฟของค่า DO และ pH ตลอด Cycle ของการทดลองผลกระทบของ Sequence ของวงจรเวลาในระบบ SBR ต่อการกำจัดสารประกอบในไตรเจนในระบบ SBR การวิเคราะห์ก็จะเป็นในทำนองเดียวกันที่ให้ไว้ในการอธิบายรูปที่ 6.5a และ 6.5b ที่ผ่านมาแล้ว โดยรูปที่ 6.6a และ 6.6b นี้จะแสดงผลช่วง Anoxic Fill เพิ่มเติมให้ชัดเจนขึ้น โดยเฉพาะผลของ pH ที่สูงขึ้นเนื่องจาก Denitrification โดย pH จะสูงขึ้นหลังหมดเวลา กันไปเริ่มจากพารามิเตอร์ตามลำดับดังนี้ 0/10.5, 0.5/10, 1.0/9.5, 1.5/9.0 ตามลำดับ

กราฟนี้ยังแสดงให้เห็นอีกประกายการณ์ที่เกิดตำแหน่งที่เรียกว่า “Nitrate Apex” (ในกราฟ pH-Time) หรือ “Nitrate Knee” (ในกราฟ ORP-Time) ซึ่งเป็นจุดที่เกิด Denitrification สมบูรณ์ [6] แต่ในที่นี้อาจเกิดความไม่สมบูรณ์อย่างเต็มที่ได้ เนื่องจากการขาดการผสมระหว่างการเติมน้ำเสียเข้าระบบแบบไม่เติมอากาศ จึงเกิดการเลื่อน (Shifting) ของจุดดังกล่าวไปเป็นเวลาไม่ต่ำกว่า 15 นาที หลังการเติมอากาศและเกิดการผสมสมบูรณ์

ส่วนระยะเวลาของการเติมอากาศนั้นยังมากเกินพอด้วยช่วงของการทดลอง การลดระยะเวลาเติมอากาศลงมา 1.5 ชม./Cycle หรือ 3 ชม./วัน ไม่มีผลกระทบต่อประสิทธิภาพโดยรวมอย่างมีนัยสำคัญเลย ทราบที่ระยะเวลาเติมอากาศยังเพียงพอที่จะทำให้เกิด จุดที่เรียกว่า “Ammonia Valley” [7] อันเป็นจุดที่เกิด Nitrification สมบูรณ์ แล้วตามค่าวา Saturated Oxygen Plateau

ดังนั้นอาจใช้จุด “Ammonia Valley” เป็นตำแหน่งเพื่อการควบคุมเวลาการเติมอากาศ เพื่อเติมอากาศแต่พอเพียงเท่านั้น และอาจออกแบบควบคุมให้ Anoxic Phase ตรงกับช่วง Peak ของการใช้ไฟฟ้ามากเพื่อรอง Demand Charge ได้ เป็นการควบคุมค่าใช้จ่ายด้านพลังงาน อันเป็นหนึ่งในจุดเด่นของระบบแอลซีอาร์



Nitrate Apexes (จุดกึ่ง Nitrate Knees ใน ORP Profiles),
Points of the Completion of De-Nitrification, with mixing
affect shifts

Ammonia Valley
Points of the Completion of Nitrification
[6],[7]

การทดลองที่ 5 ผลกระทบของ DO ต่อการทำงานของระบบ SBR

ตัวแปร อัตราการไหลดของอากาศ 4 ค่า

ค่าที่กำหนดคงที่ BODin, BODout, MLVSS, Cycle & Time, อัตราการไหลด (Θ)

สิ่งที่ต้องการศึกษา ผลกระทบ DO ในการทำงานของระบบ

จากการคำนวณพบว่าปริมาณอากาศที่ต้องการเท่ากับ $0.48 \text{ m}^3/\text{min}$ โดยคณะผู้วิจัยโครงการได้เลือกใช้เครื่องเติมอากาศแบบ Air Blower ที่ให้ปริมาณอากาศเท่ากับ $0.57 \text{ m}^3/\text{min}$ ซึ่งทำให้ประสิทธิภาพโดยรวมของระบบสูงขึ้นกว่าการคำนวณ ในการทดลองจึงได้ทำการปรับเปลี่ยนค่าปริมาณการเติมอากาศไว้ 4 ค่าดังนี้คือ $0.57 \text{ m}^3/\text{min}$, $0.48 \text{ m}^3/\text{min}$, $0.43 \text{ m}^3/\text{min}$ และ $0.38 \text{ m}^3/\text{min}$ ดังแสดงในตารางที่ 6.6 รูปที่ 6.8 และรูปที่ 6.9

ตารางที่ 6.6 ผลกระทบของ DO ต่อการทำงานของระบบ SBR

Air flow rate	Elapse time (day)	BOD Influent (mg/l)	BOD Effluent (mg/l)	% Rem.	COD Influent (mg/l)	COD Effluent (mg/l)	% Rem.	TKN Influent (mg/l)	TKN Effluent (mg/l)	% Rem.
0.38	1	846	42.0	96.2	1,772	82.5	95.5	126.7	43.0	65.8
0.43	1	453	15.0	96.7	709	70.0	90.1	75.3	46.4	37.9
0.48	1	640	4.0	99.2	1,367	47	95.6	112.1	2.2	98.0
0.57	1	651	4.7	99.2	1,360	34.2	97.0	114.7	1.7	98.5

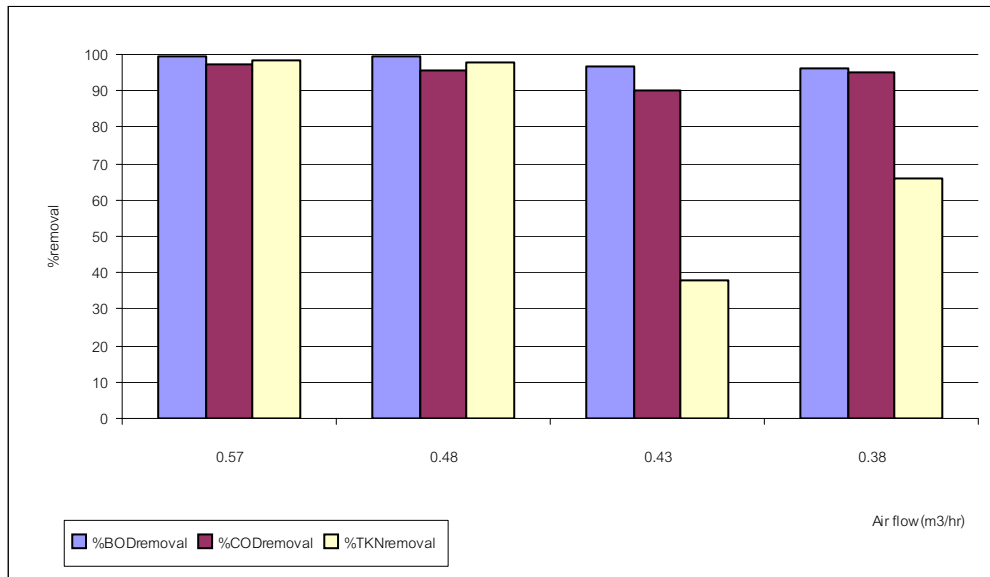
หมายเหตุ Elapse time หมายถึง เวลาที่ผ่านไปหลังจากเปลี่ยนเงื่อนไข Air flow rate

ค่าพารามิเตอร์ต่างๆที่แสดงเป็นค่าพารามิเตอร์เฉลี่ยจากการทดลองหลายชุด

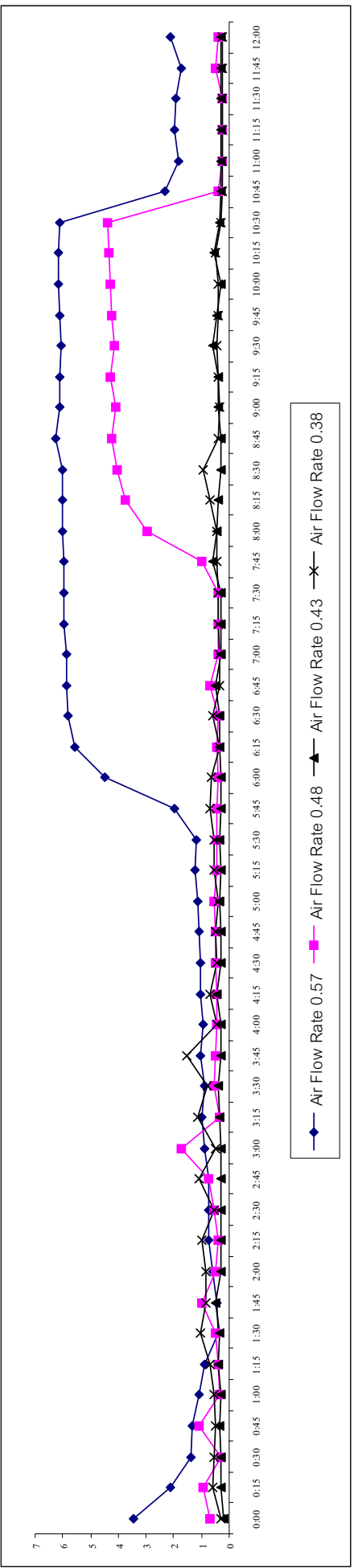
พบว่า ณ ปริมาณการเติมอากาศที่ $0.57 \text{ m}^3/\text{min}$ และ $0.48 \text{ m}^3/\text{min}$ ระบบยังมีประสิทธิภาพในการกำจัดสารอินทรีย์และสารอาหารได้ดีโดยที่ปริมาณการเติมอากาศ $0.48 \text{ m}^3/\text{min}$ ระบบใช้ระยะเวลาลีบช้าลงที่ 8 ของวัฏจักรการทำงานของระบบ ส่วนที่ปริมาณการเติมอากาศ $0.57 \text{ m}^3/\text{min}$ ระบบใช้ระยะเวลาลีบช้าลงที่ 6 ของวัฏจักรการทำงานของระบบ และดังให้เห็นว่ามีการเติมปริมาณของอากาศให้กับระบบมากขึ้นกว่าค่าคำนวณทางทฤษฎี ทำให้ระบบใช้ระยะเวลาในการกำจัดสารอาหารน้อยลง

จากรูปที่ 69a กราฟแสดงการเปรียบเทียบข้อมูลค่า DO ที่ Air flow rate ค่าต่างๆ ขณะที่ปริมาณการเติมอากาศที่ $0.43 \text{ m}^3/\text{min}$ ซึ่งเป็นค่าที่ต่ำกว่าการคำนวณในทางทฤษฎีพบว่าประสิทธิภาพในการกำจัดสารอินทรีย์และสารอาหารต่ำลงเนื่องจากปริมาณออกซิเจนที่จุลินทรีย์ได้รับไม่เพียงพอต่อการนำไปใช้ในการย่อยสลายสารอินทรีย์ได้ ไม่มีสภาวะที่เรียกว่า “Saturated Oxygen Plateau” เกิดขึ้น ส่งผลให้ประสิทธิภาพการบำบัดต่ำลง โดยจะเห็นได้อย่างชัดเจนในความสามารถในการกำจัด TKN ที่ลดลงอย่างเห็นได้ชัด

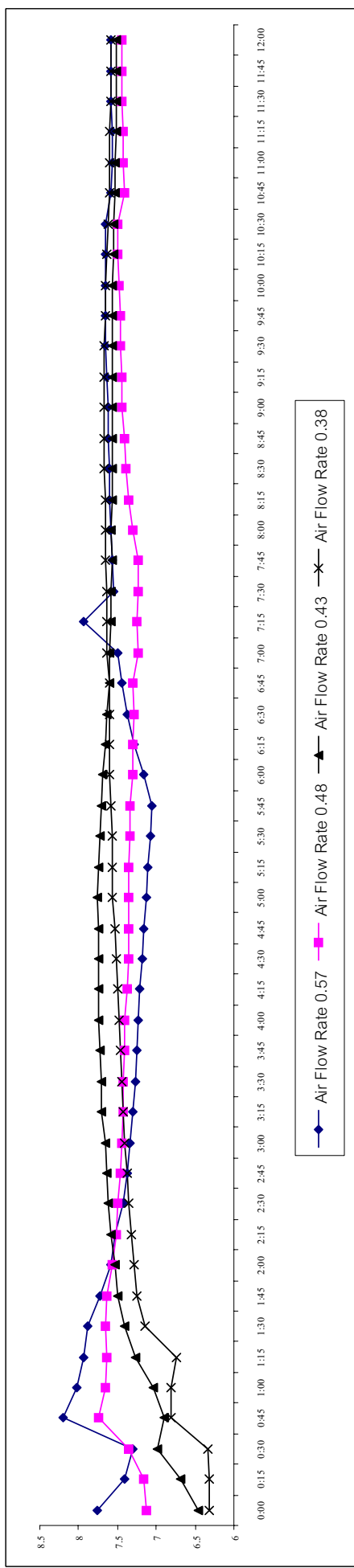
การทดลองนี้แสดงให้เห็นถึงปัจจัยสำคัญในการบำบัดคือปริมาณอากาศที่เพียงพอเพื่อให้เกิดสภาวะ Aerobic ที่เหมาะสมที่จุลินทรีย์ในระบบใช้ในการย่อยสลายสารอินทรีย์ในช่วงกลางของ Cycle



รูปที่ 6.8 ผลการทดสอบของ DO ต่อการทำงานของระบบ SBR



รูปที่ 6.9a ค่า DO ในถังปฏิกิริย์ SBR ตลอดระยะเวลา 1 Cycle ที่ต้องการตั้งค่าอากาศ่างกัน



รูปที่ 6.9b ค่า pH ในถังปฏิกิริย์ SBR ตลอดระยะเวลา 1 Cycle ที่ต้องการตั้งค่าอากาศ่างกัน

การทดลองที่ 6 การศึกษาประสิทธิภาพของคลอรีนในการทำลายชุลินทรีย์ในน้ำทิ้งที่บำบัดด้วยระบบ SBR และ

สภาวะการทดลอง

(1) Dosing Pump สำหรับ Sodium Hypo Chlorite อัตราการให้	1.7 ลิตร/ชม.
(2) อัตราการให้เหลืองน้ำเสียที่บำบัดแล้วจาก Decanter	9,288 ลิตร/ชม.
(3) Sodium Hypo Chlorite ความเข้มข้น 5 เปอร์เซ็นต์ 5 g/100 ml = 50 g/l	
(4) ปริมาณความเข้มข้นคลอรีนเริ่มต้นในน้ำเสีย	= 9.44 ppm
(คำนวณ ณ จุดเติม Sodium Hypo Chlorite)	

จากการทดลองเติม Sodium Hypo Chlorite คิดเป็นความเข้มข้นของคลอรีน 9.44 ppm จะได้ปริมาณคลอรีนที่เหลืออยู่ภายหลัง 30 นาที เป็น 0.5 ppm ดังแสดงในตารางที่ 6.7 และสามารถฆ่าเชื้อชุลินทรีย์ได้มากกว่า 97 % โดยลด BOD ลงได้อีก 55.5% ส่วน COD ลดลงอีก 8.7% ดังแสดงในตารางที่ 6.8

ตารางที่ 6.7 ปริมาณคลอรีนที่เหลืออยู่ภายหลังการเติม Sodium Hypo Chlorite

ระยะเวลา(Exposure Time)(นาที)	ปริมาณคลอรีนที่วัดได้ (ppm)
0	>3
5	3
10	1.5
15	1.5
20	1
25	1
30	0.5

ตารางที่ 6.8 การศึกษาประสิทธิภาพของคลอรีนในการทำลายชุลินทรีย์ในน้ำทิ้งที่บำบัดด้วยระบบ SBR และ

Parameter	Unit	Effluent ก่อนเติม Cl ₂	Effluent หลังเติม Cl ₂	% Reduction
BOD	mg/l	11	4.9	55.5
COD	mg/l	115	105	8.7
Total Bacteria	CFU/ml	140,000	4,000	97.14

บทที่ 7

บทสรุป

คณะผู้วิจัย ได้เลือกการพัฒนาระบบ SBR ที่มีความสมบูรณ์แบบในตัว (Packaged system) เพื่อเป็นระบบ บำบัดน้ำเสีย สำหรับโรงงานอุตสาหกรรมอาหาร และอุตสาหกรรมที่มีลักษณะน้ำเสียที่คล้ายคลึงกัน เพื่อจะได้สร้างเทคโนโลยีที่มีประสิทธิภาพ เพื่อถ่ายทอดให้อุตสาหกรรม การดำเนินการของงานวิจัยและพัฒนาเป็นแบบกึ่งประสบการณ์ (Semi-empirical approach) โดยเลือกอัตราการไอล ค่า BOD input ที่ต้องการแล้วกำหนดค่าพารามิเตอร์ในการออกแบบอันได้แก่ ค่า F/M , MLVSS และกำหนดระยะเวลาของช่วงการทำงานต่างๆ (Sequence) ของ SBR ในช่วงที่เป็นค่าโดยทั่วไป (Typical) ซึ่งปฏิบัติกันอยู่ทั่วไปในอุตสาหกรรม

ระบบที่ออกแบบและสร้าง จัดเป็นระดับต้นแบบ (Pilot Scale) ติดตั้งโดยได้รับความร่วมมือจากโรงงานผลิตอาหารทะเล เช่น ของบริษัทศรีสุทธิกุลจำกัด (S.K. Foods Co.,Ltd.)

ขอขอบคุณผู้ช่วยศาสตราจารย์ ดร. นนentschayakul 1 กระทุ่มແນນ สมุทรสาคร น้ำเสียที่เข้าระบบบำบัดเป็นน้ำทึบจากการผลิตปลาสอดแล่ เช่น

กำหนดให้ระบบรับอัตราการไอลของน้ำเสียได้	5	ม³/วัน
โดยมีค่า BOD _{input} (เฉลี่ย)	1,000	มก./ลิตร
และสามารถบำบัดน้ำเสียให้ได้คุณภาพน้ำที่ผ่านการบำบัดแล้วตามมาตรฐานน้ำทึบกรมโรงงานอุตสาหกรรม โดยเอกสารค่า BOD (BOD _s) เป็นหลัก		
BOD_{output} จาก SBR		

BOD _{output} จาก SBR	20	มก./ลิตร
คิดเป็นร้อยละของการกำจัดมีโอดี (BOD Removal)	98.0	%

7.1 สรุปพารามิเตอร์ที่เลือกในการออกแบบได้ดังนี้

7.1.1 พารามิเตอร์ทางชีวภาพ (Biological Parameters)

$$\begin{array}{lll} \text{F/M} & = & 0.2 \\ \text{MLVSS} & = & 4,000 \text{ มก./ลิตร} \end{array}$$

7.1.2 พารามิเตอร์ของการดำเนินการระบบเอสบีอาร์ (SBR Operation Parameters)

Cycle	=	2	cycle/วัน
โดยมีระยะ (Phase) ต่างๆดังนี้			
(1) ให้ช่วงเติมน้ำเสีย (Fill) พร้อมเติมอากาศ เป็น	1	ชม.	
(2) ให้ช่วงเติมอากาศ (Aeration) เป็น	9.5	ชม.	
(3) ให้ช่วงหยุดเติมอากาศเพื่อตกลงกอน (Settling) เป็น	1.0	ชม.	
(4) ให้ช่วงปล่อยน้ำเสียออก (Decanting) เป็น	0.5	ชม.	
รวมจำนวน ชม. ต่อ 1 cycle เป็น	12	ชม.	
ระยะเวลาของการเติมอากาศต่อ 1 วัน เป็น	21	ชม.	

7.2 ในการวิจัยได้ศึกษาผลกระทบของตัวแปรต่อการทำงานของระบบ

ดังต่อไปนี้ คือ

- (7.2.1) F/M ratio ในช่วง 0.13 – 0.36 กิตเป็น 65 % – 180 % ของค่าที่ออกแบบไว้
- (7.2.2) BOD loading ในช่วง 2.5 – 5.77 kg/day กิตเป็น 50 % – 115 % ของค่าที่ออกแบบไว้
- (7.2.3) อัตราส่วนเวลา (hr./hr.) Anoxic Fill/ Aeration: 0/10.5, 0.5/10, 1/9.5, 1.5/9
- (7.2.4) DO โดยการปรับอัตราการไหลของอากาศที่แตกต่างกัน (m^3/min) : 0.38 , 0.43 , 0.48 , 0.57

จากการทดลอง สามารถสรุปได้ว่า ระบบมีความยืดหยุ่นสูง สามารถรับการเปลี่ยนแปลงทั้ง F/M ratio , BOD loading และลักษณะของการเติมน้ำเสียคือ อัตราส่วนเวลา Anoxic Fill/ Aeration ได้ดี โดยยังสามารถคงประสิทธิภาพได้ตามที่ออกแบบ (BOD removal 98%) โดยจะต้องให้อากาศพอเพียง ให้เกิด “Saturated Oxygen Plateau” ในช่วงการปลายของการบำบัดแบบใช้อากาศเท่านั้น
พบว่าต้องให้อากาศในอัตรา $0.48 - 0.57 m^3/min$ นั้นเหมาะสมสำหรับระบบที่ทำการทดลอง โดยมีค่าต่ำกว่าที่ได้จากการออกแบบ

7.3 การออกแบบระบบและการขยายขนาด

การออกแบบระบบและการขยายขนาดเป็นแบบกึ่งเอมิเพริกัล(Empirical) โดยใช้ข้อมูลเอมิเพริกัล ได้แก่ค่า F/M , MLVSS , BOD loading , อัตราส่วนเวลา (hr./hr.) Anoxic Fill/ Aeration ที่ได้จากการทดลองนี้เป็นแนวทาง หรือ “Guide line” ร่วมกับสมการทางจลนพลศาสตร์ของจุลินทรี (Cell Kinetic Model) สำหรับการออกแบบและการขยายขนาด

ด้วยเหตุผลดังกล่าวการขยายขนาดจึงไม่ผูกติดกับค่าเอมิเพริกัลเท่านั้น ดังนั้น โดยหลักการของการขยายขนาดจึงไม่ควรมีขั้นตอนเดียว คือ ค่า Scale-up Ratio

พร้อมนี้ในภาคผนวก บ. ได้สาธิตการคำนวณและการประมาณราคาของระบบเอกสารนี้ ค่า Scale- up Ratio 20 (10-200 เป็นตัวเลขที่นิยมใช้กันในทางปฏิบัติ ที่เรียกว่า “Rules Of Thumb” [13]) หรือสำหรับน้ำเสีย 100 ลบ.ม. ต่อวัน ซึ่งสามารถใช้แนวทางเดียวกันเพื่อการขยายขนาดและประมาณราคาของระบบเอกสารนี้ กรณีที่ใหญ่กว่านี้ ได้โดยใช้ข้อมูลตามการทดลองนี้ด้วยเหตุผลดังที่กล่าวแล้ว

สำหรับขีดจำกัดของขนาดนี้ จะอยู่ที่

- (3) การออกแบบระบบให้มีการกวนผสมที่ดี ซึ่งไม่ได้ศึกษาโดยละเอียดในงานวิจัยนี้
- (4) ปริมาตรของถังรองรับน้ำเสีย (Equalization Tank) รองรับป้อนเข้าสู่ระบบเอกสารนี้ ในทางปฏิบัติที่ใช้กันในเชิงพาณิชย์นั้น มักใช้ระบบเอกสารนี้กับระบบบำบัดน้ำเสียขนาดกลางและขนาดเล็ก ที่มีขนาดใหญ่ที่ใช้กันอยู่ประมาณ 1,000 ลบ.ม. ต่อวัน ต่อ 1 SBR Tank ดังนั้นหากน้ำเสียมีปริมาณมากกว่านี้มักนิยมออกแบบเป็นชุดขนาดกันไป (Parallel Modules)[10] ซึ่งสอดคล้องกับข้อมูลในด้านขนาด อัตราการไหล และพารามิเตอร์ต่างๆของระบบเอกสารนี้ที่รวมรวมจากเอกสารอ้างอิงจำนวน 134 รายการ[1]
อย่างไรก็ตี มีรายงานการใช้งานสำหรับระบบเอกสารนี้เพื่อบำบัดน้ำเสียชุมชนที่มีขนาดใหญ่ ตามเอกสารอ้างอิง[2] สำหรับอัตราการไหล 320,000 ลบ.ม./วัน (Peak load 960,000 m^3/day) โดยใช้อสาน้ำ จำนวน 24 ชุดขนาดกัน

(5) หากเปรียบเทียบกับระบบตะกอนเร่งสำหรับน้ำเสียที่มีอัตราการไหลเท่ากัน มีข้อสรุปด้านราคา อันเนื่องมาจากการใช้ถังตកตะกอนเพิ่ม ทำให้ต้นทุนของระบบ ตะกอนเร่งจะมีค่าก่อสร้างเพิ่มขึ้นประมาณ 25%

โดยที่มีการใช้พลังงานไม่ต่างกันมากเพราะพลังงานหลักคือพลังงานในการเติม อากาศเพื่อกำจัด BOD แต่ระบบแอลบีอาร์จะมีข้อได้เปรียบที่สามารถปรับช่วงการเติม อากาศ ให้สมดุลกับการใช้พลังงานในกระบวนการผลิตอื่น ในช่วงเวลาต่างๆ เพื่อ หลีกเลี่ยงการเกิด “Peak Load” ของพลังงานไฟฟ้า และทำให้ลดค่าไฟฟ้าอันเกิดจาก “Demand Charge” ได้

เอกสารอ้างอิง

- [1] Mace, S. and J. Mata-Alvarez, “Utilization of SBR Technology for Wastewater Treatment: An Overview”, Ind.Eng. Chem. Res., 41, 5539-5553 (2002).
- [2] Slater, N., “Sequencing Batch Reactors : Cost Effective Wastewater Treatment”, presented at Alberta Water & Wastewater Operation, 32rd Annual Operators Seminar, Banff, Alberta, 16th March (2006)
- [3] นพดล เจียมสวัสดิ์, “การปรับปรุงระบบบำบัดเสียของโรงงานผลิตปลาทูน่ากระปองโดยใช้ระบบบ่อหมักไทร์ สามารถกับระบบ SBR: กรณีศึกษา”, การประชุมโครงการทางวิศวกรรมเคมี แห่งประเทศไทยครั้งที่ 3 , กรุงเทพมหานคร 11-12 ตุลาคม (2536)
- [4] วิมลศิริ บริดาสวัสดิ์, ภูริวัฒน์ คงไถ่, วรกร เกิดทรัพย์, “ระบบบำบัดน้ำเสียอัตโนมัติแบบไม่ปั่นล้ออย่างทึบโดยใช้ ระบบรวม SBR และบึงประดิษฐ์”, วิทยานิพนธ์ระดับปริญญาตรี วิศวกรรมศาสตร์บัณฑิต, ภาควิชาวิศวกรรมเคมี คณะวิศวกรรมศาสตร์ มหาวิทยาลัยเทคโนโลยีพระจอมเกล้า ชนบุรี (2539)
- [5] การันย์ ขันเดง, บุญเลิศ ชูเกียรติธรรมรงค์, พงศ์รัตน์ สุทธิธรรม, “ การพัฒนาระบบอัตตราไฟลเตอร์ชั้นสำหรับน้ำ ที่บำบัดแล้วจากการบ่มเอสนีอาร์ ”, วิทยานิพนธ์ระดับปริญญาตรี วิศวกรรมศาสตร์บัณฑิต, ภาควิชาวิศวกรรมเคมี คณะวิศวกรรมศาสตร์ มหาวิทยาลัยเทคโนโลยีพระจอมเกล้า ชนบุรี (2542)
- [6] Montse, R., J. Colomer, J. Colprim and J. Melendez, “Situation assessment in a SBR Wastewater Treatment Process Using Qualitative Trends”, Recent Advances in Artificial Intelligent Research and Development, J. Vitria et.al. (Editors), IOS Press (2004)
- [7] Peng, Y.Z., J.F. Gao., S.Y. Wang and M.H. Sui, “Use of pH as Fuzzy Control Parameter for Nitrification under Different Alkalinity in SBR Process”, Water Sci. Technol., 47 (11), 77-84 (2003)
- [8] Peng, Y.Z., J.F. Gao., S.Y. Wang and M.H. Sui, “Use of pH and ORP as Fuzzy Control Parameters of Dinitrification in SBR Process”, Water Sci. Technol., 46 (4-5), 131-137 (2002)
- [9] Choi, S. K., and Y. J. Yoo, “Removal of Phosphate in a Sequencing Batch Reactor by *Staphylococcus auricuraris*”, Biotechnology Letters, 22 : 1549-1552 (2000)
- [10] ECO EQUIPMENT INC., Commercial Catalog and Document
- [11] Metcalf and Eddy, Inc. , “ Wastewater Engineering: Collection, Treatment, Disposal ”, McGraw-Hill Book Company, New York (1972)
- [13] Sandler H.J. and E.T. Luckiewicz, “Practical Process Engineering: A working Approach to Plant Design”, McGraw -Hill Book Company (1987)

ភាគុណវក

ภาคผนวก ก : ข้อมูลการทดสอบ

ตาราง ก.1 ข้อมูลการวิเคราะห์ที่ียบค่า (Calibration)

(จากการทดสอบจริงในระบบอสานหาร์ตันแบบ)

วัน / เดือน / ปี	MLVSS (mg/l)	SV ₃₀	SVI
21/10/46	2160	250	116
22/10/46	2173	250	115
22/10/46	2080	230	111
23/10/46	2590	250	97
25/10/46	2160	240	111
26/10/46	2333	250	107
27/10/46	2220	250	113
28/10/46	2700	270	100
2810/46	2885	270	94
29/10/46	1734	200	115
29/10/46	2422	250	103
30/10/46	2246	250	111
30/10/46	2415	270	112
31/10/46	3148	290	92
31/10/46	2620	270	103
5/11/46	2980	300	101
5/11/46	3850	350	91
6/11/46	3740	350	94
6/11/46	4140	370	89
10/11/46	2860	300	105
11/11/46	3610	350	97
11/11/46	1373	200	146
12/11/46	2550	250	98
12/11/46	3106	350	113
13/11/46	3584	350	98
13/11/46	3359	350	104

ก.2 การทดลองที่ 2 ผลกระทบของ F/M ratio ต่อการทำงานของระบบ SBR

ตารางที่ ก.2.1 การทดลองที่ 2.1

อัตราไอลของน้ำเสีย	2.5	ลบ.เมตร/cycle
Oxygen requirement	0.57	ลบ.เมตร/นาที
MLVSS	2,080	mg/l

Parameter	Influent	Effluent	% Removal
BOD	343	4.3	98.7
COD	697	34	95.1
SS	77	8	89.6
TKN	74.2	2.45	96.7
Oil&Grease	8.7	0.2	97.7
Phosphorus	4.19	8.53	-
pH	7.22	7.43	-

ตารางที่ ก.2.2 การทดลองที่ 2.2

อัตราไอลของน้ำเสีย	2.5	ลบ.เมตร/cycle
Oxygen requirement	0.57	ลบ.เมตร/นาที
MLVSS	2,160	mg/l

Parameter	Influent	Effluent	% Removal
BOD	851	13	98.5
COD	1283	67	94.8
SS	276	20	92.8
TKN	143.36	3.27	97.7
Oil&Grease	66	2.6	96.1
Phosphorus	8.34	7.76	7
pH	7.11	8.12	-

ตารางที่ ก.2.3 การทดลองที่ 2.3

อัตราไฟลของน้ำเสีย	2.5	ลบ.เมตร/cycle
Oxygen requirement	0.57	ลบ.เมตร/นาที
MLVSS	2,173	mg/l

Parameter	Influent	Effluent	% Removal
BOD	383	6	98.4
COD	566	57	89.9
SS	102	3	97.1
TKN	86.1	2.31	97.3
Oil&Grease	19.3	0.2	99.0
Phosphorus	4.07	9.5	-
pH	7.33	7.93	-

ตารางที่ ก.2.4 การทดลองที่ 2.4

อัตราไฟลของน้ำเสีย	2.5	ลบ.เมตร/cycle
Oxygen requirement	0.57	ลบ.เมตร/นาที
MLVSS	2,590	mg/l

Parameter	Influent	Effluent	% Removal
BOD	423	7.7	98.2
COD	710	40	94.4
SS	62	3	95.2
TKN	100.1	1.75	98.3
Oil&Grease	12	0.2	98.3
Phosphorus	8.38	7.68	-
pH	7.13	7.55	-

ตารางที่ ก.2.5 การทดลองที่ 2.5

อัตราไฟลของน้ำเสีย	5	ลบ.เมตร/cycle
Oxygen requirement	0.57	ลบ.เมตร/นาที
MLVSS	2,160	mg/l

Parameter	Influent	Effluent	% Removal
BOD	360	16	95.6
COD	526	47	91.1
SS	67	40	40.3
TKN	80.5	1.75	97.8
Oil&Grease	11.5	1.75	84.8
Phosphorus	4.19	10.71	-
pH	6.7	7.47	-

ตารางที่ ก.2.6 การทดลองที่ 2.6

อัตราไฟลของน้ำเสีย	5	ลบ.เมตร/cycle
Oxygen requirement	0.57	ลบ.เมตร/นาที
MLVSS	2,220	mg/l

Parameter	Influent	Effluent	% Removal
BOD	495	7.6	98.5
COD	883	72	91.8
SS	109	7	93.6
TKN	103.6	1.47	98.6
Oil&Grease	20	<0.2	99.0
Phosphorus	6.52	6.98	-
pH	6.63	7.35	-

ตารางที่ ก.2.7 การทดลองที่ 2.7

อัตราไฟลของน้ำเสีย	5	ลบ.เมตร/cycle
Oxygen requirement	0.57	ลบ.เมตร/นาที
MLVSS	2,333	mg/l

Parameter	Influent	Effluent	% Removal
BOD	451	5.5	98.8
COD	620	49	92.1
SS	44	1	97.7
TKN	92.4	1.4	98.5
Oil&Grease	16.7	<0.2	98.8
Phosphorus	8.15	7.76	-
pH	6.67	7.28	-

ตารางที่ ก.2.8 การทดลองที่ 2.8

อัตราไฟลของน้ำเสีย	5	ลบ.เมตร/cycle
Oxygen requirement	0.57	ลบ.เมตร/นาที
MLVSS	2,700	mg/l

Parameter	Influent	Effluent	% Removal
BOD	559	5.8	99.0
COD	939	49	94.8
SS	198	5	97.5
TKN	104.3	1.26	98.8
Oil&Grease	36	<0.2	99.4
Phosphorus	6.9	8.22	-
pH	6.71	7.28	-

ตารางที่ ก.2.9 การทดลองที่ 2.9

อัตราไฟลของน้ำเสีย	5	ลบ.เมตร/cycle
Oxygen requirement	0.57	ลบ.เมตร/นาที
MLVSS	2,860	mg/l

Parameter	Influent	Effluent	% Removal
BOD	559	5.9	98.9
COD	1019	37	96.4
SS	238	15	93.7
TKN	117.6	1.4	98.8
Oil&Grease	54.7	0.6	98.9
Phosphorus	10.47	9.7	-
pH	7.01	7.44	-

ตารางที่ ก.2.10 การทดลองที่ 2.10

อัตราไฟลของน้ำเสีย	5	ลบ.เมตร/cycle
Oxygen requirement	0.57	ลบ.เมตร/นาที
MLVSS	2,885	mg/l

Parameter	Influent	Effluent	% Removal
BOD	500	7.8	98.4
COD	1146	36	96.9
SS	198	6	97.0
TKN	103.6	1.75	98.3
Oil&Grease	29	<0.2	99.3
Phosphorus	8.61	8.61	-
pH	6.22	7.26	-

ก.3 การทดลองที่ 3 ผลกระทบของ BOD loading ต่อการทำงานของระบบ SBR

ตารางที่ ก.3.1 การทดลองที่ 3.1

อัตราไฟลของน้ำเสีย	3	ลบ.เมตร/cycle
Oxygen requirement	0.57	ลบ.เมตร/นาที
MLVSS	3,850	mg/l

Parameter	Influent	Effluent	% Removal
BOD	554	6.1	98.9
COD	822	41	95.0
SS	251	5	98.0
TKN	98	1.68	98.3
Oil&Grease	24	0.2	99.2
Phosphorus	9.47	11.04	-
pH	6.44	7.11	-

ตารางที่ ก.3.2 การทดลองที่ 3.2

อัตราไฟลของน้ำเสีย	3	ลบ.เมตร/cycle
Oxygen requirement	0.57	ลบ.เมตร/นาที
MLVSS	2,980	mg/l

Parameter	Influent	Effluent	% Removal
BOD	662	4.1	99.4
COD	1442	30	97.9
SS	134	6	95.5
TKN	92.4	1.74	98.1
Oil&Grease	24	0.2	99.2
Phosphorus	9.93	11.25	-
pH	6.32	7.0	-

หมายเหตุ : ผลในແລງที่ 2 ຂອງตารางที่ 6.4 ເປັນຄ່າເຄີຍຈາກຂໍ້ມູນ 2 ຊຸດຂອງ ตารางที่ ก.3.1 ແລະ ก.3.2

ตารางที่ ก.3.3 การทดลองที่ 3.3

อัตราไฟลของน้ำเสีย	4	ลบ.เมตร/cycle
Oxygen requirement	0.57	ลบ.เมตร/นาที
MLVSS	3,740	mg/l

Parameter	Influent	Effluent	% Removal
BOD	603	3.9	99.4
COD	1,462	34	97.7
SS	296	5	98.3
TKN	112	1.68	98.5
Oil&Grease	78	0.2	99.7
Phosphorus	10.63	10.63	-
pH	6.41	7.08	-

ตารางที่ ก.3.4 การทดลองที่ 3.4

อัตราไฟลของน้ำเสีย	4	ลบ.เมตร/cycle
Oxygen requirement	0.57	ลบ.เมตร/นาที
MLVSS	4,140	mg/l

Parameter	Influent	Effluent	% Removal
BOD	838	3.1	99.6
COD	1746	24	98.6
SS	620	9	98.5
TKN	140	1.68	98.8
Oil&Grease	46.7	0.2	99.6
Phosphorus	11.64	11.02	-
pH	6.42	7.05	-

หมายเหตุ :

- (1) ผลในแถวที่ 3 ของตารางที่ 6.4 เป็นค่าเฉลี่ยจากข้อมูล 2 ชุดของ ตารางที่ ก.3.3 และ ก.3.4
- (2) ผลในแถวที่ 4 ของตารางที่ 6.4 เป็นค่าเฉลี่ยจากข้อมูล 6 ชุดของ ตารางที่ ก.2.5/ ก.2.6/ก.2.7/ก.2.8/ ก.2.5.9และ ก.2.10

ก.4 การทดลองที่ 4 Sequence ของชารในระบบ SBR ต่อการกำจัดในโตรเจน

ตารางที่ ก.4.1 การทดลองที่ 4.1

อัตราไฟลของน้ำเสีย	5	ลบ.เมตร/cycle
Oxygen requirement	0.57	ลบ.เมตร/นาที
MLVSS	3,148	mg/l
Fill/react	0/10.5	

Parameter	Influent	Effluent	% Removal
BOD	485	7.2	98.5
COD	617	39	93.7
SS	98	19	80.6
TKN	114.8	1.68	98.5
Oil&Grease	13	0.2	98.5
Phosphorus	6.59	7.92	-
pH	6.76	7.30	-

ตารางที่ ก.4.2 การทดลองที่ 4.2

อัตราไฟลของน้ำเสีย	5	ลบ.เมตร/cycle
Oxygen requirement	0.57	ลบ.เมตร/นาที
MLVSS	2,620	mg/l
Fill/react	0/10.5	

Parameter	Influent	Effluent	% Removal
BOD	1044	4.8	99.5
COD	2056	28	98.6
SS	478	5	99.0
TKN	169.4	1.4	99.2
Oil&Grease	125.3	0.2	99.8
Phosphorus	10.09	8.61	-
pH	6.64	7.35	-

ตารางที่ ก.4.3 การทดลองที่ 4.3

อัตราไฟลของน้ำเสีย	5	ลบ.มตร/cycle
Oxygen requirement	0.57	ลบ.มตร/นาที
MLVSS	2,422	mg/l
Fill/react	1/9.5	

Parameter	Influent	Effluent	% Removal
BOD	750	4.4	99.4
COD	1704	28	98.4
SS	290	10	96.6
TKN	128.8	1.4	98.9
Oil&Grease	69.3	0.2	99.7
Phosphorus	14.2	9.54	32.8
pH	6.75	7.36	-

ตารางที่ ก.4.4 การทดลองที่ 4.4

อัตราไฟลของน้ำเสีย	5	ลบ.มตร/cycle
Oxygen requirement	0.57	ลบ.มตร/นาที
MLVSS	1,732	mg/l
Fill/react	1/9.5	

Parameter	Influent	Effluent	% Removal
BOD	1044	1.1	99.9
COD	1540	41	97.3
SS	288	5	98.3
TKN	126	1.4	98.9
Oil&Grease	62	0.2	99.7
Phosphorus	9.93	7.21	-
pH	6.43	7.42	-

ตารางที่ ก.4.5 การทดลองที่ 4.5

อัตราไฟลของน้ำเสีย	5	ลบ.เมตร/cycle
Oxygen requirement	0.57	ลบ.เมตร/นาที
MLVSS	2,246	mg/l
Fill/react	1.5/9	

Parameter	Influent	Effluent	% Removal
BOD	500	5.6	98.9
COD	1426	26	98.2
SS	336	8	97.6
TKN	144.2	1.57	98.9
Oil&Grease	65.3	0.3	99.5
Phosphorus	11.02	9.15	17
pH	6.67	7.23	-

ตารางที่ ก.4.6 การทดลองที่ 4.6

อัตราไฟลของน้ำเสีย	5	ลบ.เมตร/cycle
Oxygen requirement	0.57	ลบ.เมตร/นาที
MLVSS	2,415	mg/l
Fill/react	1.5/9	

Parameter	Influent	Effluent	% Removal
BOD	657	5.9	99.1
COD	1630	33	98.0
SS	572	7	98.8
TKN	123.8	1.01	99.2
Oil&Grease	54	0.2	99.6
Phosphorus	11.72	7.76	-
pH	7.25	7.25	-

หมายเหตุ สำหรับการทดลอง Sequence ของจرجในระบบ SBR ต้องการกำจัดในโตรเจนที่ Fill/react 0.5/10 ใช้ชื่อชุมชนของการทดลองที่ 1.1 ถึง 1.6 มาเคลีย

ภาคผนวกที่ ก.5: ผลกระทบของ DO ต่อการทำงานของระบบ SBR

ตารางที่ ก.5.1 การทดลองที่ 5.1

อัตราไฟลของน้ำเสีย	5	ลบ.เมตร/cycle
Oxygen requirement	0.38	ลบ.เมตร/นาที
MLVSS	3,106	mg/l

Parameter	Influent	Effluent	% Removal
BOD	1176	79	93.3
COD	2680	120	95.5
SS	728	54	92.6
TKN	149.8	49	67.3
Oil&Grease	333	8.8	97.4
Phosphorus	8.15	9.85	-
pH	7.06	7.63	-

ตารางที่ ก.5.2 การทดลองที่ 5.2

อัตราไฟลของน้ำเสีย	5	ลบ.เมตร/cycle
Oxygen requirement	0.38	ลบ.เมตร/นาที
MLVSS	2,550	mg/l

Parameter	Influent	Effluent	% Removal
BOD	515	4.9	99.0
COD	864	45	94.8
SS	272	272	84.2
TKN	103.6	37.0	64.3
Oil&Grease	57.3	0.7	98.8
Phosphorus	8.84	10.76	-
pH	7.03	7.57	-

ตารางที่ ก.5.3 การทดลองที่ 5.3

อัตราไฟลของน้ำเสีย	5	ลบ.มตร/cycle
Oxygen requirement	0.43	ลบ.มตร/นาที
MLVSS	3,359	mg/l

Parameter	Influent	Effluent	% Removal
BOD	471	15	96.8
COD	706	72	89.8
SS	103	16	84.5
TKN	66.5	43.68	34.3
Oil&Grease	22	0.2	99.1
Phosphorus	5.35	6.09	-
pH	7.14	7.78	-

ตารางที่ ก.5.4 การทดลองที่ 5.4

อัตราไฟลของน้ำเสีย	5	ลบ.มตร/cycle
Oxygen requirement	0.43	ลบ.มตร/นาที
MLVSS	3,584	mg/l

Parameter	Influent	Effluent	% Removal
BOD	434	15	96.5
COD	712	68	90.4
SS	204	22	89.2
TKN	84	49.11	41.5
Oil&Grease	34	0.2	99.4
Phosphorus	5.82	7.29	-
pH	7.12	7.7	-

ตารางที่ ก.5.5 การทดลองที่ 5.5

อัตราไฟลของน้ำเสีย	5	ลบ.เมตร/cycle
Oxygen requirement	0.48	ลบ.เมตร/นาที
MLVSS	1,373	mg/l

Parameter	Influent	Effluent	% Removal
BOD	912	3.5	99.6
COD	2008	47	97.7
SS	552	5	99.1
TKN	135.8	2.8	97.9
Oil&Grease	155.3	0.7	99.5
Phosphorus	9.7	8.61	11.2
pH	7.03	7.44	-

ตารางที่ ก.5.6: การทดลองที่ 5.6

อัตราไฟลของน้ำเสีย	5	ลบ.เมตร/cycle
Oxygen requirement	0.48	ลบ.เมตร/นาที
MLVSS	3,610	mg/l

Parameter	Influent	Effluent	% Removal
BOD	368	4.4	98.8
COD	725	47	93.5
SS	366	6	98.4
TKN	88.5	1.68	98.1
Oil&Grease	58.7	0.2	99.7
Phosphorus	7.92	7.37	-
pH	7.09	7.57	-

หมายเหตุ สำหรับการทดลอง ผลกระทบของ DO ต่อการทำงานของระบบ SBR ที่ Oxygen requirement 0.57 ลบ.เมตร/นาที ใช้ข้อมูลของการทดลองที่ 1.1 ถึง 1.6 มาเฉลี่ย

ภาคผนวกที่ ก.6: การเติมคลอรีน (สารละลายนโซเดียมไอก์โนคลอไรท์ 5%) ในน้ำทิ้งที่ผ่านการบำบัดจากระบบแอลชีอาร์

ตารางที่ ก.6.1 การทดลองผลของคลอรีนต่อคุณสมบัติของน้ำทิ้งที่ผ่านการบำบัดจากระบบแอลชีอาร์

Parameter	Unit	Effluent ก่อนเติม Cl_2	Effluent หลังเติม Cl_2
BOD	mg/l	11	4.9
COD	mg/l	115	105
Total Bacteria	CFU/ml	140,000	4,000

ตารางที่ ก.6.2 ปริมาณคลอรีนที่คงค้าง (Residue Chlorine) ในน้ำทิ้งที่ผ่านการบำบัดจากระบบแอลชีอาร์

ระยะเวลาเก็บกัก (นาที)	ปริมาณคลอรีนที่วัดได้ (ppm)
0	>3
5	3
10	1.5
15	1.5
20	1
25	1
30	0.5

ภาคผนวกที่ ก.7 : การถ่ายตะกอนจุลินทรีย์ในระบบอสปีาร์ออก (Wasted Sludge)

ตารางที่ ก.7.1 ตารางการถ่ายตะกอนจุลินทรีย์ออก

วัน/เดือน/ปี	ก'อน(mg/l)	หลัง(mg/l)
29/10/46	2,885	1,734
10/11/46	4,140	2,860
11/12/46	3,610	1,373

หมายเหตุ

ปริมาณ MLVSS เริ่มต้นก่อนถ่ายตะกอนออกอาศัยค่า MLVSS ของการทดลองก่อนหน้านี้ และการถ่ายตะกอนแต่ละครั้งพิจารณาจากความหนาแน่นของตะกอนในระบบ SBR และปริมาณจากการพิจารณาในอิมhoff โคน (Imhoff Cone)

ภาคผนวก ข . คู่มือการออกแบบระบบแอลซีอาร์

ข.1 ข้อมูลเบื้องต้นที่ใช้ในการออกแบบ

ประเภทของน้ำเสีย	
อัตราการไหลของน้ำเสียได้	F_{inf} $\text{ม}^3/\text{วัน}$
ค่า BOD _{input}	mg./ลิตร
และสามารถนำบัดน้ำเสียให้ได้คุณภาพน้ำที่ผ่านการบำบัดแล้วตามมาตรฐานน้ำทึ่งกรมโรงงานอุตสาหกรรม โดยเอาค่า BOD (BOD _s) เป็นหลัก	
BOD_{output} จาก SBR	20 mg./ลิตร

ข.3 พารามิเตอร์ที่เลือกในการออกแบบ (แนวคิดจากเอกสารอ้างอิง [3] และ[10])

ข.3.1 พารามิเตอร์ทางชีวภาพ (Biological Parameters)

มีข้อเสนอแนะค่าพารามิเตอร์เพื่อการออกแบบไว้ในตารางที่ 6.2

ตารางที่ 6.2 การเปรียบเทียบค่าพารามิเตอร์ในการออกแบบ (นำมาจากบทที่ 6)

ค่าพารามิเตอร์ ในการออกแบบ SBR	F/M ratio Day ⁻¹	Volumetric Loading Kg BOD _s /m ³ Day	MLVSS mg/L	Retention Time Hr.	BOD Removal Eff. %
ค่าที่ใช้ในโครงการนี้ ตามการออกแบบ	0.2	0.80	4,000	30	98.0%
ค่าที่แนะนำโดย Metcalf&Eddy	0.05-0.30	0.08-0.24	1,500-5,000	12-50	85-95

ข.3.2 พารามิเตอร์ของการดำเนินการระบบแอลซีอาร์ (SBR Operation Parameters)

(โดยที่ช่วงค่างๆของ Cycle ในกราฟคล่องชิงอาจปรับเปลี่ยนให้ต่างไปจากที่

Pre-designed ได้)(เอกสารอ้างอิง [3],[10])

$$\text{Cycle} = 2 - 4 \text{ cycle/วัน}$$

โดยมีระยะ (Phase) ต่างๆต่อ 1 cycle ดังนี้ (อาจปรับได้บ้างตามความเหมาะสม)

- | | |
|--|-------|
| (1) ให้ช่วงเติมน้ำเสีย (Fill) | 5 % |
| (2) ให้ช่วงเติมอากาศ (Aeration) เป็น | 60 %. |
| (3) ให้ช่วงหยุดเติมอากาศเพื่อตกตะกอน (Settling) เป็น | 20 % |
| (4) ให้ช่วงปล่อยน้ำเสียออก (Decanting) เป็น | 15 % |

รวมจำนวน ช.m.ต่อ 1 cycle เป็น-----	ช.m.
ระยะเวลาของการเติมอากาศต่อ 1 วัน เป็น-----	ช.m.

ข.3.3 แผนผังกระบวนการทำงานของระบบເອສນີອາຣ໌

กระบวนการทำงานของระบบເອສນີອາຣ໌เป็นໄປຕາມຮູບທີ 1.1

ข.3.4 การคำนวณ

ข.3.4.1 การคำนวณการใช้อากาศและการกำหนดขนาดเครื่องเติมอากาศ

$$\text{ภาระบรรทุก บีໂອດີ (BOD Loading) สำหรับ SBR} = F_{inf} \times BOD_{input}/1000 \quad \text{กก./วัน}$$

$$\text{ความต้องการออกซิเจนต่อวัน} = (BOD_{input} - BOD_{output}) \times 1.5 \times F_{inf}/1000 \quad \text{กก./วัน}$$

$$\text{ความต้องการออกซิเจนต่อชั่วโมง} = \frac{\text{ความต้องการออกซิเจนต่อวัน}}{\text{เวลารวมของการเติมอากาศต่อวัน}} \quad \text{กก./ชม.}$$

$$= AOR; \text{ Actual oxygen requirement} \quad \text{กก./ชม.}$$

$$AOR/SOR = \alpha(1.024)^{T-20} \{ \beta C_s - C \} / C_{se} \quad (2.17)$$

โดยที่ $SOR = \text{Standard Oxygen Requirement (1 atm, } 20^{\circ}\text{C)}$

$$\alpha = 0.8 \quad \beta = 0.9$$

$$T=30^{\circ}\text{C} \quad C = 2.0 \text{ มก./ลิตร}$$

$$C_s = 7.7 \text{ มก./ลิตร} \quad C_{se} = 9.1 \text{ มก./ลิตร}$$

ดังนั้น $AOR / SOR = 0.8 (1.024)^{30-20} \{ 0.9 \times 7.7 - 2.0 \} / 9.1$

$$AOR / SOR = 0.549$$

$$SOR = AOR / 0.549 \text{ กก./ชม.}$$

ใช้ Safety Factor = 1.25 (Suggested)

$$\text{ดังนั้น SOR as designed} = (AOR / 0.549) \times 1.25 \quad \text{กก./ชม.}$$

การเลือกเครื่องเติมอากาศ :

เลือก Air blower / diffuser

$$\text{ให้ air density at standard condition (1 atm, } 20^{\circ}\text{C)} = 1.20 \text{ กก./m}^3$$

องค์ประกอบของออกซิเจนในอากาศคิดเป็น 21% โดยปริมาตร หรือ 23.32% / โดยน้ำหนักให้ออกซิเจน ที่ถ่ายผ่านเข้าไปในน้ำได้เป็น 10 % โดยปริมาตร

ดังนั้น SCFM ของอากาศที่ต้องการเป็น (SCFM = Standard Cubic Feet Per Minute)

$$\frac{(AOR/ 0.549) \times 1.25 \text{ กก./ชม.} \times 35.31 \text{ ฟุต}^3/\text{ม.}^3 \times 100}{1.2 \text{ กก.อากาศ}/\text{ม.}^3 \times 0.2332 \times 60 \text{ นาที/ชม.} \times 10}$$

ใช้ เครื่องเติมอากาศแบบ Blower ความดันไม่ต่ำกว่า 5 เมตรน้ำ

ข.3.4.2 การคำนวณขนาดของถังเติมอากาศแบบอสบีอาร์

$$F/M = \text{BOD input}/(\theta_c \times MLVSS) \quad (2.18)$$

$$\text{แต่ } \theta_c = V_r / F_{inf} \quad (2.19)$$

$$\text{ดังนั้น } F/M = \text{BOD input}/[(V_r / F_{inf}) \times MLVSS] \quad (2.20)$$

เมื่อ $F/M = \frac{\text{น้ำหนักของ BOD input}}{\text{น้ำหนักของ MLVSS-เวลา}}$

$\theta_c = \text{เวลาที่น้ำทิ้งอยู่ในถังปฏิกรณ์เรียกว่า hydraulic retention time หรือ HRT}$

$V_r = \text{ปริมาตรน้ำในถังปฏิกรณ์}$

ข.3.4.3 การคำนวณขนาดของถังย่อยตะกอน

$$\text{ปริมาณตะกอน(กรัม/วัน)} = \text{yield (BOD}_{input} - \text{BOD}_{output}) \times F_{inf} \quad (2.21)$$

$$\text{ปริมาตรของถังย่อยตะกอน (ม}^3\text{)} = \text{ปริมาณตะกอน (กรัม/วัน)} * (1000/ 10000) * \text{HRT (วัน)} \quad (2.22)$$

(กำหนดให้ Wasted sludge concentration = 10,000 mg/L)

ภาคผนวก ค. ตัวอย่างในการขยายขนาด (Scale – up) ระบบแอลซีอาร์

เพื่อให้เกิดประสิทธิภาพต่ออุตสาหกรรม จึงได้ทำการขนาดระบบไปสู่ขนาดที่สามารถรองรับน้ำเสียได้ 100 ลบม./วัน ที่ BOD ขาเข้า 1,000 มก./ลิตร และคิดค่าต้นทุนของระบบ รวมทั้ง Capital cost และค่าดำเนินการ ต่อหน่วยน้ำเสียที่บำบัด ดังรายการสรุปดังนี้

ค.1 ข้อมูลที่ใช้ในการออกแบบ

กำหนดให้ระบบรับอัตราการไหลได้ $100 \text{ m}^3/\text{day}$

$\text{BOD}_{\text{input}}$	1,000	มก./ลิตร
$\text{BOD}_{\text{output}}$	20	มก./ลิตร

ค.2 พารามิเตอร์ที่เลือกในการออกแบบ

F/M	=	0.2
MLVSS		4,000 มก./ลิตร
Cycle		2 cycle/วัน

ค.3 ระบบ SBR operation sequences

ให้ช่วงเติมน้ำเสีย (Fill) พร้อมเติมอากาศเป็น	1	ชม.
ให้ช่วงเติมอากาศ (Aeration)	9.5	ชม.
ให้ช่วงหยุดเติมอากาศเพื่อตกตะกอน (Settling) เป็น	1.0	ชม.
ปล่อยน้ำเสียออก (Decanting) เป็น	0.5	ชม.
รวมจำนวน ชม. ต่อ 1 cycle เป็น	12	ชม.
ระยะเวลาของการเติมอากาศต่อ 1 วัน เป็น	21	ชม.

$$\text{BOD loading สำหรับ SBR} = (1,000 \times 100) / 1,000 = 100 \text{ กก./วัน}$$

$$\text{ความต้องการออกซิเจน} = (1,000 - 20) \times 1.5 \times 100 / 1,000 = 147 \text{ กก./วัน}$$

$$\text{ความต้องการออกซิเจน/ชม.} = 147 / 21 = 7 \text{ กก./วัน}$$

$$\text{AOR ; Actual oxygen requirement} = 7 \text{ กก./วัน}$$

$$\text{AOR/SOR} = \alpha(1.024)^{\frac{T-20}{10}} \{ \beta C_s - C \} / C_{sc} \quad (2.17)$$

$$\text{โดยที่ } \alpha = 0.8 \quad \beta = 0.9$$

$$T = 30^\circ\text{C} \quad C = 2.0 \text{ มก./ลิตร}$$

$$C_s = 7.7 \text{ มก./ลิตร} \quad C_{sc} = 9.1 \text{ มก./ลิตร}$$

$$\text{ดังนั้น } 7 / \text{SOR} = 0.8 (1.024)^{30-20} \{0.9 \times 7.7 - 2.0\} / 9.1$$

$$7 / \text{SOR} = 0.549$$

$$\text{SOR} = 12.741 \text{ กก./ชม.}$$

$$\text{ใช้ Safety Factor} = 1.25$$

$$\text{ดังนั้น SOR as designed} = 12.741 \times 1.25 = 15.926 \text{ กก./ชม.}$$

การเลือกเครื่องเติมอากาศ : เลือก Air blower / diffuser

$$\text{ใช้ air density at standard condition (1 atm, 20 }^{\circ}\text{C) } = 1.20 \text{ กก./m}^3$$

องค์ประกอบของออกซิเจนในอากาศคิดเป็น 21% โดยปริมาตร หรือ 23.32 % โดยน้ำหนัก

ให้ออกซิเจน ที่ถ่ายผ่านเข้าไปในน้ำ ได้เป็น 10 % โดยปริมาตร

ดังนั้น SCFM ของอากาศที่ต้องการเป็น

$$\frac{15.926 \text{ กก./ชม.} \times 35.31 \text{ ฟุต}^3 \text{ ม.}^3 \times 100}{1.2 \text{ กก. อากาศ/m}^3 \times 0.2332 \times 60 \text{ นาที/ชม.} \times 10} \\ = 335 \text{ SCFM ของอากาศ}$$

ใช้ Blower 350 SCFM ความดันไม่ต่ำกว่า 5 เมตร น้ำ

ค.5 การคำนวณขนาดของถัง SBR

$$\text{ใช้ F/M} = 0.2$$

$$\text{MLVSS} = 4,000 \text{ มก./ลิตร}$$

$$\text{F/M} = \text{BOD input} / (\Theta_c \times \text{MLVSS})$$

$$0.2 = 1,000 / (V_r / 100) \times 4,000$$

$$V = 125 \text{ m}^3$$

$$\Theta_c, \text{HRT} = 125 / 100 = 1.25 \text{ วัน}$$

$$\text{ใช้ ขนาด กxยxส} = 6 \times 12 \times 3.25 \text{ m}^3 (\text{Free Board 0.75 m})$$

$$\Theta_c, \text{HRT Actual} = 1.80 \text{ วัน}$$

ค.6 ถังย่อยตะกอน

ปริมาณตะกอน MLVSS ที่เกิดขึ้นต่อวัน

$$\text{ใช้ yield} = 0.3$$

$$\text{ปริมาณตะกอน} = 0.3 (\text{BOD}_{in} - \text{BOD}_{out}) \times F_{inf} \quad (2.21)$$

	=	0.3 (1,000-20) 100 กรัม/วัน
	=	29.4 กก./วัน
ให้ตะกอนมีค่า MLVSS	=	10,000 มก./ลิตร เข้าสู่ถังย่อยสลายตะกอนแบบไร์อากาศ
ใช้ HRT 20 วัน		
ปริมาตรของถังย่อยตะกอน (m^3)	=	ปริมาณตะกอน (กรัม/วัน) * (1000/ 10000) * HRT (วัน) (2.22)
	=	(29,400x1,000/10,000) x20 = 58.8 m^3
ปริมาตรของถังย่อยสลายตะกอน	=	60 m^3
ใช้ขนาด กxยxส	=	6x6x3.25 m^3 (Free Broad 0.75 m)
HRT Actual	=	30 วัน

ค.7 ถังพักน้ำใส

เนื่องจาก SBR ดำเนินการเป็น 2 cycle
จึงให้ถังพักน้ำใสที่ออกจาก SBR เป็น 50 ลบม.

ผลที่ได้จากการ Scale up และในตารางที่ ค.1

ตารางที่ ค.1 ผลของการขยายขนาดไปสู่ SBR สำหรับบำบัดน้ำเสีย 100 ลบม./วัน BOD ขาเข้า 1,000 mg./ลบม.

รายการ

รายการ	ขนาด (nominal)	วัสดุ	จำนวน	ราคา (บาท)
1. Stabilization Tank T1	80 m ³	Steel 8mm	1	300,000
2. SBR tank T2	180 m ³	Steel 8mm	1	440,000
3. Sludge Digester tank T3	80 m ³	Steel 8mm	1	300,000
4. Effluent Check tank T4	80 m ³	Steel 8mm	1	300,000
5. Foundation (concrete)	200 m ²	Concrete	1	800,000
6. Piping and valve (10%ของ 1+2+3+4)	Various	PVC/Steel	1	214,000
7. Diffusor	12"	Polymer	100	120,000
8. Decanter	Diam. 1m	SS304	1	150,000
3 buoy 0.8 * 0.5 m				
9. Pump (Feed to Stabilization tank)	100 m ³ /hr at 5mH		None (by gravity)	na
10. SBR Feed Pump	100 m ³ /hr at 15mH	Multistage Centrifugal	1/1stand by	100,000
11. Electrical & Control system		Out door type	1 set	200,000
12. Air Blower	350 scfm at 5mH		1/1stand by	500,000
13. Air Compressor	1Hp		1	20,000
14. Dosing pump (Chlorine)	20L/hr at 6mH	Diaphragm	1	35,000
Subtotal (Construction + Equipment)				3,479,000
Misc 5%				173,950
Subtotal Standard O/H and Profit 20%(contractor)				3,652,950 730,590
Total System Capital(revised 1/11/2009)				4,383,540

หมายเหตุ อัจฉริ์กเคลือบด้วยสี Epoxy 2 ชั้น
ต้นทุนค่าดำเนินการของระบบ (Operating cost ไม่รวมค่าเสื่อมราคา)

(1) ค่าไฟฟ้า

1.1 Air Blower 15 KW *0.5* 9.0 hr * 2 cycle	=	135	KW-hr/day
(0.5 = actual power consumption factor)			
1.2 Feed to Stabilizer Tank 2.2 KW* 10 hr*1 day	=	22	KW-hr/day
1.3 Feed to SBR Pump 4.4 KW* 2 hr * 2 cycle	=	17.6	KW-hr/day
1.4 Other minor Power at 5%	=	8.73	KW-hr/day
Total Electrical Power		188.33	KW-hr/day
ค่าไฟฟ้า 188.33 หน่วย * 2.6 บาท		476.66	บาท/วัน
(2) ค่าแรงผู้ควบคุมระบบ ระดับ 350 บาท/วัน 1 คน	=	350	บาท/วัน
(3) ค่าสารเคมี 8 ลิตร โซเดียมไฮโปคลอไรต์ 10 % ต่อวัน * 14 บาท	=	112	บาท/วัน
	=	9.39	บาท/m ³

ค.3 การเปรียบเทียบต้นทุนในการก่อสร้างและค่าดำเนินการ ระหว่างระบบ SBR กับระบบอื่นในลักษณะเดียวกัน

ในที่นี้ถือเปรียบเทียบระบบ SBR กับระบบเติมอากาศแบบตะกอนเร่ง (Activated Sludge) โดยแสดงการเปรียบเทียบไว้ในตารางที่ ข.2

ตารางที่ ค.2 การเปรียบเทียบต้นทุนในการก่อสร้างและค่าดำเนินการระหว่างระบบ SBR กับระบบ Activated sludge

รายการ	การเปรียบเทียบ AS กับ SBR
1. ขนาดถังปฏิกรณ์	เท่ากัน
2. ขนาด Air Blower	เท่ากัน
3. จำนวน Air diffuser	เท่ากัน
4. ขนาดถังตะกอน	AS ต้องมีถังตะกอนขนาดที่ SBR ไม่ต้องมี ดังนั้นเมื่อพิจารณาจากตารางที่ ข1 จะประมาณการอย่างคร่าวๆ ได้ว่า AS จะต้องเพิ่มถังตะกอน ที่มีขนาดประมาณถังปฏิกรณ์ ต้องเพิ่มโครงสร้างพื้นฐาน (พื้นที่ Foot print เพิ่มประมาณ 25%) และรวมอุปกรณ์ประกอบถังตะกอน ทั้งหมดจะเพิ่มค่าก่อสร้างอีกประมาณ 25%
5. เครื่องสูบเวียนตะกอน กลับ	AS จำเป็นต้องมี ขนาดที่ SBR ไม่ต้องมี
6. ขนาดถังปรับเสถียร	เท่ากัน
7. การใช้ไฟฟ้า	AS ต้องดำเนินการแบบต่อเนื่องจึงใช้ไฟฟ้าตลอดเวลาขนาดที่ SBR ดำเนินการเป็น batch ทำให้ใช้ไฟฟ้าเพียงช่วงการเติมอากาศและสามารถปรับปรุงช่วงเวลาการเติมอากาศให้สอดคล้องกับช่วงการใช้ไฟฟ้าของโรงงานอุตสาหกรรมทำให้สามารถประหยัดไฟฟ้าให้กับโรงงานได้
8. การใช้พื้นที่	AS จะเปลืองเนื้อที่มากกว่าไม่ต่ำกว่า 25% เนื่องจากจำเป็นต้องมีถังตะกอนเพิ่มเติม
9. การรองรับปริมาณน้ำเสีย	ถ้าโรงงานขนาดเล็กและขนาดกลางระบบ SBR จะมีประสิทธิภาพดีกว่าทึ่งในเรื่องความเสถียรของระบบและการดำเนินการแต่ถ้าโรงงานขนาดใหญ่หรือโรงงานที่มีน้ำเสียบริโภคจำนวนมาก AS จะเหมาะสมกว่าเนื่องจากเป็นการดำเนินการแบบต่อเนื่องจากประสบการณ์ในทางปฏิบัติขนาด SBR ที่ใหญ่ที่สุดที่เหมาะสมไม่ควรรับน้ำเสียเกิน 1,000 ลบม./วัน มิฉะนั้นจะต้องเพิ่มระบบขนาดเข้าไป

หมายเหตุ : กรุณาศึกษารายงานในบทสรุปประกอบ

ภาคผนวก จ. ตารางตรวจสอบรายการ(Check Lists)

ตารางที่ จ. 1 ตารางตรวจสอบรายการ(Check Lists) สำหรับการออคแบบ และการประเมินราคาระบบซอฟต์แวร์

รายการ	ขนาด	วัสดุ	ราคา
บ่อรับน้ำเสียขาเข้า			
บ่อพักน้ำเสียก่อนป้อนเข้า			
ถังปฏิกรณ์ SBR			
ถังย่อยตัวกอน			
ถังพกน้ำใส่ก่อนทิ้ง			
ระบบโครงสร้างฐานราก			
ปั๊มน้ำเสีย Submersible			
ปั๊มน้ำเสีย Multi – stage			
ปั๊มเติมคลอรีนน้ำ			
เครื่องเติมอากาศ (Air Blower)			
เครื่องอัดอากาศ (Air Compressor)			
Air Diffuser			
Decanter			
Decanter			
Air Lift Pump			
Static Mixer			
PLC (Programmable Logical Controller)			
Piping and Fitting			
Control Valves			
Level Switches			
Flow Switches			
Control Cubicle out door type			